

Қазақстан республикасының
табиғи ресурстар және коршаған
ортаны корғау Министрлігі

Республикалық мемлекеттік
"Қазгидромет" кәсіпорны

Министерство природных
ресурсов и охраны окружающей
среды Республики Казахстан

Республиканское
государственное предприятие
"Казгидромет"

ГИДРОМЕТЕОРОЛОГИЯ ЖӘНЕ ЭКОЛОГИЯ

Әр тоқсанда шығарылатын
Ғылыми-техникалық журнал

№ 2

ГИДРОМЕТЕОРОЛОГИЯ И ЭКОЛОГИЯ

Ежеквартальный
научно-технический журнал

АЛМАТЫ
2002



РЕДАКЦИОННЫЙ СОВЕТ

Кудеков Т.К., канд. геол.-мин. наук (председатель); Медеу А.Р., доктор геогр. наук (зам. председателя); Ахмеджанов Т.К., доктор техн. наук; Ахметов А.С., доктор техн. наук; Бейсенова А. С., чл.-корр. НАН РК, доктор геогр. наук; Бишимбаев В.К., доктор техн. наук; Болдырев В.М., доктор геогр. наук; Госсен Э.Ф., академик НАН РК, доктор с.-х. наук; Турмагамбетов М.А., канд. техн. наук; Чередниченко В.С., доктор геогр. наук; Чигаркин А. В., доктор геогр. наук.

РЕДКОЛЛЕГИЯ

Бурлибаев М.Ж., канд. геогр. наук (председатель); Кожахметов П.Ж., канд. техн. наук (зам. председателя); Семенов О.Е., канд. физ.-мат. наук (зам. председателя); Ивкина Н.И., канд. геогр. наук (ответственный секретарь); Бельгибаев М.Е., доктор геогр. наук; Степанов Б. С., доктор геогр. наук; Акбасова А.Д., доктор техн. наук; Турсунов А.А., доктор техн. наук; Достай Ж.Д., доктор геогр. наук; Амиргалиев Н.А., доктор геогр. наук; Уманец В.Н., доктор техн. наук; Подольный О.В., доктор геол.-мин. наук; Садыков Д.Ш., доктор геол.-мин. наук; Муртазин Е.З., канд. геол.-мин. наук; Галаева О.С., компьютерная сборка

ГИДРОМЕТЕОРОЛОГИЯ И ЭКОЛОГИЯ

№ 2



Журнал издается с 1995 года.

Регистрационное свидетельство № 1538

Министерства печати РК.

Подписной индекс 75855.

Адрес редакции:

480072, Алматы,

пр. Сейфуллина, д. 597, к. 508

54-22-63

Телефон:

E-mail:

general@kniiimsk.almaty.kz

Подписано в печать

Формат бумаги 70 × 100/16. Печать офсетная. Бумага офсетная.

Объем 14,75 п.л. Тираж 500 экз. Заказ

Цена договорная.

Отпечатано в ЗАО ПА «KAZGOR»

480091, г. Алматы, пр. Абылай хана, 81

СОДЕРЖАНИЕ

НАУЧНЫЕ СТАТЬИ

О.Г. Абраменко, Н.И. Ивкина	
Система наблюдений и прогнозирования суворой погоды на территории Казахстана.	7
А. Айдосов, К.С. Тургамбаева	
Моделирование распространения вредных выбросов в пограничном слое атмосферы нефтегазоконденсатодобы- вающих регионов.	21
Р.К. Бекбаев	
Динамика роста и урожайности яровой пшеницы при из- менении степени засоления почв.	34
В.В. Голубцов, В.И. Ли	
Горноледниковый бассейн: моделирование гидрографа речного стока.	39
Ж.Ж. Карамолдоев, А.Н. Мандычев	
Зависимость минимального речного стока рек Северного Тянь-Шаня от геолого-тектонических условий и его эко- логические аспекты.	46
А.К. Кеншимов, М.Ж. Бурлибаев, Ж.Д. Достай	
Использование водных ресурсов бассейна Аральского моря для орошения земель: прошлое и настоящее.	53
А.Е. Мадина	
Проблема трансграничных рек в казахстанско-китайских отношениях.	79
Ж.Ж. Карамолдоев	
Гидронимы и классификация рек Кыргыстана.	84
Р.К. Яфязова	
Объем конуса выноса как показатель селевой активности. . .	90
Б.С. Степанов, Р.К. Яфязова	
К формированию рельефа Северного склона Заилийского Алатау.	100

А.М. Шукпотов, М.С. Даамбеков, Е.Т. Оразов	
Моделирование устойчивого развития экосистемы При- каспийского региона.	114
Г.Д. Садыкова	
Содержание хлорорганических пестицидов в водах реки Или.	121
Ж.М. Жаппарова, Г.Д. Садыкова	
Распределение неподвижных форм кадмия и свинца в почвогрунтах города Алматы.	129
Н.К. Шуленбаева, С.В. Чекалин,	
О.Е. Лебедева, А.Г. Сармурзина	
Зонирование территории г. Алматы по накоплению ме- таллов в растениях.	138
М.С. Даамбеков, А. М. Шукпотов, Е.Т. Оразов	
Экологические ограничения воздействия на окружаю- щую среду при освоении нефтегазовых месторождений на шельфе Каспийского моря.	147
С.С. Омаров, А.Н. Нысангалиев,	
З.М. Тулемисова, К.Б. Кошанова,	
Т.К. Ахмеджанов, А.Ш. Бейсенбинова	
Основы экологического мониторинга некоторых отрас- лей производства.	154
Х.О. Баубеков, М.Е. Бельгибаев	
Некоторые экологические проблемы Мангистауской об- ласти.	166
С.М. Койбаков, Т.Т. Утегалиев	
Борьба с затоплением прибрежной территории от нагон- ной волны.	173

CONTENTS

SCIENTIFIC ARTICLES

O. G. Abramenko, N.I. Ivkina	
Monitoring and Forecasting System of the Severe Weather for Kazakhstan's Territory.	7
A. Aidosov, K.S. Turgambayeva	
Modelling of Harmful Emission's Distribution in the Boundary Atmospheric Layer of Petroleum and Gas Condensate Producing Regions.	21
R.K. Bekbayev	
Dynamics of Height and Productivity Spring Wheat at Change of a Salinity Level.	34
V. V. Golubtsov, V.I. Lee	
Mountain Glacier Basin: Modelling of a Stream Flow Hydro- graph.	39
ZH.ZH. Karamoldoyev, A.N. Mandychev	
Minimum of the Northern Tian-Shan rivers dependence from Geological and Tectonic Conditions and Its Ecological As- pects.	46
A.K. Kenshimov, M.Zh. Burlibayev, ZH.D. Dostai	
Utilization of the Aral Sea Basin Water Resources for Irriga- tion: the past and present.	53
A.E. Madina	
International Rivers Issue in Relations between Kazakhstan and China.	79
ZH.ZH. Karamoldoyev	
Hydronyms and Classification of the Kirghizstan's Rivers. .	84
R.K. Yafyazova	
Talus Volume as an Indicator of Mudflow Activity.	90
B.S. Stepanov, R.K. Yafyazova	
To History of the Northern Slope of the Zailiysky Alatau Landscape.	100

A.M. Shukputov, M.S. Duambekov, E.T. Orazov	
Modelling of the Sustainable Development of the Caspian Region Ecosystem.	114
G.D. Sadykova	
Content of Chlororganic Pesticides in Water of the Ily River.	121
ZH.M. Zhapparova, G.D. Sadykova	
Distribution of Nonmoving Forms of Lead and Cadmium in the Almaty City Soils.	129
N.K. Shulenbayeva, S.V. Chekalin, O.E. Lebedeva, A.G. Sarmurzina	
Almaty Terrain Zoning by Metal's Concentration in the Plants.	138
M.S. Duambekov, A.M. Shukputov, E.T. Orazov	
Ecological Constraints of Influence on an Environment during Development of Oil and Gas Deposits on the Caspian Sea Shelf.	147
S.S. Omarov, A.N. Nysangaliyev, Z.M. Tulemisova, K.B. Koshanova, T.K. Ahmedzhanov, A.SH. Bejsenbinova	
Ecological Monitoring Backbones of Some Trades.	154
KH.O. Baubekov, M.E. Bel'gibayev	
Some Environmental Problems of the Mangistay's Region.	166
S.M. Kojbakov, T.T. Utegaliyev	
Flooding Coastal Territory Control from Storm Surge's Wave.	173

УДК 551.506.2·551.506.51(574)

СИСТЕМА НАБЛЮДЕНИЙ И ПРОГНОЗИРОВАНИЯ СУРОВОЙ ПОГОДЫ НА ТЕРРИТОРИИ КАЗАХСТАНА

О.Г. Абраменко

Канд. геогр. наук

Н.И. Иванкина

В статье рассмотрены вопросы, связанные с прогнозированием и предупреждением опасных явлений, являющихся следствием сурой погоды. Описаны наиболее распространенные из них и приведены примеры их специальных последствий.

Одной из наиболее важных и ответственных задач, возложенных на Гидрометслужбу Казахстана, является прогноз сурой погоды. Особенno это относится к таким опасным явлениям как сильные ветры, шквалы, пыльные бури, заморозки, обледенения, засухи и наводнения, снежные лавины и сели. Они оказывают неблагоприятное влияние на производственную и хозяйственную деятельность общества инередко приводят к человеческим жертвам. По оценкам экспертов ООН на них приходится 70 % ущерба, наносимого экономике различных стран [2]. В Казахстане, благодаря его огромной территории (2,7 млн. км²), климатические условия подвержены значительным колебаниям, и ущерб от стихийных бедствий может достигать 80-85 %. Поэтому, знания о стихиях представляют для нас особый интерес, поскольку помогают выработать эффективную стратегию по разумному сочетанию прогнозических сведений о сурой погоде и мер по предотвращению ее последствий. В настоящее время в Казахстане разработан ряд руководящих документов по наблюдениям за опасными и стихийными гидрометеорологическими явлениями и их предупреждением. Установлены критерии сурой погоды, при достижении которых посыпается титровое оловешение о начавшемся явлении.

Критерии сурой погоды и стихийные явления на территории Казахстана

На территории Казахстана отмечается 23 вида опасных гидрометеорологических явлений. Гидрометеорологические явления относятся к ряду стихийных, если они по своей интенсивности, району (акватории)

распространения и продолжительности достигают критерия, приведенных в табл. 1.

Таблица 1

Критерии суворой погоды для стихийных явлений

Название явления	Критерий суворой погоды
Сильный ветер	Максимальная скорость ветра 30 м/с и более
Сильный дождь	Количество осадков 50 мм и более в течение 12 часов и менее, а в горных, селопасных районах - 30 мм и более за 12 часов и менее
Сильный ливень	Количество осадков 30 мм и более за период 1 час и менее
Продолжительный сильный ливень	Количество осадков 100 мм и более за период более 12 часов, но менее 48 часов
Крупный град	Диаметр градин 20 мм и более
Сильные снегопады	Количество осадков 20 мм и более за 12 часов и менее
Сильные метели	Продолжительность 12 часов и более, при скорости ветра 15 м/с и более и видимости 500 метров и менее
Сильный гололед	Диаметр отложений на проводах стандартного подстанционного стакана 20 мм и более
Сильное гололедо-но и изморозевое отложение на проводах	Диаметр отложений на проводах гололедного стакана 20 мм и более для гололеда, 35 мм и более для сложного отложения или макрого снега, 50 мм и более для зернистой или кристаллической изморози
Сильные пыльные (песчаные) бури	Продолжительность 12 часов и более, при скорости ветра 15 м/с и более и видимости 500 метров и менее
Сильные туманы	Видимость 50 м и менее в течение 12 часов и более
Заморозки	В вегетационный период понижение температуры воздуха (на поверхности почвы) ниже 0 °С, причинившее или способное причинить ущерб овощным и плодовым культурам

Назначение явления	Критерий сурговой погоды
Сухой	Сохранение в течение 5 дней среднесуточной температуры воздуха более 24 °С при ветре более 5 м/с и относительной влажности воздуха менее 30% в период цветения, налива и созревания зерна
Засуха	Сохранение в течение 20 дней и более относительной влажности воздуха днем 30 % и менее при запасах влаги 35 мм и менее в метровом слое почвы, вызывающее повреждение растений
Сильная жара	45 °С и выше в Кызыл-Ординской и Южно-Казахстанской областях; 43 °С и выше в Жамбылской и Мангистауской областях; 39 °С и выше на оставшей территории республики
Сильный мороз	Минус 25 °С и ниже в Мангистауской области; Минус 30 °С и ниже в Южно-Казахстанской, Жамбылской и Алматинской областях; Минус 35 °С и ниже в Кызыл-Ординской и Атырауской областях; Минус 40 °С и ниже в Западно-Казахстанской, Актюбинской, Карагандинской и Костанайской областях;
Чрезвычайная по-жарная опасность	Минус 45 °С и ниже на оставшей территории республики Сохранение в течение 10 дней и более показателя пожарной опасности более 10000 (по формуле В. Г. Нестерова)
Высокие уровни воды	При половодьях, дождевых паводках, затоплениях, захоронах, ветровых нагонах, при которых возможно затопление пониженных частей городов, населенных пунктов, поселков сельскохозяйственных культур, автомобильных дорог или повреждение крупных промышленных и транспортных объектов

Название явления	Критерий суровой погоды
Низкие уровни воды	Ниже проектных отметок подливорных сооружений крупных городов, промышленных районов и оросительных систем, навигационных уровней на судоходных реках, которые ожидаются в течение суток и более, либо наблюдавшиеся
Раннее образование льда	Появление льда на судоходных реках, озерах и водохранилищах, повторяющееся не чаще чем 1 раз в 10 лет
Сель	Плаводой на горных реках, вызванный сильными осадками, угрожающий населенным пунктам и хозяйственным объектам
Лавина	Сход снежных лавин, угрожающий населенным пунктам и хозяйственным объектам
Ветровой нагон	При прохождении сильного ветра на казахстанском побережье Каспийского моря

Большинство критериев суровой погоды одинаково для всех районов Казахстана, однако, существует и отличие Т.к., например, величина критерия сильного мороза и сильной жары различна. Это объясняется большой протяженностью территории республики с юга на север - более 1000 км и с запада на восток - более 1000 км, и как следствие большой вариацией температуры воздуха от минус 18-20 °С на севере и северо-востоке до минус 2-3 °С на юге и юго-западе в январе и от 20 °С на севере до 27 °С на юге в июле. Огромная протяженность и чрезвычайное разнообразие поверхности Казахстана (от низкогорных равнинных участков до высокогорных районов) существенно влияет на формирование климата и стихийных явлений.

Ниже приведен анализ наиболее распространенных стихийной суровой погоды на примере 2000-2001 гг. В его основу положены сведения о стихийных явлениях, которые были собраны в подразделениях РГП «Казгидромет». Всего на территории Казахстана в этот период было отмечено 121 стихийное явление. Их распределение по экономическим районам республики приведено в табл. 2. В соответствии с этой таблицей, 97% рассматриваемых явлений относится к метеорологическим, из них около 40% связано с засушливостью климата, главным образом с установ-

занимает пожароопасная ситуация в южных регионах республики в летний период. Около 20% явлений (дождевые паводки, весенние половодья, сели, ливни, супро-наводнения явления) связаны с гидрологическими процессами. Около 17% - агрометеорологические явления. Как видно из рис. 1, их распределение по месяцам также неоднородное. Наиболее часто стихийные явления фиксируются в теплый сезон, когда в Казахстане устанавливаются умеренно засушливый и сухолейно-засушливый типы погоды, повторяемость и гидротермическое напряжение которых возрастает с севера на юг. Неустойчивое увлажнение в сочетании с местным климатом благоприятствует значительному обострению на территории Казахстана засушливых явлений. Интенсивные и продолжительные засухи редко снижают урожайность культурной и дикорастущей растительности, значительно усиливают ветровую эрозию и создают предпосылки к частым вспышкам лесных пожаров. Количество вспышек атмосферной засухи независимо от их продолжительности распределяется по Казахстану неравномерно. Чаще всего они отмечаются между 48-52° с. ш. – в среднем 11-13 вспышек за теплое полугодие года.

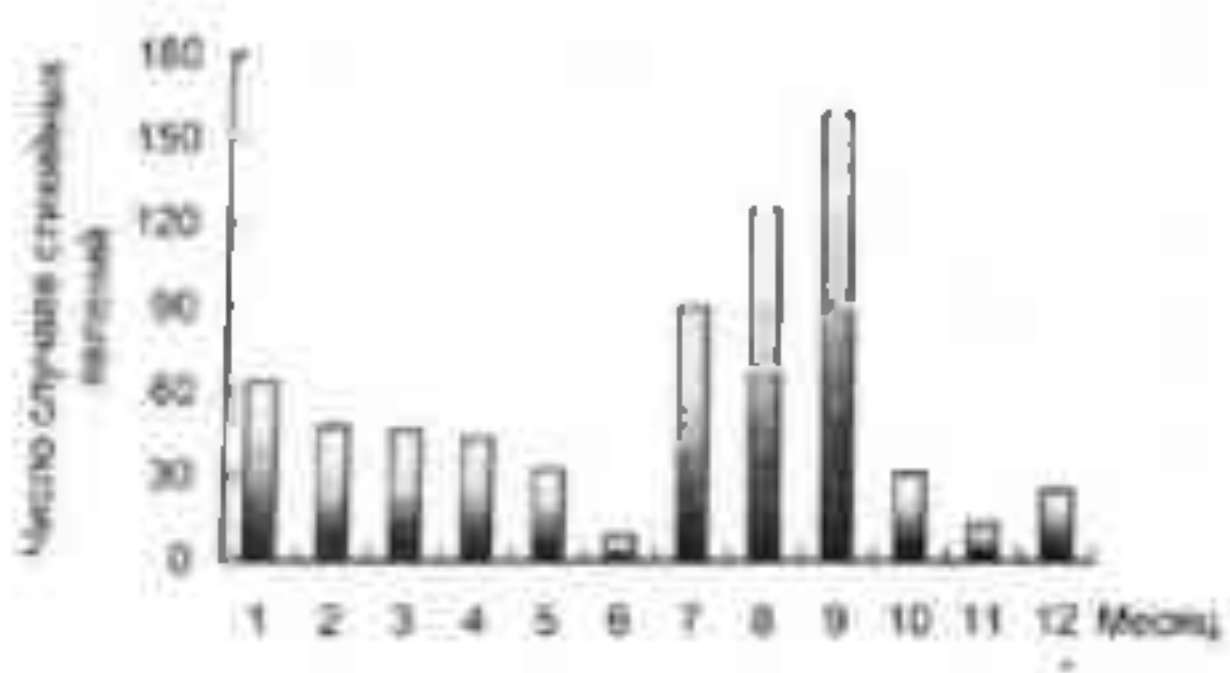


Рис. 1. Распределение числа случаев стихийных явлений по месяцам на территории Казахстана за 2000-2001 гг.

По Казахстану в основном преобладают вспышки засух продолжительностью 3-5 дней подряд (60-70 %). Более продолжительные засухи отмечаются редко (менее 1%), причем преимущественно в центральной зоне Казахстана, и значительно реже в равнинной части юга республики [5].

2

פְּנֵי צָהָל כִּי תַּחֲזִקְנָא בְּעֵמֶת הַמִּזְרָחָה

В Казахстане резко выражена континентальность климата, которая отражается во всем комплексе метеорологических элементов. Повсеместно отмечается сильные ветры, вытаскивающие снежные и пыльные бури, ветровую эрозию и неравномерное застывание стеклового покрова. Проведем анализ временной изменчивости числа стихийных явлений, обусловленных ветром, и их географическое распределение по всем экономическим районам Казахстана на примере 2000-2001 гг. За этот период на территории Казахстана фиксируются 75 случаев, когда скорость ветра достигала опасных значений. Однако, их вероятность для различных районов неподнакова. Самыми неспокойными районами Казахстана являются Алматинская и Восточно-Казахстанская области. На них долю приходится 37% и 27% случаев (рис. 2).

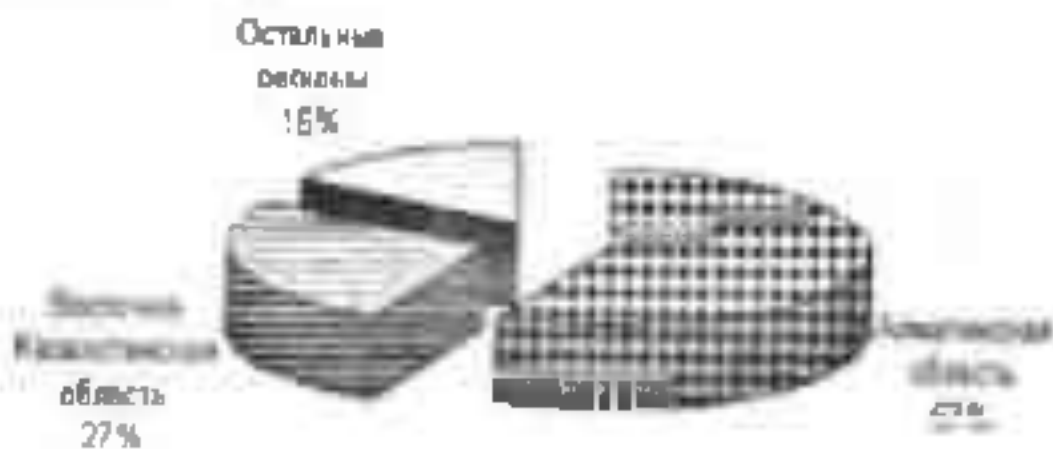


Рис. 2. Распределение случаев разрушительной силы ветра по экономическим районам Казахстана за период с 2000-2001 гг.

Реже всего они наблюдаются на юге и юго-востоке Казахстана. На этом фоне редко выделяется восточное побережье Каспийского моря, где повторяемость сильных ветров является наибольшей. Неслучайно, что отдельной графой в табл. 1 выделен ветровой кагон на казахстанском побережье Каспийского моря. Для шельфа неприливного Каспийского моря основным видом колебаний уровня воды являются стоячие наплывные волны, при которых за короткий период (несколько часов) уровень может изменяться на 1,5...2,5 м. Эти явления наносят серьезный ущерб хозяйственной деятельности в прибрежной зоне. Особенно опасными и влекущими значительные материальные потери являются налоги в отдаленных районах моря с низменным побережьем, на котором они вызывают наводнения. Наводнения относятся к числу самых частых стихийных бедствий, в точке зрения нанесенного экономического ущерба обходятся наиболее дорого. Эти условия и процессы весьма характерны для Северного Каспия, имеющего огромную привлекательность морскими (около 70 % занятой

зм) и крайне малое превышение отметки паводка на глубинах, практических в море суша на современным уровне. Именно поэтому берег отличается наиболее сильными изменениями в гидрологических и экологических процессах. Статистические расчеты показывают, что в среднем, в месяц отъема воды в реках и озерах Каспийского моря (июль-август), поэтому 85% времени года береговая зона временно мигрирует (рис. 3).

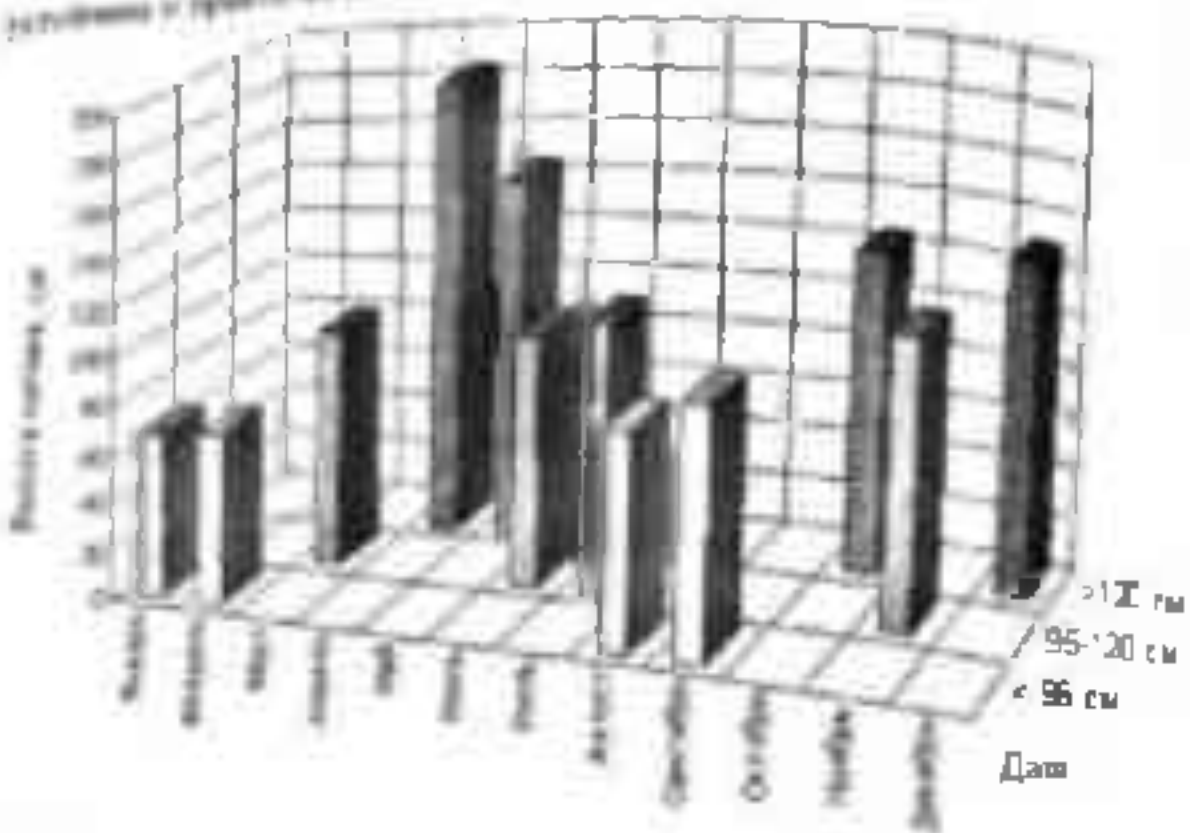


Рис. 3 Статистика шлаковых низин на северо-восточном побережье Каспийского моря по данным М.Пенной за 1961-2001 гг.

Даже при средних ветровых условиях радиус этой миграции составляет 3...5 км, в экстремальных - при сгоне величина осушки может достигать 10-12 км, в результате затопления сухи в отдельных районах побережья - до 25...50 км. Повышение уровня воды при наводнениях для районов южного побережья представляет иногда катастрофическое бедствие [1-4].

Широко распространенное природное явление в Казахстане - песчаные бури, так как четверти территории республики занимают песчаные пустыни. Бури являются мощным источником поступления пыли в атмосферу, они приводят в движение громадные массы песка. Наступают на освоенные сельскохозяйственные земли, мешают работе порта и предприятий, влияют на изменение климата и опасны для здоровья человека являются те бури,

в которых содержат в своем составе двуокись кремния (SiO_2), частицы солей, соединений тяжелых металлов или щелочноземельных. К сожалению, в составе атмосферных потоков над Казахстаном этих мелких частиц достаточно большое количество. Площади, одновременно охватываемые пыльными бурями, определяются масштабами атмосферных процессов и могут быть крайне разнообразны: от небольших районов в несколько сотен квадратных километров до обширных регионов в несколько сот тысяч и даже миллиардов квадратных километров [8]. Очаги с повышенной повторяемостью, где наблюдается 20 и более суток с пыльными бурами в году, находятся в районах с большими скоростями ветра и почвами с легким механическим составом, интенсивно используемыми в сельском хозяйстве или промышленном производстве, или в районах пустынь с редким растительным покровом. Значительные по площади очаги опасных и подобно опасных пыльных бурь занимают большую часть Западно-Казахстанской и Атырауской областей, часть Актюбинской области, Костанайской и Карагандинской областей; северную половину правобережья Иртыш Павлодарской области. Наиболее характерные месяцы – апрель-июнь, август-сентябрь, реже октябрь [1].

Термический режим Казахстана в основном определяется радиационными факторами, которые редко меняются в силу большой широтной протяженности и физико-географической неподобранности. Для юга республики характерны ежегодные повышения суточных температур до 40°C и выше, причем они бывают стабильными и держатся по 4-5 дней и более. Параллельно с высокими температурами летом, зимой отмечаются жестокие морозы. Это связано с процессами интенсивного развития сибирского антициклона, а также с местным приграфическим антициклонизмом.

На территории Казахстана отмечается высокий уровень селевой активности. В республике насчитывается свыше 300 активных селевых бассейнов. Наиболее распространены сели линейного и дамбового генезиса – 70%. Они формируются в результате выпадения интенсивных и продолжительных осадков в высокогорной зоне в жидком виде на фоне высокой температуры воздуха. Селевые явления характерны для горных районов юга и юго-востока Казахстана. Выделяется несколько самостоятельных, селеопасных горных систем: Катмакстанский Алтай, Саур-Чарбагатай, Джунгарский Алатау и ряд хребтов, представляющих крайние северные дуги Тянь-Шаня. В общей сложности около 70% горных районов республики принадлежат к категориям средней и высокой селеактивности [7, 9].

Примеры гацаания экономических последствий опасных гидрометеорологических явлений

Илияние сырой погоды проявляется в том, что экономика и общество несут значительные потери, в частную тормозится их устойчивое развитие. Весь опасные гидрометеорологические явления не только приносят и значительны физиогенные потерям, но и к человеческим жертвам. Так в декабре 1995 г. в результате сильных метелей на севере, востоке и в центре республики погибли 113 человек, было парализовано движение автомобильного и железнодорожного транспорта, происходило отключение электротехники, прерывались работы в карьерах, ущерб составил около 2 млн долларов США.

Разрушительными оказались ураганные ветры в южных областях республики в феврале 1988 г. Их продолжительность составляла от 32 до 89 часов. Были повалены деревья, споры линий электропередач, сорваны крыши многих домов. Из-за большого волнения на Бугунинском водохранилище произошел разрыв дамбы и плотины. Катастрофические последствия оставил ураганный ветер на востоке и юго-востоке республики в апреле 1998 года. В общей сложности пострадало 19 районов. Ущерб составил более 2,6 млн долларов США. Кроме того, этот ураган принес человеческие жертвы. На из Зайсан погибли 3 человека.

В мае 1990 года был зафиксирован катастрофический циклон на казахстанском побережье Каспийского моря, вынуждив затопление больших площадей и нанесший существенный материальный ущерб экономике Казахстана. В районе метеорологической станции Пешной высота нагонной волны достигла 1,45 м, а в районе поселка Прорка - 2,4 м. Ущерб от стихийного бедствия, причиненного нагонными водами, только одному месторождению Терен-Узек НГДУ "Кульсарынефть" составил 1,3 млн. долларов США. Была разрушена защитная дамба, дороги пришла в негодность ценнное оборудование. По оценкам экспертов, своевременный прогноз этого нагона позволил бы уменьшить ущерб на 50 %.

Сильные дожди в весенне период 1997 и 1998 гг. явились причиной возникновения селевых выбросов, оползней в горных районах и высокого половодья на равнине. Ущерб в 1,8 млн долларов США - такой результат прохождения селевого потока в мае 1997 г. в Мангистауской области. Были разрушены железнодорожное полотно, автомобильный мост, водонапорная башня, пострадали жилые постройки и государственные сооружения. В мае 1998 г. сошедшим оползнем в Южно-Казахстанской

области было разрушено 1122 строения, погибло 2 человека, ущерб составил более 700 тыс. долларов США.

Сильный град с дождем и ураганным ветром в июле 1997 г. в г. Уральске и его окрестностях привел к полному уничтожению посевов сельскохозяйственных культур, был прибит шифер на крышах домов и выбиты оконные стекла, повалены деревья и обгоревшие линии электропередач.

Приведенные отдельные примеры подтверждают, что опасные гидрометеорологические явления оказывают существенное влияние на экономику республики. Возникает необходимость экономической защиты и поднятие проблемы учета этих явлений на государственный уровень, тем самым ориентируя деятельность Казгидромета на снижение и минимизацию экономических потерь.

Система наблюдения и прогнозирования сырой погоды в Казахстане

Для исследования и предсказания явлений сырой погоды необходима надежная система наблюдений. Климатические данные за продолжительные периоды позволяют оценить масштабы и частоту экстремальных явлений и качественно выразить потенциальную опасность каждого из них.

Система получения данных состоит из двух подсистем – наземной и космической. В настоящее время метеорологические наблюдения в Казахстане ведутся на 244 метеорологических и 8 аэрологических станциях, на которых запускаются зонды, гидрологические – на 162 гидрологических постах. Однако, количество станций в Казахстане из-за финансовых трудностей не соответствует требованиям ВМО.

Метеорологические станции и посты служат для систематического получения информации о состоянии природной среды с заданной полнотой, точностью и разрешением во времени и пространстве. Они ведут наблюдения температурой и влажностью, давлением воздуха, скоростью и направлением ветра, видимостью, облачностью, атмосферными осадками, температурой поверхности почвы, снежным покровом, грозами, туманами, метелями. В Казахстане функционируют также авиационные метеорологические станции, предназначенные для метеорологического обеспечения полетов воздушных судов по внутренним и международным авиалиниям и воздушным трассам.

Сбор и хранение метеорологической информации производится в Республиканском фонде данных по гидрометеорологии и загрязнению

наблюдений проводится анализ и природной среды. На основе наблюдений составляются прогнозы погоды. Особенность деятельности специалистов - синоптический. Они включают в себя атмосферные процессы, происходящие на синоптических картах, зоне областей падения и роста давления, тальных разделов, что включает районы с осадками, грозами. Проводится анализ температуры, радиационного баланса территории Казахстана и течения температуры. Результаты изображаются аэрологическими диаграммами, снимков облачных явлений, полученных с помощью барических и температурного полей. Атмосфера барическая и температурного поля с таблицами распределения будущего состояния барического поля с таблицами на 24 часа. При составлении прогнозов на 7 суток и месяц используется метод анализа. Одновременно применяется ряд расчетных методов прогноза метеорологических величин [6, 10-11].

Система предупреждения о возникновении стихийного явления

Одной из наиболее ответственных задач является прогноз опасных и стихийных явлений погоды. При угрозе возникновения стихийных явлений специалисты составляют специальные сводки, которые передаются в средства массовой информации. Предупреждения (примитивы) о возможном возникновении стихийного явления составляются по районам ответственности на основании детального анализа диагностических и прогностических карт и всей имеющейся информации в соответствии с действующими наставлениями по составлению метеорологических и гидрологических прогнозов. В сводках указывается время начала явления и его интенсивность, а при необходимости - его продолжительность и возможность распространения на другие районы. Эти информации в обязательном порядке доводятся до руководства Гидрометслужбы, органов государственного управления и заинтересованных организаций хозяйственного комплекса Республики Казахстан.

После прохождения стихийного явления специалисты выступают с объяснениями и комментариями о характеристиках явления, его влиянии на производственную деятельность предприятий и организаций, нанесенном ущербе и принятых мерах по снижению ущерба.

Борьба с стихийными бедствиями невозможна. Но хотя влияние природных стихийных бедствий нельзя избежать, воздействие большинства из них можно смягчить, а некоторые чрезвычайные явления уменьшить. Рядко подтверждать условия по подготовке и начинать по смягчению его зоны бедствия, чтобы опасное явление не превратилось в бедствие.

СПИСОК ЛИТЕРАТУРЫ

1. Актуальные проблемы гидрометеорологии озера Балхаш и Прибалхашья / Под ред. Н.Н. Скоцеласа. СПб Гидрометеонадат. - 1995. - С. 100.
2. Бедрицкий А.И., Коршунов А.А., Шейнварданов М.З. Опасные гидрометеорологические явления и их влияние на экономику России. Обнинск. - 2001. - 36 с.
3. Ивкина Н.И. Влияние стихийно-чрезвычайных явлений на процессы загрязнения окружающей среды Прикаспийского региона // Гидрометеорология и экология. - 2000. - № 2. - С. 156-162.
4. Ивкина Н.И. Природоохранная стратегия в зонах воздействия наводненных вод Каспия // Материалы Международной научно-практической конференции «Проблемы гидрометеорологии и экологии». 2001 г.. Алматы. С. 286-289.
5. Климат Казахстана. Л.: Гидрометеонадат. - 1999. - 167 с.
6. Кудеков Т.К. Рубеж дефицита средств мы прошли / «Экспресс К», 26 января 2002 г. - 6 с.
7. Медсугов А., Колотилин Н.Ф., Керемкулов В.А. Сели Казахстана. Алматы. Изд-во «Гылым». - 1991. - 160 с.
8. Семенов О.Е. Особенности строения приземного слоя атмосферы при песчаных бурах // Материалы Международной научно-практической конференции «Проблемы гидрометеорологии и экологии». 2001 г.. Алматы. С. 59-63.
9. Степанов Б.С., Хайдаров А.Х., Яфетова Р.К. Механизмы, приводящие к формированию селей дождевого генезиса в высокогорной южне Зилийского Алатау // Гидрометеорология и экология. - 2001. - №1-2. - С. 74 - 81.
10. Шамен А.М. Гидрометеорология и мониторинг природной среды. - Алматы Изд-во «Гылым». - 1996. - 296 с.
11. Шамен А.М. Управление и экономическая эффективность гидрометеобезопасности Казахстана. - Алматы Изд-во «Гылым». - 1997. - 467 с.

Республиканское государственное предприятие «Казгидромет»

**ҚАЗАҚСТАН АУМАҒЫШДА ЖАЙСЫҢ АУА-РАЙЫН БАҚЫЛАУ
ЖӘНЕ БОЛЖАУ ЖҮЙЕСІ**

О.Г. Абраменко

Н.И. Ивкина

Географ гылымында

Макомда аударылған салдарының болын табасарын
күбілды тарады болжап, алдын даумен байла
жекеңдер көраспіры мен Олардың ішіндегі ең кең тара
суреттегі жаңы тарабын анықтаудың мүмкінлігін
салдарларының мұсалдоры көліпіріген

УДК 551.511

МОДЕЛИРОВАНИЕ РАСПРОСТРАНЕНИЯ ВЫБРОШЕННЫХ ВОЗДУШНЫХ ПЫЛЕВЫХ АЭРОСОЛЕЙ И ПОДРАЗДИЛЕННОСТЬ АТМОСФЕРЫ НФФТН АТОМКОМПЛЕКСА ОДИБЫВАЮЩИХ РЕГИОНОВ

Канд. физ.-мат. наук А. Айдосов

К. С. Турагамбетова

В работе описаны процессы определяющие первоначальное распространение вещества в атмосфере и дальнее распространение загрязняющих веществ в атмосфере. Выделены математические модели и принципы их построения и применения различных методов. Рассчитаны примеры для распространения различных веществ.

Принципы определения первоначального вещества в атмосфере.

Изучение и моделирование распространения радиоактивных веществ требует знания трех метеорологических показателей, обуславливающих передвижение вещества в атмосферу: высоты пыльной шторы, температуры и различных фаз воды. Наиболее существенным является высота ветра (скорость и направление), формирующая адvectionный перенос загрязняющих веществ. Адvectionный перенос определяет расстояние, на которое переносится загрязняющее вещество и к зоне распространения, время пребывания этого вещества в атмосфере и уровень концентрации в отдельных районах. Горизонтальная диффузия в среднем и на больших высотах и ее детальным описанием можно пренебречь, параметризовать через постоянный в пространстве и времени коэффициент горизонтальной диффузии.

Распределение температуры в основном соответствует и высоту и степень перемешивания выброшенных веществ. В настоящее время большинство исследователей определяют верхнюю границу слоя перемешивания (высоту пограничного слоя атмосферы) по наличию задерживающих слоев инверсии (или инверсий). Однако известно, что загрязняющие вещества могут проникать через инверсионные слои, и поэтому высоту слоя перемешивания следует либо определить по затуханию турбулентных потоков, либо подавать так, чтобы загрязняющие

вещества чистою не проникали за расчетную область. Измерения вертикальных профилей различных загрязняющих веществ показывают, что большинство из них сосредоточено в нижнем двухкилометровом слое атмосферы. В этой связи в модели в качестве верхней границы была выбрана высота 5 км. на которой наблюдалось значительных выброшенных извергными или концентраций загрязняющих веществ, выброшенных извергными или приподнятыми источниками.

Степень перемешивания, которая зависит от устойчивости атмосферы, параметризовалась через введенную переменную по высоте профиля коэффициента турбулентности турбулентной диффузии. Вертикальный коэффициент турбулентности вычислялся до алгоритма, подробно изложенному в работе [1]. Весь рассматриваемый слой атмосферы (до 5 км) был разделен на две области, приземной подслои и зону перенесения. В приземном подслое (100 м) коэффициент турбулентности оценивался по методу ламинарного источника с помощью установки (ЛИОУ) с выделением двух режимов турбулентности устойчивой и неустойчивой стратификации, которая определялась по безразмерной высоте:

$$\epsilon = \left(\frac{\chi}{\lambda} \right)^2 \frac{1}{T} \left(\left(\frac{\partial T}{\partial z} \right) + r_s \right), \quad (1)$$

где χ - постоянная Кармана, равная 0,4; λ - скорость динамического трения; r_s - влажнодиабатический градиент температуры.

Выше приземного слоя, коэффициент турбулентности вычислялся по методу Блокаадара. Его величина складывается из двух слагаемых: турбулентности на верхней границе приземного слоя $K_t(h)$ и турбулентности K_e , определяемой стратификацией выше приземного слоя в зависимости от степени конвективной неустойчивости:

$$K_t(z) = K_t(h) \exp \left(- \beta \frac{z-h}{H} \right) + K_e; \quad (2)$$

$$K_e = \begin{cases} K_0 \left(1 + \theta \left(- \frac{\partial \theta}{\partial z} \frac{\partial \theta}{\partial z} \right) \right)^{1/2}, & \text{если } \frac{\partial \theta}{\partial z} < 0, \\ K_0, & \text{если } \frac{\partial \theta}{\partial z} \geq 0 \end{cases}$$

где h - высота приземного подслоя; θ - потенциальная температура; K_0, ν_0 - фоновые значения коэффициентов диффузии и вязкости, равные

соответственно 0,3 и 0,63; α , β - эмпирические константы, равные соответственно 0,3 и 1,0.

При описании процессов аддективного переноса и турбулентного рассеяния выброса в атмосфере необходимо учитывать, что выбрасываемая газоаэрозольная смесь имеет определенную скорость, связанную как с ее начальной кинетической энергией, так и с действующими на нее силами притяжения, обусловленными разностью температур смеси и окружающего воздуха. Таким образом, в реальных условиях существует как бы эффективная высота трубы, которая больше ее реальной высоты на Δh . Известны различные подходы к определению Δh , в модели выбрано соотношение рекомендованное Глянной геофизической обсерваторией (Россия) [2]:

$$\Delta h = 1,5 \cdot R / U_{\infty} / [2,5 + 3,3 \cdot R \cdot \Delta T / (T U_{\infty}^2)], \quad (3)$$

где U_{∞} - скорость и перетек газоаэрозольного выброса; T - скорость ветра и температура окружающего воздуха, R - радиус устья трубы.

Для полного описания распространения газоаэрозольного выброса в атмосфере, необходимо учесть процессы вымывания, связного выведения, радиоактивного распада и трансформации химических и физических состояний радионуклидов. Для учета всех этих процессов вводят поправки в виде экспоненциальных множителей с соответствующими постулами λ_i ($i = 1,5$), которые выбираются эмпирически для каждого процесса и зависят от конкретных химических составов выброса и погодных условий.

Математическая формулировка модели

Распространение загрязняющих веществ в атмосфере описывается трехмерным уравнением сохранения массы:

$$\frac{\partial q}{\partial t} + \frac{\partial (uq)}{\partial x} + \frac{\partial (vq)}{\partial y} + \frac{\partial (wq)}{\partial z} = -K_x \left(\frac{\partial^2 q}{\partial x^2} + \frac{\partial^2 q}{\partial y^2} \right) - K_z \left(\frac{\partial^2 q}{\partial z^2} \right) + IS, \quad (4)$$

где q - объемная концентрация примеси; u , v , w - компоненты скорости ветра, переменные в пространстве и времени, K_x , K_z - скорость гравитационного оседания; K_x , K_z - коэффициенты горизонтальной и вертикальной диффузии, IS - сила источников (мгновенных или непрерывных) выбросов, являющиеся функцией пространства и времени

Перпендикулярные компоненты скорости ветра u , v , w входят в уравнения модели и определялись из объективного уравнения неразрывности:

$$\frac{\partial u}{\partial x} + \frac{\partial v}{\partial y} + \frac{\partial w}{\partial z} = 0 \quad (5)$$

Скорость гравитационного оседания описывалась законом Гейнсона и для частиц с радиусом $r \leq 10$ мкм определялась:

$$v_s = 1,26 \cdot 10^{-4} \rho r^2, \quad (6)$$

где ρ - плотность загрязняющих веществ; r - радиус частиц.

Уравнение (4) решалось при следующих начальных и граничных условиях:

$$q(x, y, z, 0) = q_0(x, y, z),$$

где $q_0(x, y, z)$ - фоновое значение объемной концентрации примеси первых суток расчета

$$q(x, y, z, 0) = q_0(x, y, z), \quad (7)$$

где $q_0(x, y, z)$ - объемная концентрация примеси, сформировавшаяся за предшествующие сутки.

На верхней границе области ($H = 5$ км) задается нулевая концентрация

$$q(x, y, z, H) = 0, \quad (8)$$

На нижней границе (подстилающая поверхность) задаются условие полного поглощения на предшествующем шаге во времени и рассчитываются полный (турбулентный и аддективный) поток примеси на подстилающую поверхность на расчетном шаге по времени

$$q(x, y, 0, t - \Delta t) = 0, \quad (9)$$

$$\frac{\partial q(x, y, 0, t)}{\partial z} = \frac{\partial}{\partial z} \left(K_z \frac{\partial q}{\partial z} \right) - (w + v_s) \frac{\partial q}{\partial z}$$

Также рассматривается постановка граничных условий третьего рода

$$K_z \frac{\partial q}{\partial z} - \beta q = 0, \quad (10)$$

где β - эмпирическая константа, определяющая поглощение примеси подстилающей поверхностью.

Условие (10) предпочтительнее ставить для течения примеси с большей скоростью гравитационного оседания, для этого предпочтительное условие (11). Кроме того, это учитывает турбулентный подъем примеси, что позволяет вычислить концентрацию поверхность как поле вторичных потоков и различать внутренний перенос загрязнителя.

При задании граничных условий на боковых границах обычно пользуются условиями типа Липшица (линейные функции), или условиями типа Неймана (такие граничные функции назначаются в гранях), или касающимся соображения граничек.

$$\frac{\partial q}{\partial t} + c_s h \frac{\partial q}{\partial t} = 0, \quad (12)$$

Последнее условие является наиболее физическим, но пока на основе строгого определения фазовой скорости ($c_s h$) было решено заменить ее реальной скоростью, причем для лучшего согласования значений функции на границе и внутри расчетной области в разы оператора, нормального к границе, добавлялись операторы с касательными компонентами скорости. Таким образом, боковые граничные условия имели следующий вид:

в области втекания $q = 0$,

$$\text{в области вытекания} \quad \frac{\partial q}{\partial t} = - \frac{\partial w q}{\partial x} - \frac{\partial v q}{\partial y} - \frac{\partial (w + v, h q)}{\partial z}, \quad (13)$$

Постановка боковых граничных условий и их численно-разностная аппроксимация подробно исследованы в работе [1] и сделан вывод, что граничные условия в области вытекания позволяют полностью избежать отражения на границе расчетной области.

Влияние рельефа на распространение загрязняющих веществ в атмосфере.

Распространение примеси в условиях сложного рельефа, и над равной поверхностью будут существенно различаться из-за деформации потока препятствиями. При наличии рельефа система (4) - (13) должна решаться в области с криволинейной границей. Конкретная форма области, при условии жесткой горизонтальной стенки на высоте H будет определяться функцией, описывающей форму рельефа $Z_1(x, y)$. Чтобы

избежать т. остатей, связанных с численным интегрированием в криволинейной области, было перенесено к новым координатам, в которых расчетная область становится прямолинейной. Было выбрано преобразование, описанное в работе [1], удовлетворяющее следующим условиям преобразование обратимо, идентично при $Z_0 = 0$ и $Z_0 = H$. Имеет непрерывные вторые производные; сохраняет ошибку оксиации того же порядка, что и в декартовой системе координат что достигается близостью к 1 его определителя.

Преобразование имеет вид

$$X = X, \quad Y = Y, \quad \bar{Z} = H(Z - Z_0) / (H - Z_0). \quad (14)$$

Уравнение неравнотности в новых координатах имеет вид

$$\frac{\partial^2}{\partial \bar{Z}^2} (\bar{G} u_i) = 0, \quad (15)$$

где u_i ($i = 1, 2, 3$) - новые компоненты скорости ветра; $G = \frac{H-Z}{H-Z_0}$ - коэффициент преобразования.

Новые компоненты скорости определяются матрицей перехода:

$$\begin{pmatrix} u \\ v \\ w \end{pmatrix} = \begin{pmatrix} 1 & 0 & 0 \\ 0 & 1 & 0 \\ \frac{\partial Z_0}{\partial X} A & \frac{\partial Z_0}{\partial Y} A & \frac{1}{A} \end{pmatrix} \begin{pmatrix} u \\ v \\ w \end{pmatrix}, \quad (16)$$

где $A = (Z - H) / (H - Z_0)$.

Трехмерное уравнение сохранения массы в новой системе координат имеет вид

$$\begin{aligned} \frac{\partial}{\partial t} + \frac{\partial u}{\partial X} + \frac{\partial v}{\partial Y} + \left(u + v \right) \frac{\partial}{\partial Z} \left(\frac{\partial u}{\partial X} + \frac{\partial v}{\partial Y} \right) + \frac{1}{A^2} \left(K_x \frac{\partial^2 u}{\partial X^2} + K_y \frac{\partial^2 v}{\partial Y^2} \right) + \\ + K_z \left(\frac{\partial^2 u}{\partial X^2} + \frac{\partial^2 v}{\partial Y^2} \right) + K_z \frac{\partial w}{\partial Z} \left[\left(\frac{\partial^2 u}{\partial X^2} + \frac{\partial^2 v}{\partial Y^2} \right) + \frac{2w}{GM} \left(\left(\frac{u}{\partial X} \right)^2 + \left(\frac{v}{\partial Y} \right)^2 \right) \right] + \\ + K_z \frac{\partial}{\partial Z} \left(\frac{\partial^2 u}{\partial X^2} + \frac{\partial^2 v}{\partial Y^2} \right) + K_z \frac{\partial^2 w}{\partial Z^2} \left(\left(\frac{u}{\partial X} \right)^2 + \left(\frac{v}{\partial Y} \right)^2 \right) + L_S \end{aligned} \quad (17)$$

Границные и начальные условия для решения этого уравнения выбираются такие же, как и для модели над однородной поверхностью.

В модели рассчитываются конвективные движения, вызванные неравномерностью нагрева подстилающей поверхности (температура водоема-охладителя) и неравномерностью температуры в приемном слое (источник тепла над водоемом-охладителем):

$$w_{\text{conv}} = \left[\alpha |z|_e (T_s - \bar{T}_s) / T_s \right]^{1/2}; \quad T_s > \bar{T}_s; \quad \frac{\partial T_s}{\partial z} > \gamma_M;$$

$$w_{\text{conv}} = 0, \quad T_s \leq \bar{T}_s; \quad \frac{\partial T_s}{\partial z} \leq \gamma_M. \quad (18)$$

где α - эмпирическая константа, T_s - виртуальная температура; \bar{T}_s - средняя по толщине виртуальная температура; γ_M - адиабатический градиент температуры, ΔZ - толщина слоя.

Таким образом, вертикальные движения, участвующие в рассеяние газо-воздушных выбросов складываются из крупномасштабных вертикальных движений, рассчитываемых по уравнению неравномерности с учетом орографии и конвективных вертикальных движений:

$$w = w_{\text{conv}} + w_{\text{con}}. \quad (19)$$

Численная реализация модели

В предлагаемой модели для численного решения системы уравнений (4) - (13), был выбран конечно-разностный метод, хорошо зарекомендовавший себя во многих численных моделях переноса примеси. Дифференциальные уравнения, описывающие исходную задачу, аппроксимировались конечно-разностной схемой:

$$\prod \left(E - \frac{\partial}{\partial t} L_S \right) \varphi^{n+1} + \varphi^n = \sum S_i \Delta t_i (\varphi_i)^n + \Delta S^{n+1}. \quad (20)$$

где $L_S(\varphi_i) = \frac{\partial^2 \varphi_i}{\partial x_i^2} + \frac{\partial^2}{\partial x_i^2} \left(K_i \frac{\partial \varphi_i}{\partial x_i} \right)$, $S = 1, 2, 3$, S_i - численные

уравнения, описывающие источники; Δt_i - шаг по времени.

Схема (20) является двухслойной разностной схемой с расщепляющимся оператором, имеет второй порядок точности по времени и является абсолютно устойчивой.

При реализации разностной схемы (20) решение находилось не для самой функции ϕ на $d+1$ шаге, а для ее превращения за шаг по времени $\phi_{d+1} = \phi_d - \theta\phi_{d-1}$. Этот метод реализации позволил избавиться от аппроксимации смешанных производных. Реализация схемы по каждому пространственному направлению осуществлялась методом прогонки.

Основной трудностью, с которой сталкивается при формулировке разностной задачи, является аппроксимация аддективных операторов уравнения переноса. Сложность заключается в том, что при решении уравнения для положительно определенных функций конечно-разностные схемы должны удовлетворять следующим основным требованиям:

1) обладать малой счетной вязкостью, то есть иметь порядок аппроксимации по времени и пространству не ниже второго;

2) быть монотонной;

3) быть консервативной, то есть удовлетворять уравнению сохранения массы в заданном объеме;

4) иметь малую фазовую ошибку, то есть переносить максимальные значения функции и ее градиенты с заданной скоростью.

В этой связи в работе [1] был проведен анализ известных в литературе и наиболее часто используемых в гидродинамических моделях конечно-разностных схем для численного решения уравнения адvectionии.

В этой же работе приведен способ построения гибридной саморегулирующейся схемы, основанной на схемах направленных и центральных разностей, отличающей перечисленным требованиям. Гибридный оператор $L(\phi_i)$, аппроксимирующий аддективную часть дифференциального пространственного оператора имеет вид:

$$L(\phi_i) = \alpha_{i+1}\phi_{i+1} - \frac{1}{2}[\alpha_{i+1}|\Delta_{i+1}|^2\theta_{i+1} - \alpha_{i-1}\phi_{i-1}] + \frac{1}{2}[\alpha_i|\Delta_i|^2\theta_i], \quad (21)$$

$$\alpha_{i+1} = \left(\frac{\Delta_i}{\Delta_{i+1}} \right) \left(\psi_{i+1} \right)_S; \quad S = 1, 2, 3;$$

$$\psi_{i+1} = \frac{1}{2}(\phi_{i+1} + \phi_{i-1}); \quad \Delta_{i+1} = \phi_{i+1} - \phi_{i-1}; \quad \theta_{i+1} = \left[\frac{\Delta_{i+1}\phi_i}{|\phi_{i+1}| + |\phi_i|} \right]^2$$

Этот гибридный оператор аппроксимирует дифференциальный оператор со вторым порядком точности, сохраняя при этом локальную монотонность и на не гладких участках решения (при $\theta \rightarrow 1$) сводится к

схеме направленных, а на гладких (при $\theta \rightarrow 0$) - в схеме центральных разностей.

Диффузионная часть дифференциального оператора $\tilde{L}(\phi)$ аппроксимировалась со вторым порядком точности по трехточечной схеме:

$$\tilde{L}(\phi) = \frac{\Delta t}{\Delta x^2} K_1 (\phi_{i+1} - 2\phi_i + \phi_{i-1}), \quad (22)$$

В случае введения неравномерного шага и переменного по вертикали коэффициента вертикальной диффузии дифференциальный оператор $L(\phi)$ аппроксимировался модифицированными операторами:

$$L_t(\phi_i) = L'(\phi_i) + \tilde{L}(\phi_i),$$

$$L'(\phi_i) = \alpha_{i-1/2} (z_1 \phi_{i+1} + z_2 \phi_i) - \frac{1}{2} z_1 [\alpha_{i-1/2} (\phi_{i+1} \theta_{i+1/2} -$$

$$- \alpha_{i-1/2} (\phi_i + z_2 \phi_{i-1}) - \frac{1}{2} z_2 |\alpha_{i-1/2}| \Delta_{-1/2} \phi_i \theta_{i-1/2}]$$

$$\tilde{L}(\phi_i) = \frac{\Delta t}{\Delta H_1 + \Delta H_2} \left(\frac{K_{i+1}}{\Delta H_1} \phi_{i+1} - \left(\frac{K_{i+1}}{\Delta H_1} + \frac{K_{i-1}}{\Delta H_2} \right) \phi_i + \frac{K_{i-1}}{\Delta H_2} \phi_{i-1} \right)$$

$$z_1 = \frac{\Delta H_2}{\Delta H_1}; \quad z_2 = \frac{\Delta H_1}{\Delta H_2}; \quad \Delta H_1 = H_{i+1} - H_i; \quad \Delta H_2 = H_i - H_{i-1}$$

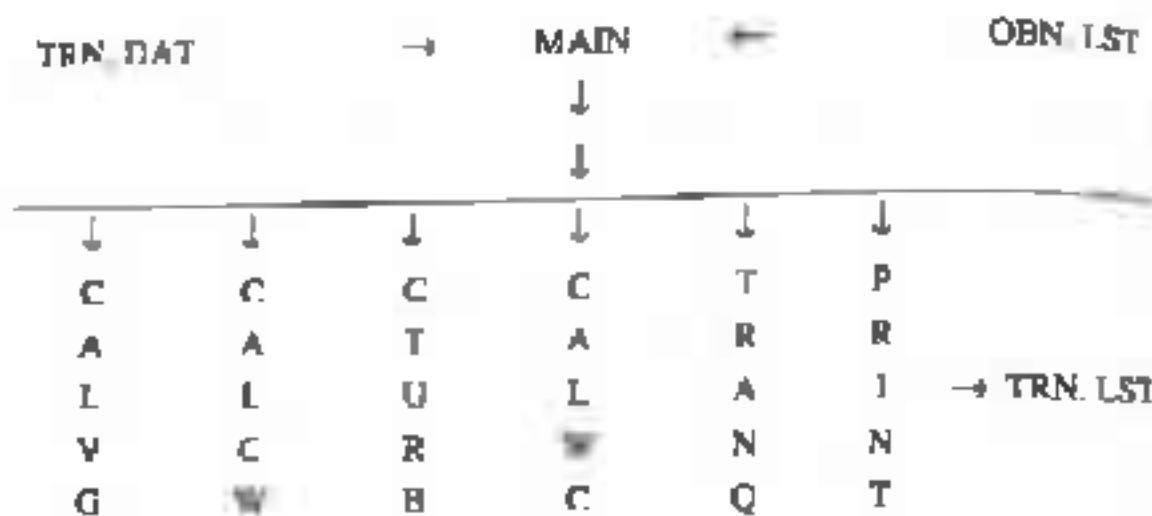
Программная реализация модели.

Программа реализована на персональной ЭВМ PENTIUM, на языке программирования ФОРТРАН-77.

Функциональный блок - схема программы.

Основная программа MAIN является управляющей и осуществляет ввод массивов и констант, необходимых для работы программы, таких как количество точек сетки по горизонтали и вертикали. Далее в диалоговом режиме с экрана дается вводится информация о количестве суток, на которое ведется расчет, о качестве, местоположении, высоте и мощности источников, как непрерывного действия, так и двоящих аномалий выброе на заданном шаге по времени. Из файла данных TRN.DAT считывается информация о высоте уровней, на которых ведется расчет и массивы, определяющие геометрические высоты и параметр шириноватости в точках регулярной сетки.

Из файла данных OBNTST считывается информация о атмосферном давлении, трехмерных полях температуры, ветров и компонентах скорости ветра в узлах регулярной сетки, полученные в результате объемного анализа этих элементов. Программа осуществляет обращение ко всем гидрометрическим процедурам, а также интегрирование по времени на заданное число суток.



Процедура CALVG осуществляет расчет дополнительной числовой информации: скорости гравитационного оседания в зависимости от радиуса; плотности вещества и атмосферного давления; пересчет краевого шлага, исходя из выполнения условия Куранти Фридрихса-Леена.

Процедура CALCW осуществляет расчет фоновых вертикальных движений путем интегрирования уравнения неразрывности. Процедура STURB осуществляет расчет вертикальных профилей коэффициента турбулентного обмена в зависимости от условий атмосферы, параметров шероховатости подстилающей поверхности и скорости ветра. Процедура CALWC осуществляет расчет конвективных вертикальных движений, связанных с неодномерным перегревом подстилающей поверхности и в частности с температурным влажнением лунных охладителей.

Основным модулем является процедура TRANQ, который осуществляет численное интегрирование уравнения модели в пространственно-временных координатах. Она определяет изменения массовой концентрации загрязняющих веществ и оценку их сухого осаждения на подстилающую поверхность в зависимости от направления

и скорости ветра, скорости гравитационного падения частиц. а также величины коэффициентов турбулентной диффузии.

Процедура PRINT выводит на экран дисплея и АЦПУ логи плотности осажденных веществ ($\text{г}/\text{м}^3$), сумму выброшенных загрязняющих веществ, оставшуюся в атмосфере суммарную концентрацию и суммарную массу осажденных веществ. Процедура также выводит на экран дисплея и АЦПУ карты импульсов, плотности осажденных загрязняющих веществ и приземных концентраций.

Результаты проверки модели

Как уже упоминалось выше, результаты проверки численной схемы, используемой для аппроксимации дифференциального уравнения передачи примеси и граничных условий для этого уравнения подробно изложены в работе [1]. В этом разделе мы опишем тестовые эксперименты, которые были проведены для демонстрации правильности работы модели. Из файла данных символьических и алгоритмических наблюдений выбиралась и затем интерполировалась в узлы заданной сетки давление, температура, точка росы и компоненты скорости ветра (D , V). Область счета состояла 30×30 м, с шагом сетки $\Delta x = \Delta y = 1$ км по горизонтали и 5 см с переменным по высоте шагом по вертикали. Затем из уравнения неравнотности рассчитывался вертикальный компонент вектора W . Задавались пять непрерывных источников, выбрасывающих загрязняющие вещества. Координаты источников соответствовали следующим точкам сетки:

- первый источник	$i = 4$	$j = 4$	$k = 3$
- второй источник	$i = 8$	$j = 4$	$k = 2$
- третий источник	$i = 6$	$j = 16$	$k = 2$
- четвертый источник	$i = 16$	$j = 6$	$k = 2$
- пятый источник	$i = 10$	$j = 10$	$k = 3$

Количество выбрасываемой примеси 0,5; 1,0; 1,0; 0,5; 1,0 л/с соответственно. Эффективная высота выбросов составляла 100 м, что соответствовало третьему уровню модели ($k = 3$).

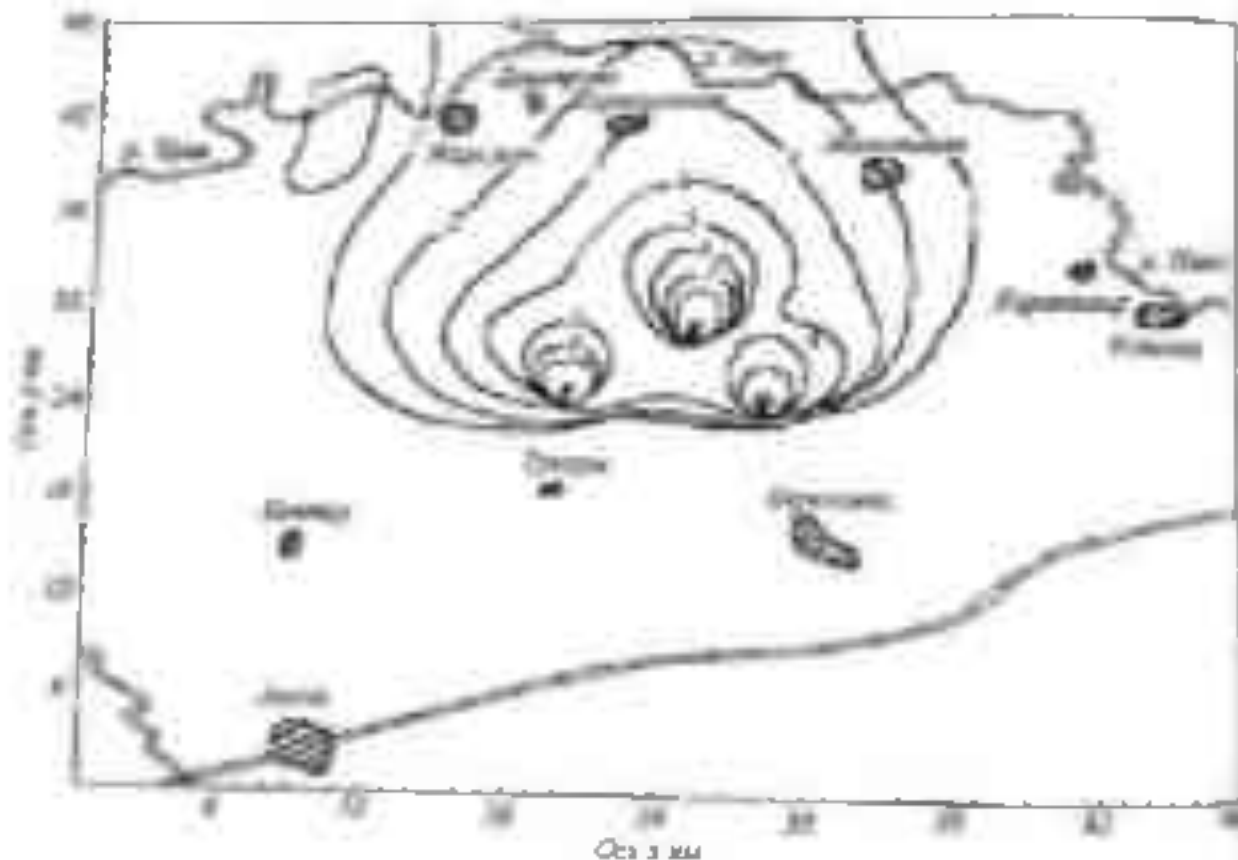
На шестидесятом шаге по времени (через 6 часов) на пятом источнике происходил аномальный выброс, когда за один шаг по времени (360 с) выбрасывалось 10^4 г загрязняющих веществ. Эффективная высота аномального выброса составила 190 м, что соответствовало четвертому

урпленю модели ($I = 4$). Далее под действием поля яетра, горизонтальной и вертикальной диффузии происходит распространение загрязняющих веществ и из выпадение на подстилающую поверхность в основании с учетом гравитационного и турбулентного падения.

Через каждые сутки на печать выдавались пол:

- а) выпавшей на подстилающую поверхность примеси (Γ);
б) оставшейся в воздухе примеси (Γ) на 40, 100, 190, 350 м соответственно

Поле выпавшей примеси выражалось также в виде изолиний для наглядности и удобства анализа. Так же для контроля выдавались значения суммы выброшенных загрязняющих веществ (Γ); суммы выпавшей на подстилающую поверхность примеси (Γ); суммы оставшихся в атмосфере веществ (Γ) и отношение выпавших к выброшенным источникам загрязняющих веществ в процентах (см. рис.)



СПИСОК ЛИТЕРАТУРЫ

1. Айдосов А., Айдосов Г.А. Теоретические основы прогнозирования и природных процессов и экологической обстановки окружающей среды. Книга 1. Теоретические основы прогнозирования атмосферных процессов и экологической обстановки окружающей среды - Алматы - "Казац университет", 2000. - 290 с.
2. М.Е. Берлянд Современные проблемы атмосферной диффузии и загрязнения атмосферы - Л.: Гидрометеониздат, 1975. - 448 с.

Казахская государственная архитектурно-строительная академия

МҰНАЙ ГАЗ КОНДЕНСАТТЫ ОПДІРГІН АЙМАҚТАРДЫҢ ТӨМЕНГІ ШЕКТІК АТМОСФЕРАЛЫҚ ҚАБАТЫШЛА ҮЙЛАНДЫ ЗАТТАРДЫң ТАРАЛУЫН МОДЕЛЬДЕУ

Физ.-мат. гылымдар кызы А. Айдосов
Х.С. Тұрғымбасаев

Жұмысты атмосферадағы шикізатты заттардың таралуы мен оған жер рельефинің асер ету процесстері қарастырылған. Модельдің математикалық формуларының шығарылған, ол сандық және байдарламалық түрлүүде есептелген. Текперу нағызгерлернің модельдің сенімділік көрсеткіші

УДК 633.11.601.413.3

ДИНАМИКА РОСТА И УРОЖАЙНОСТИ ЯРОВОЙ ПШЕНИЦЫ ПРИ ИЗМЕНЕНИИ СТЕПЕНИ ЗАСОЛЕНИЯ ПОЧВ

Киев - с. х. имущ.

Р. К. Бекбасов

В статье приведены результаты исследований по установлению влияния солености почвы на состояние корнеобитаемой толщи зерновых культур и зернотехнического сырья в Центральном Казахстане на рост и развитие яровой пшеницы. Установлено, что при любой степени засоления почвы предотвращают снижение урожайности яровой пшеницы и увеличение продолжительности их герметизации.

Одной из главных причин снижения продуктивности орошаемых земель является засоление корнеобитаемой толщи почвы солями. При этом продуктивность орошаемых земель определяется солями, образованными при соединении следующих ионов: Ca^{+2} , Mg^{+2} , Na^{+} , CO_3^{-2} , HCO_3^- , Cl^- , SO_4^{2-} . В процессе взаимодействия перечисленных ионов в корнеобитаемой толще образуются следующие соли: хлориды – NaCl , MgCl_2 , CaCl_2 ; сульфаты – Na_2SO_4 , MgSO_4 , CaSO_4 ; бикарбонаты – NaHCO_3 , $\text{Ca}(\text{HCO}_3)_2$, $\text{Mg}(\text{HCO}_3)_2$; сода – Na_2CO_3 [2, 3].

В почве указанные соли находятся в различном состоянии: часть из них присутствует в растворе в виде ионов, другая находится в твердой фазе, некоторое количество солей сорбируется почвенным поглощающим комплексом. По характеру влияния солей на рост и развитие растений они делятся на токсичные и нетоксичные.

Влияние солей на рост, развитие и урожайность сельскохозяйственных культур связано с осмотическим давлением внешнего раствора и их токсическим действием [1]. Пронирование растений на засоленных почвах, согласно теории осмотического действия возможно лишь в том случае, когда осмотическое давление клеточного сока превышает осмотическое давление почвенного раствора. Считается, что при сильном засолении корнеобитаемой толши почв, ведущее значение в действии солей

и растения принадлежит осмотическому давлению внешнего раствора, при слабом - токсическому действию солей [1, 4].

Солеустойчивость растений нередко определяют по общим суммам воднорастворимых солей в корнеобитающей толще почвы, однако, такие сведения недостаточны, т.к. отмечаются случаи сравнительно хорошего состояния сельскохозяйственных культур при довольно низком содержании воднорастворимых солей в почве. Это указывает на то, что для проникновения сельскохозяйственных культур большое значение имеет не только степень, но и химия засоления.

Для установления влияния степени и глубины засоления корнеобитающей толщи почв на урожайность сельскохозяйственных культур, на темнокаштановых почвах зоны канала Иртыш - Караганда, нами изучено влияние степени и глубины засоления корнеобитающей толщи на рост и развитие яровой пшеницы. Результаты исследований показывают, что дружные походы яровой пшеницы «Саратовская 29» были получены только на незасоленных почвах, где выпало 94,2 - 97,5 % семян. На засоленных почвах выпало лишь 21% семян от нормы высева (табл. 1).

Таблица 1

Основные показатели развития яровой пшеницы

Показатели	Степень засоления почв			
	незасо-ленные	слабые-теревисто-засоленные	сильнозасоленные	соленые
Содержание токсичных солей в почве, %				
1-й слой	0,222	0,211	0,248	0,597
Глубина рассоления, см	125	100	80	0
Норма высева, шт/м ²	480	480	480	480
Количество всходивших растений:				
шт./м ²	468	466	467	100
в % от нормы высева	97,5	97,0	97,4	21
Количество растений, выживших к концу вегетации:				
шт./м ²	468	466	467	74
в % от всходивших растений	100	100	100	74

Кроме того, установлено, что степень и глубина засоления почв также оказывают сильное влияние на выживаемость и продуктивность растений. Например, к концу вегетации на незасоленных, слабо и среднезасоленных

почвах практически 100% растений дали урожай. На сильнозасоленных почвах дали урожай только 75% от количества изошедших растений. Анализ данных показывает, что количество растений, дающих урожай, на колене вегетации уменьшается более чем в 6 раз на засоленных почвах, по сравнению с незасоленными.

Влияние степени и глубины рассоления на динамику роста яровой пшеницы подтверждается фенологическими наблюдениями за развитием яровой пшеницы. Результаты фенологических наблюдений показывают, что в начальной стадии развития яровой пшеницы на незасоленных почвах на ближайшее расстояние в датах наступлений первых фаз (табл. 2) не наблюдалось различий. На засоленных почвах появляются сдвиги в сроки яровой пшеницы на сильнозасоленных почвах появляются с опозданием на 5 дней, а фаза кущения практически отсутствует.

Таблица 2

Дата наступления фенологических фаз у яровой пшеницы

Фазы развития	Степень засоления почв			
	незасоленные	слабозасоленные	среднезасоленные	сильнозасоленные
Посев	19.05	19.05	19.05	19.05
Всходы	3.06	3.06	3.06	8.06
Кущение	17.06	17.06	18.06	отсутств.
Трубкование	25.06	25.06	26.06	10.07
Колошение	6.07	6.07	9.07	27.07
Спелость:	а) молочная	31.07	1.08	6.08
	б) восковая	8.08	10.08	14.08
	в) полная	17.08	19.08	24.08
Продолжительность вегетационного периода, сутки	90	92	97	116

Из приведенных данных видно, что минимальная продолжительность вегетационного периода (90..92 сутки) получена на почве, где глубина залегания (до залупочных пределов) превысила 1 метр. На среднезасоленных почвах продолжительность вегетационного периода, вследствие увеличения содержания токсичных солей в корнеобитаемом слое и уменьшения глубины рассоления возрастает до 97 суток, на сильнозасоленных - до 116 суток.

Кроме того, высыпание почвы на засоленных почвах не только уменьшает производительность всходов пшеницы, но и снижает урожайность. Например, при продуктивности всходов пшеницы 2,5 (табл. 3), на незасоленных почвах она сокращается до 2, в на засоленных (непромытых) - отсутствует. Аналогичная картина наблюдается при оценке выхода зерна на 1 колосе, веса зерен которого колеблется от 1000 продутивных и количество щуплых зерен.

Таблица 3
Элементы структуры урожая при изменении степени и глубины засоления корнеобитающего слоя почвы

Содержание токсичных солей в слое 1 м, %	Глубина рассоле-ния, см	Продуктивная кустистость, шт	Количество зерен в колосе, шт	Вес зерна глянцевого колоса, г	Содержание щуплых зерен, %	Вес 1000 зерен, г
0,222	125	2,5	28	0,72	2,0	47,25
0,211	100	2,5	28	0,71	3,0	47,10
0,248	80	2,0	26	0,52	9,0	38,87
0,597	0	1,0	8	0,25	88,0	15,42

Результаты исследований показывают, что при рассолении корнеобитающего слоя до допустимых пределов, количество зерен в колосе возрастает почти в 3...4 раза.

Максимальная биологическая урожайность яровой пшеницы получена на незасоленных и слабозасоленных почвах (табл. 4).

Таблица 4
Биологическая урожайность яровой пшеницы в зависимости от степени и глубины засоления почв, шт/га

Содержание токсичных солей в слое 1 м, %	Повторность				Среднее
	1	2	3	4	
0,222	40,9	43,5	42,6	44,8	42,6
0,211	40,7	42,5	41,4	41,2	41,3
0,248	32,6	29,4	31,7	31,5	31,3
0,597	2,4	3,7	6,2	4,5	4,2

На среднезасоленных почвах урожайность яровой пшеницы уменьшается на 26,5% и составляет 11,4 шт/га. На засоленных почвах уро-

жизнеспособности яровой пшеницы поставила 4,2 штв. то есть практически в 10 раз меньше, чем на незасоленной почве.

Анализ приведенных данных показывает, в зависимости от степени засоления корнеобитаемого слоя почвы, можно установить математическую зависимость, которая имеет следующий вид

$$y = 179 - S^{2/3},$$

где y - урожайность яровой пшеницы, шт/га, S - запасы токсичных солей в корнеобитаемой толще почвы, % от массы сухой почвы.

Таким образом, результаты изучения роста и развития яровой пшеницы в зависимости от степени засоления почвы, убедительно свидетельствуют о том, что в условиях Центрального и Северного Казахстана, расчетная глубина рассоления должна составлять не менее 1 м. Это обеспечит хорошие условия роста и развития сельскохозяйственных культур, и, в конечном итоге, получение высоких урожаев.

СПИСОК ЛИТЕРАТУРЫ

1. Базилевич Н.И., Панкова Е.И. Опыт классификации почв по засолению. // Почвоведение, 1969, № 11.
2. Ковда В.А. Основы учения о почвах. - М.: Наука, кн II. - 1973. - 467 с.
3. Пачепский Я.А. и др. Моделирование процессов засоления и осолонцевания почв. - М.: Наука, - 1990. - 304 с.
4. Скурбул А.Г., Калашников К.Г. Оценка степени засоления пойменных почв Молдавии. // Гидротехника и мелиорация, 1975, № 12. - с. 71-76

Кяшхский научно-исследовательский институт водного хозяйства
ТарГУ

ТОПЫРАКТЫН ТҮҮДАНУ ДОРЕЖЕСІНІҢ ЖАЗДЫҚ БИДАЙДЫРЫСЫ ОСУМЕН ОШМДЕШТИНЕ АСЕРІ

Аумыл Ш. Гылымд. канд. Р.К. Бекбаев

Мақалада Орталық Казақстандағы қорамопырақтың жерлердің түүдаку тарендігі мен дорежесінің жаздық бидайдың агу мен анымділігін зерттеу жұмыстарының нәтижелері көлтірілген. Топырактың түүділігінің бидайдың анымділігін көмітептің және агу кезеңін үзарташыны анықталған.

УДК 556.621.72

ГОРНОЛЕДНИКОВЫЙ БАССЕЙН. МОДЕЛИРОВАНИЕ ГИДРОГРАФА РЕЧНОГО СТОКА

Канд. геогр. наук В.Н. Голубев

Канд. техн. наук В.И. Ли

Рассматривается модель формирования стока с ледниковой поверхности бассейна горной реки. Применяются алгоритмы замораживания снегов, формирования потерь на замерзание воды при фильтрации через толщу снега и фирна, расчета интенсивности стокоподготовки на поверхность и в лытце ледника, а также ее прорастывания в гидрограф притока к гидрографической сети. Для демонстрации возможностей предлагаемых алгоритмов приведены результаты моделирования стока в горно-ледниковом бассейне р. Малая Альматинка в створе урочища Сарысай.

Горноледниковые бассейны, как известно, состоят из ледниковой и неледниковой частей. Описание процесса формирования стока на его неледниковой части принципиально не отличается от описания аналогичного процесса в других высотных зонах горного бассейна. Рассмотрим процесс формирования стока в ледниково-моренной части бассейна. Ледниковая часть бассейна может быть представлена в виде двух последовательно спадающих регулирующих емкостей. При этом верхняя емкость может быть отождествлена с формированием стока на поверхности ледников и морен, а нижняя - с формированием стока в их толще.

Потери воды, образовавшейся в результате таяния снега, фирна и льда, как показано исследованием Г. Н. Голубева [4], обусловливаются ее замерзанием в процессе фильтрации через снего-фирновую толщу и движением по поверхности льда под снегом. В процессе обледенения происходит заполнение льдом свободной емкости снего-фирнового покрова и уменьшение потерь талой воды на замерзание.

Изменение общего дефицита замерзшей влаги в свободной емкости снего-фирнового покрова в зависимости от интенсивности ее заполне-

с помощью следующего дифференциального уравнения:

$$\frac{dW}{dt} = -f;$$

$$D = W_{\max} - W,$$

где D - дефицит замерзшей воды и свободной емкости снего-firнового покрова, мм; W_{\max} - максимальное значение свободной емкости снего-firнового покрова; W - запас замерзшей воды в толще снега и firна, мм; f - интенсивность потерь воды на замерзание при фильтрации через толщу снега и firна, мм/сут; t - время, сут.

Предположим, что f зависит от интенсивности поступления R на поверхность ледниковой части рассматриваемого бассейна и степени заполнения емкости снего-firнового покрова. Принимая в первом приближении зависимость интенсивности заполнения свободной емкости снего-firнового покрова от дефицита воды в ней линейной, можно записать следующее соотношение

$$\frac{f}{R} = \frac{D}{W}, \quad (2)$$

где $D_{\max} = W_{\max}$ - наибольший дефицит замерзшей воды в толще снега и firна, мм; R - суммарное поступление воды с поверхности ледника, мм/сут.

Сведения о моделях расчета суммарного поступления воды на поверхность горно-ледникового бассейна приведены в работах [1 - 4, 6].

Соотношение (2) показывает, что по мере заполнения льдом свободной емкости снего-firнового покрова поступление в нее воды от талки снега, firна и льда уменьшается. Определив из соотношения (2) значение f и подставив его в уравнение (1), получим:

$$\frac{dW}{dt} = -\frac{D}{W_{\max}}, \quad (3)$$

Решение этого дифференциального уравнения для суточных интервалов времени можно записать в следующем виде:

$$f = D_{\max} \left\{ 1 - \exp \left(-\frac{t}{W_{\max}} \right) \right\} \quad (4)$$

$$D_s = D_{ss} \exp \left(-\frac{1}{W_{ss}} \right) \quad (5)$$

где $D_{ss} = W_{ss} - W_{ss}$, $D_s = W_{ss} - W_s$ - соответственно, предшествующее и последующее значение емкости снего-фирилового покрова на

Необходимо отметить, что для определения f и D_s также могут быть использованы следующие выражения

$$f = D_s / D_{ss} \quad (6)$$

$$D_s = D_{ss} \left(1 - \frac{1}{W_{ss}} \right) \quad (7)$$

Последующее значение запаса воды в рассматриваемой емкости принимается равным:

$$W_s = W_{ss} + f \quad (8)$$

Интенсивность стокообразования на поверхности ледников и морен и в их толще определяется следующим образом:

$$q = 1 - f \quad (9)$$

Суммарный расход, характеризующий интенсивность стокообразования в ледниковой части может быть определен с помощью следующего выражения

$$Q_s = 16,07 q F, \quad (10)$$

где Q_s - интенсивность стокообразования, $\text{м}^3/\text{s}$; F - площадь ледниковой части бассейна, км^2 .

Приток воды к гидрографической сети, сформированной в первой (верхней) и второй (нижней) емкостях, характеризуется различной естественной зарядкой ированностью. Поэтому возникает необходимость разделения расхода Q_s на две части для отдельной трансформации в пределах указанных регулирующих емкостей:

$$Q'_s = \beta Q_s, \quad (11)$$

$$Q''_s = (1 - \beta) Q_s, \quad (12)$$

где Q'_s и Q''_s - соответственно интенсивность стокообразования в верхней и нижней регулирующей емкостях, $\text{м}^3/\text{s}$; β - параметр, характеризующий долю суммарного стока, поступающую в верхнюю регулирующую емкость

В ходе численного эксперимента для бассейна р. Малый Амур, значение α может быть принят постоянным или изменяющимся в

$$\sum Q_a \\ \beta = \beta_0 - \alpha \frac{1}{k} \sum \sum a_i \quad (13)$$

где k - продолжительность периода от начала аблации до расчетной, t - общая продолжительность периода аблации в станичные годы сут., n - число лет наблюдений за аблацией; β_0 и α - параметры. Эти параметры могут быть приняты $\beta_0 = 0,6$, $\alpha = 0,2$.

Трансформация интенсивности стокообразования Q_a и Q_{a+1} соответственно, в интенсивность притока к гидрографической сети Q_{n+1} и Q_n также всего может быть осуществлена с помощью линейной модели:

$$Q_{n+1} = Q_{n(n-1)} + a [Q_{n(n-1)} - Q_{n(n-1)}]. \quad (14)$$

$$Q_n = Q_{n(n-1)} + a [Q_{n(n-1)} - Q_{n(n-1)}]. \quad (15)$$

где a и a' - параметры трансформации, соответственно, для первой и второй регулирующей смыкостей; $n-1$, n - индексы, соответственно, предшествующих и последующих суток.

Трансформация притока воды с ледниковых поверхностей в гидрограф стока осуществляется в процессе трансформации суммарного притока к гидрографической сети горного бассейна [5].

Необходимо отметить, что если приток к руселовой сети осуществляется по поверхности открытой части ледника, то для трансформации интенсивности стокообразования в пределах верхней регулирующей смыкости следует использовать нелинейные модели.

Параметры a и a' изменяются в течение аблационного периода и могут быть определены с помощью следующих выражений:

$$a = a_0 + a' \frac{\sum Q_a}{\sum \sum a_i} \quad (16)$$

$$\alpha'' = \alpha'_0 + \alpha'' \frac{\sum Q_i}{\sum \sum Q_i}, \quad (17)$$

где α_0 , α'_0 , α' и α'' - параметры.

Следует отметить, что во многих случаях параметры α'_0 и α''_0 изменяются в течение многолетнего периода. Эти изменения в последние десятилетия связаны с распадом ледяного следования. Поэтому при осуществлении непрерывного моделирования процесса формирования стока в горноледниковых бассейнах параметры α_0 и α'_0 следует принимать изменяющимися в зависимости от интегральных характеристик аблаций ледников.

Выражения (16) и (17) отражают увеличение динаминости ледникового стока с увеличением продолжительности аблации. Параметры этих выражений были определены при проведении численного эксперимента по моделированию гидрографа стока р. Малая Алматинка в створе урочища Сарысай. В первом приближении они могут быть приняты равными: $\alpha_0 = 0,1$; $\alpha'_0 = 0,5$; $\alpha'_1 = 0,01$; $\alpha''_0 = 0,05$. На рис. 1 и 2 приведено сопоставление рассчитанных и фактических гидрографов стока р. Малая Алматинка в створе урочища Сарысай за 1966 и 1967 гг.

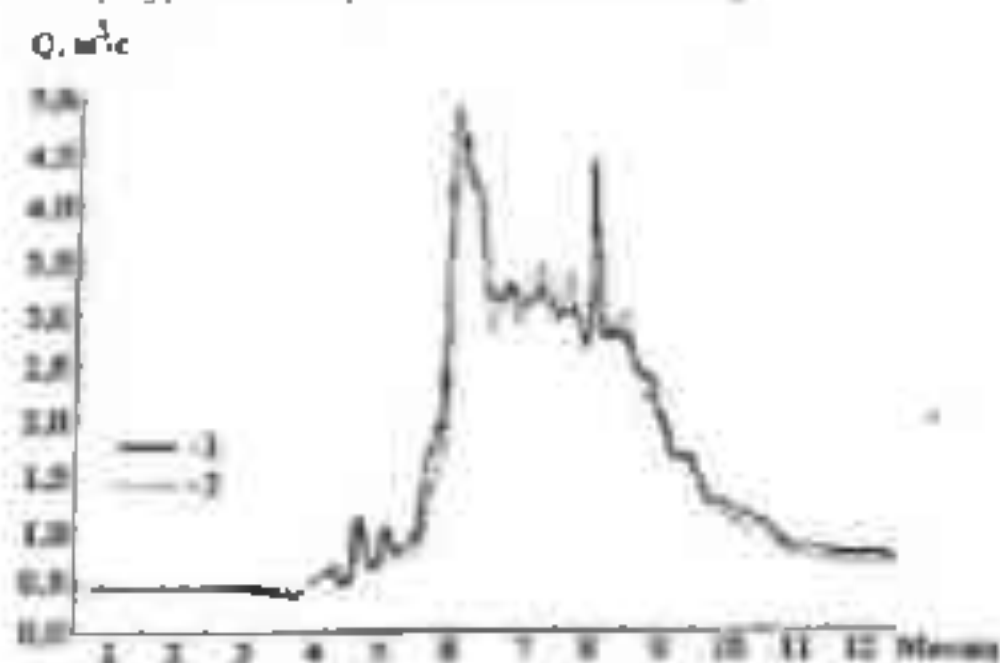


Рис. 1. Сопоставление рассчитанного и наблюдаемого гидрографа стока р. М. Алматинка в створе урочища Сарысай за 1966 г.
1 - наблюдаемый; 2 - рассчитанный.

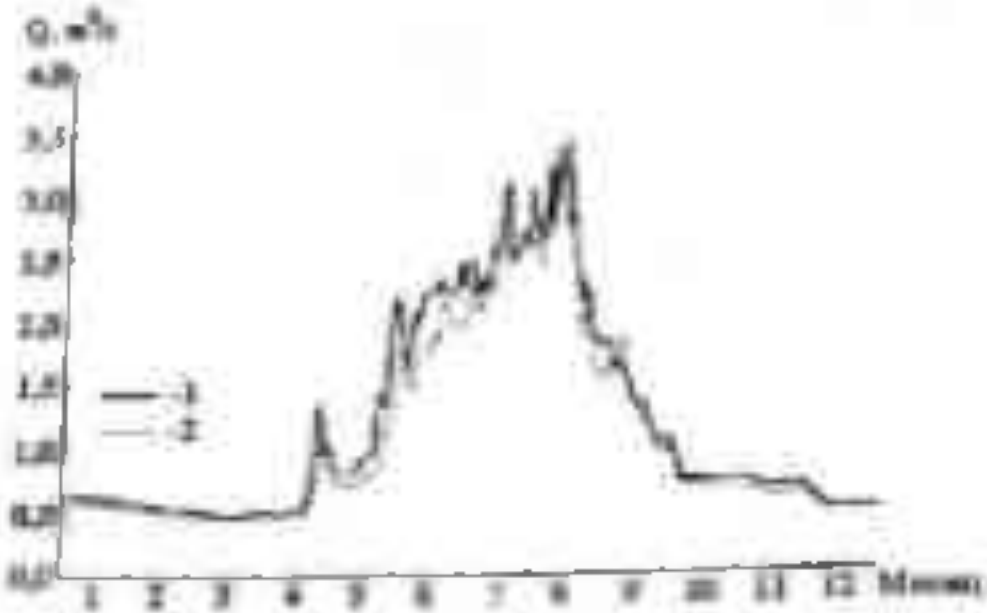


Рис. 1. Сопоставление рассчитанного и наблюдаемого гидрографа стока
р. М. Алматинка в створе урочища Сарысай за 1967 г.
1 — наблюденный; 2 — рассчитанный

Необходимо отметить, что р. Малая Алматинка использовалась для оценки параметров модели формирования ледникового стока последствия наибольшей изученности гляциальной зоны ее бассейна [7, 8, 9]. Выбор же створа выше урочища Сарысай обусловлен тем, что створ Мынжилы не полностью учитывает ледниковый сток р. Малая Алматинка. Доля ледникового стока в общем стоке учитываемом в створе урочища Сарысай составляет более 70 %, что позволяет с достаточной степенью достоверности оценить параметры модели формирования стока в ледниково-фирновой зоне. Это подтверждается хорошей сходимостью рассчитанных и фактических гидрографов стока.

СПИСОК ЛИТЕРАТУРЫ

- Боровикова Л.Н. и др. Математическое моделирование процесса стока горных рек / Боровикова Л.Н., Денисов Ю.М., Трофимова Е.Б., Шенциус И.Л. — Л.: Гидрометеониздат, 1972. — 151 с.
- Боровикова Л.Н., Денисов Ю.М. Модель поступления воды на поверхность горного бассейна и некоторые результаты ее проверки на бассейнах рек Западного Тянь-Шаня // Труды САНИИ. — 1970. — Вып. 53(67). — С. 3-20.
- Глазырина Г.Е. Распределение и режим горных ледников. — Л.: Гидрометеониздат, 1985. — 181с.

4. Голубев Г.Н. Формирование речного стока в горно – ледниковых районах. -М.: Наука, 1968. – 105 с
- 5 Голубцов В.В. Моделирование стока горных рек в условиях ограниченной информации // Труды КазНИИ Госкомгидромета, 1985, вып. 91, С. 3 – 18.
6. Денисон Ю.М. Схема расчета гидрографа стока горных рек. - М.: Гидрометеоиздат, 1965. - 102 с.
7. Ледники Тулюкту (Северный Тянь-Шань) / Макаревич К.Г., Вилеслав Е.М., Голубев Р.Г. и др. – Л : Гидрометеоиздат, 1984 – 172 с
8. Материалы наблюдений на горно-ледниковых бассейнах СССР вып. 1, 1964 – 1969 – Л : Гидрометеоиздат, 1980 – 210 с
9. Оледенение Западного Алатау / Макаревич К.Г., Пальгов Н.Н., Токмагамбетов Г.А. и др. - М : Наука, 1969. – 285 с.

Казахский научно-исследовательский институт
мониторинга окружающей среды и климата

ТАУЛЫ МҮЗДАҚТЫ АЛАП: ГИДРОГРАФИЯЛЫҚ ӨЗЕҢИ АҒЫМЫН ҮЗГІЛЕУ

Геотр. қызынад. канд. В. В. Голубцов
Техн. ғызынад. канд. В. И. Ли

Тоғызы азияттың жаңылықты мұздактың белгіліде ағымның құрамын үшінгі құрастырылған Сыйындылықтарды табалыру, қар мен фири қатындылығы арқызы атқағасын көзделегі судың қатын шығындарының дүрекшілік, мұз белгіліде және шукпалқы қызығылданындағы ағым тағыда болдурылып және ғана мынан қалыптар оның гидрографиялық тораптаға асым гидрографик арқызын пішүтіп есебі алгоритмдері көлтірілген. Үсіншілек пішүцілер алгоритмдердің мүмкіндістерін көрсету үшін Каз. Академияның Сарылай шеткозындыры ғанауды мұздакты азабенделген ағымын үзгілеу нәтижесінде көлтірілген.

УДК 506.1

**ЗАВИСИМОСТЬ МИНИМАЛЬНОГО РЕЧНОГО СТОКА РЕК
СЕВЕРНОГО ТЯНЬ-ШАНЯ ОТ ГЕОЛОГО-Тектонических
УСЛОВИЙ И ЕГО ЭКОЛОГИЧЕСКИЕ АСПЕКТЫ**

Канд. геогр. наук

Ж.Ж. Карамолдоев

А.Н. Мандачев

В статье рассмотрена зависимость минимального стока рек Северного Тянь-Шаня от геологических условий областей формирования их поверхностного и подземного стока. Отмечено, что свойства аттумуации поверхности стока в пределах гидрогеологических антилопов имеют ряд экологических аспектов. В частности, базисный сток медленнее подвергается загрязнению из-за необходимости фильтрации загрязнителей через города. В качестве индикатора, показывающего роль подземного стока в питании рек предложен коэффициент автоморфизма.

В физико-географическом отношении рассматриваемый регион входит в Северную Тянь-Шаньскую и Иссык-Кульскую провинции Среднеазиатской горной страны [1].

Северная Тянь-Шанская провинция находится на севере горной области. Ее образуют Кыргызский хребет, Таласская, Кичи-Кеминская, Чонг-Кеминская впадины и их горное обрамление, площадь этого региона 21,3 тыс. км² [1]. Климат континентальный, что определяет четко выраженное внутригодовое распределение стока. Иссык-Кульская провинция представляет собой обширный замкнутого характера горно-вотловинный комплекс, площадью более 22 тыс. км². Его центральную часть занимает глубоководное бессточное озеро Иссык-Куль, обрамленное горными хребтами Кынгей и Терскей Ала-Тоо и, раздвинутые расчленены многочисленными речными ложбинами и сухими долинами. Благодаря незамерзающему озеру Иссык-Куль и защищенности южных горных хребтами континентальный климат несколько мягче.

Здесь ржка выражены межгодовой и многоводный периоды года. В гидрогеологическом отношении указанные хребты представляют собой однотипные гидрогеологические массивы, в пределах которых за счет

трещинных и, в меньшей мере, поровых подземных вод формируется сток в маловодный (осенне-весенний) период года.

Районы рек прорываются и претерпевают изменения, зависящие от основных областей формирования гидрологического и гидрогеологического цикла, который в дальнейшем переходит в гидрохимический и гидротехнический цикл в пределах межгорных впадин. Это параллель с ледниками и снегоградами районам распространения наиболее чистых гидрологических и гидрогеологических ресурсов. Здесь, из-за начавшегося на них антропогенного загрязнения, практически отсутствуют источники пресной воды. Но в будущем, в связи с возможным потеплением и исчезновением ледника, а также с использованием территории горных краев для горно-добывающими предприятиями и для рекреационных целей, экологическая ситуация может измениться в лучшую сторону.

В основу стратегии охраны гидросфера рассчитываемого региона положены защитная профилактика и природо-исследовательской производственной деятельности человека, позволяющие регулировать качественное состояние и ресурсы гидросферы, разрабатывать методы управления природными и техногенными процессами, действующими на нее. Охрана природных вод должна строиться на защитной профилактике.

Следует иметь в виду, что загрязнение и истощение природных вод или почвенных явлений обычно отрицательно влияют на внешнюю экосистему и природные ландшафты, иногда приводя к необратимым последствиям. Как известно, активность водообмена для различных составляющих речного стока неодинакова: наиболее динамичны ледниковые и снежные воды, менее динамичны подземные воды. Исследование минимального стока показывает, что и здесь наблюдаются большие различия в величине стока. Базисный сток, в отличие от других составляющих речного стока, медленнее подвергается загрязнению из-за необходимости фильтрации загрязнителя через породы. Однако, если в процессе формирования подземной составляющей минимального стока в подземные воды проникают нежелательные токсичные соединения, то избавиться от них будет труднее. Консервативность супочищенных гидрохимической среды и выдвигает профилактику в качестве основного направления стратегии охраныной части речного стока.

Усиливающаяся техногенная нагрузка на гидросферу с каждым годом становится все более ощутимой. В последнее время зем-

Киргызстана негативным фактором загрязнения гидросфера становятся горно-забывающие промышленные предприятия, расположенные выше по течению рек относительно мест проживания основной массы населения (Кумтор, Кашкы и др.). Местами ~~живут~~ ведут даминировать нарушенный режим речного стока. В условиях Киргизии ~~живут~~ зарегулированный сток на таких реках как Чу, Талас ~~полностью~~ почти полностью идет на наполнение водозаряженных водоемов, необходимый для прощения. Следует отметить, что нарушение режима ~~и~~ изменения реки приводят к изменениям различных компонентов ландшафта.

Я целиком исключить антропогенное воздействие на гидросферу невозможно, поэтому необходимо обеспечить ход изменений ее режима в желательном для человека направлении, при котором составляющие элементы режима не нарушают целостности окружающей среды, полностью исключают кризисные ситуации или трансформируют природные системы в искусственные.

В свете указанных проблем важным свойством гидропластических массивов является их способность к аккумуляции части поверхности стока, обраzuющеюся в их пределах, в тонах эпигенетической трещинопности склонных пород и в рыхлых обломочных отложениях ледниковых, делювиального и вллювиально-пролювиального генезиса. Эта часть поверхности стока трансформируется в подземный сток, который, в свою очередь частично вновь трансформируется в поверхностиный, в частично подземным путем по трещинным системам переходит в осадочные пластовые системы впадин, формируя подземный сток впадин.

Степень регулирующего воздействия подземного стока на поверхность на площади гидрогеологических массивов отражается в величинах радиуса действия [4].

Подземные воды в трещинных системах древних палеозойских и Протерозойских пород, представленных конгломератами, порфиритами, эффузивами, песчаниками, сланцами и известняками, развитыми в Таласском, Кыргызском, Кунгейском, Тескейском хребтах, разгружаются в многочисленных родниках с расходами преимущественно 0,05 - 0,5 л/с, реже в 10 л/с. Их порядка 8 - 10 в зонах тектонических разломов и на участках развития делювиальных отложений. Воды, навызывающие известники имеют расходы родников от 0,1 - 0,7 л/с, до 1 - 10 л/с. В зонах тектонических разломов в расходы родников увеличиваются до 17 л/с.

Подземные воды в интрузивных породах гранитах, гранодиоритах, гранит-порфирах, кварцевых порфирах, диоритах, сиенитах, мангонитах, габброидах для которых содержатся в трещинах этих пород, расходы родников в пределах 0,1 – 8 л/с, в зонах тектонических разломов до 10 - 20 л/с. Таким образом, величина родникового стока отражает потенциальную буферную емкость субстрата гидрогеологических массивов и маломощных рыхлых обломочных отложений.

Свойства аккумуляции подземного стока в пределах гидрогеологических массивов имеет два экологически важных аспекта. С одной стороны оно позволяет осуществить сезонное регулирование подземного стока путем создания специальных инженерных сооружений, способствующих интенсификации инфильтрации подземного стока в рыхлые погодочные аллювиальные и гляциальные породы, что важно в аспекте потепления климата и перспектив развития малой гидроэнергетики. С другой стороны это свойство необходимо иметь в виду при проектировании и строительстве горнодобывающих, рекреационных и других предприятий в горной зоне, которые могут являться источниками загрязнения как подземных, так и подземных вод, причем в последнем случае загрязнение может аккумулироваться в подземных водоносных емкостях и его удаление может требовать больших экономических и временных затрат. Учет этого обстоятельства тем более важен, поскольку качество водных ресурсов в районе гидрогеологических массивов определяет качество подземных и подземных вод в пределах межгорных впадин. В этом случае необходимо иметь в виду, что разбавление стока не решает проблему, так как загрязняющие компоненты полностью переходят в область аккумуляции в пределах межгорных впадин и здесь концентрация загрязняющих веществ будет увеличиваться за счет испарения.

В качестве коэффициента естественной защищенности речного стока нами принят коэффициент автокорреляции $R(l)$, теория и практическое применение которого детально отражены в [2]. Изменение величины $R(l)$ очень хорошо видны на примере р. Чу. В 1959 году эта река был зарегулирован Орто-Токайским водокранилищем, которое до настоящего времени обеспечивает оросительной водой Чуйскую долину. По окончании поливного сезона река полностью перекрывается для

пополнения водой, необходимой для
вегетационного периода.

За осенне-зимний период при отсутствии в реках, в условиях крайне засушливого климата руслоевые воды истощаются и реки переходят на устойчивое подземное питание. Гак Коморчик, левый основной приток реки Чу, в этот период полностью пересыхает и ее долина в формировании стока р. Чу не превышает 5%. Бесснежная или малоснежная, для большей части территории, зима не в состоянии сформировать поверхностный сток как незначительное количество снега расходуется на испарение и увлажнение сухой почвы.

В результате указанных причин река в период минимального стока переходит на подземное питание, сформированное за счет трещиноводных вод. В этой связи создаются предпосылки для проявления максимально большой величин коэффициента автокорреляции $R(l) = 0.81$, фиксированной на р. Чу - устье р. Чон-Кемин, $R(l) = 0.63$ определен после падения в р. Чу правого незарегулированного притока реки Чон-Кемин, $R(l) = 0.63$ - на посту Бурулдайский мост, то есть здесь ощущимое влияние оказывают грунтовые воды, сформированные в Чон-Кеминской долине.

У рек Суек, Джеламыш, Аксуу (Арашан), Джаркуу, Чола, Джаргылчай, Учкошай, Кичи-Аксуу величина $R(l) > 0.60$. Питание этих рек происходит, в основном, за счет трещиноводных подземных вод относительно глубокой циркуляции. Эти воды приурочены к зоне трещиноватости крупных тектонических разломов (Фергано-Джунгария, Аккемин, Аккемин), тектоническими разрывными нарушениями с глубиной проникновения в зону атмосферного воздуха, превышающую глубину региональной зоны экзогенной трещиноватости. Продуктивность в зонах разломов более медленный, чем в зоне экзогенной трещиноватости и определяется глубиной зоны трещиноватости и степенью ее водопроницаемости.

В прилегающей к реке зоне тектонических разломов очень широко развиты, малоизученные, новейшие разрывные нарушения выявлены по геоморфологическим и геофизическим данным [6]. Величина внутритидной корреляции достигает наибольшего значения (0,72) на реке Аксуу (Арашан) в гористой части хребта Терскей Алла-Тоо. Здесь в пределах водосбора рек выявлены два важнейших краевых разломы.

Центрально-Тяньшанский, Южно-Аксынский, сопровождаются более мелкими многочисленными различными нарушениями. Водообороты рек здесь: Жайыл - 0,61; река Капчагай - 0,61. Река Капчагай имеет коэффициент внутренней корреляции 0,61. В Чуйском бассейне этот коэффициент для рек Суук - 0,69 и Джеламыш - 0,61; здесь так же в прилегающих водосборах, наблюдаются крупные разломы. Интересным на наш взгляд является тот факт, что из пяти из семи водосборов рек с высокими значениями $R(1)$ расположены разломов. В гидрогеологическом отношении в пределах этих зон происходит питание подземных вод за счет поверхностного стока и нагружение подземных вод на глубину до 3000 м с последующей разгрузкой на поверхность [5].

Заключение

Наличие автокорреляции в гидрологических рядах минимального стока определяется аккумуляцией подземных вод в трещинных и частично поровых системах водосборного бассейна и стабильностью гидрологических условий. Коэффициенты внутренней корреляции $R(1)$ колеблются от -0,06 до 0,72. Высокие значения коэффициента корреляции имеют реки, питание которых происходит в основном за счет трещинных вод, приуроченных к зонам тектонических нарушений.

Таким образом, результаты анализа $R(1)$ минимального стока позволяют районировать территории гидрологических масштабов по степени уязвимости поверхности и подземного стока потенциальным загрязнением и разработать рекомендации по защите от загрязнения, а также выбрать наиболее перспективные речные бассейны для осуществления мероприятий по трансформации поверхностного стока в подземные породные ємкости и его сезонного регулирования [3].

СПИСОК ЛИТЕРАТУРЫ

1. Атлас Киргизской ССР, М., 1 Ул. К. 1987. 159 с.
2. Андерсон А.Б. Внутриречная корреляция минимального стока рек земного шара // Сб. работ по гидрологии. - 1988. - №20. - С. 92 - 104.
3. Азаринов В.Г. Циклические колебания минимального стока и их учет при гидрологической расчетной // Труды ГГИ. - 1978. - Вып. 68. - С. 3 - 49.
4. Гидрогеология СССР, т. 20, м. «Мир», 1971. - 487 с.

5. Маринов Н.А. Формирование подземных вод в эпиках разломов на примере Азиятского материала // Труды ВСЕГИНГЕО. № 1991. Вып.41. - С. 141 - 145
6. Чечня О.К. Трифонов А.К. Новейшая тектоника // Геология и геофизика. районирования Южно-Курайской складчатости. основы геодинамики. Франкфурт Издм. 1978. - С. 66 - 88.

Кыргызский государственный университет строительства, транспорта и архитектуры
ИВП и ГЭ, Бишкек

СОЛТУСТИК ТЯНЬ-ШАЙЫҢ ӨЗЕНДЕРІНІҢ ЕҢ КІШІ ӨЗЕҢ АҒЫСТАРЫНЫң ГЕОЛОГИЯ-ТЕКТОНИКАЛЫҚ ЖАГДАЙЛАРГА ТАУЕЛДІЛІГІ ЖӘНЕ ОНЫҢ ЭКОЛОГИЯЛЫҚ АСПЕКТЛЕРІ

Географиялық кандидат Ж.Ж. Караполдоев
А.Н. Мандачев

Мақалада Солтүстік Тянь-Шань өзендерінің ең кіші өзен ағыстарының омардың жер бетінде және жер ағытында пайды болған аймақтарының геологиялық жағдайларына тауелділігі жарагырылған. Гидрогеологиялық массивтер шегіндегі жер беті ағыстарының аккумуляцияның қасиеттінің бірнеше экологиялық аспекттері бор екендегі атап көрсетілген. Атап дәсташуышының таужыныстар алқылы сулы қажетшіліктің сағдарынан базисник ағыс жағынан пайдалана. Жер асты ағысының өзендердің толындағы рөлін көрсетеппен мәдениеттік реалтікте автокорреляция коэффициентін ұсынылады.

УДК 556.54

**ИСПОЛЬЗОВАНИЕ ВОДНЫХ РЕСУРСОВ БАССЕЙНА
АРАЛЬСКОГО МОРЯ ДЛЯ ОРОШЕНИЯ ЗЕМЕЛЬ: ПРОШЛОЕ И
НАСТОЯЩЕЕ**

Канд. техн. наук А. К. Кеншиев

Канд. геогр. наук М. Ж. Бурлыбек

Доктор геогр. наук Ж. Д. Дастай

В статье анализируется состояние использования водных ресурсов в бассейне Аральского моря, где анализируются шаги предпринятые в области водопользования государствами бассейна после приобретения ими независимости, межгосударственные соглашения в сфере совместного использования водно-энергетических ресурсов и их выполнение.

Широкомасштабное строительство гидроэнергетических систем в республиках Средней Азии и на юге Казахстана началось по ходу заседания (1966) Пленума Центрального Комитета КПСС, где была принята программа широкой мелиорации земель в СССР.

Развитие экономики стран Средней Азии в целом, в разрезе территориально-промышленных комплексов, республик, областей и отдельных городов, во многом зависит от их обеспеченности водными ресурсами. В исходах оценки наличия водных ресурсов и пригодных для орошения земель в каждом речном бассейне составлялись Схемы комплексного использования и охраны водных ресурсов (КИОВР), где предусматривались лимиты каждой республики для водопользования между ними. При этом учитывались не только рациональные сельского хозяйства, которое является основным водопотребителем в приданной и субаридной зонах, но и демографические факторы, развитие промышленности и других отраслей народного хозяйства. КИОВР рр. Сырдарьи и Амударьи составлялись институтом Средней Азии водоканалов. В разрезе отдельных водосборных бассейнов состояние схем КИОВР следующее:

Бассейн р. Сырдарья. Первая схема КИОВР бассейна р. Сырдарьи по состоянию на 1970 год была утверждена Государственной экспертизой комиссией Минводхоза СССР от 7 февраля 1973 года (Постановление №2). Затем, 1976-1978 гг. была составлена уточненная схема КИОВР бас-

сейня р. Сырдарьи на основании настоящего постановления и задачами Минводхоза СССР от 10 января 1976 года.

Данная уточненная схема была рассмотрена экспертизой подкомиссией Государственной экспертизной комиссии (ГЭК) Госплана СССР и сложена соответствующее Заключение, подписанное всеми членами подкомиссии 12 апреля 1982 года. На основании этого заключения, ГЭК Госплана СССР принял Постановление № 11 от 5 мая 1982 года под наименованием «Об уточненной схеме комплексного использования и охраны водных ресурсов бассейна р. Сырдарьи». Этим постановлением ГЭК Госплана СССР в основном одобрил заключение экспертизы подкомиссии по уточненной схеме КИОВР бассейна р. Сырдарьи, с учетом их замечаний и предложений, и рекомендовал Минводхозу СССР [1, 2]:

- использовать материалы уточненной Схемы р. Сырдарьи, с учетом замечаний и предложений экспертизы подкомиссии, при разработке отраслевой схемы развития материально-вещественного хозяйства до 2000 г.;
- составить и утвердить в кратчайший срок корректирующую запись с выделением фактических водных ресурсов по источникам, водохозяйственным районам и частям бассейна, входящим в территорию определенных республик. При этом учитывая исходить из приведенных в Заключении экспертизы подкомиссии принципов вододеления, в также из необходимости установления гарантированного лимита среднемноголетнего притока к Чирдаринскому водохранилищу в размере 12 км³ в год (из нормативного планерно-стока 37,4 км³), с допускаемым снижением в маловодные годы при гарантированной обеспеченности 90% - до 10 км³;
- указанные объемы притока обеспечивать при необходимости за счет полусухой воды из вышеуказанных водохранилищ, предусмотреть обеспечение в створе Чирдары не только гарантированного количества, но и качества воды (минерализация не более 1 г/л);
- разработать с участием заинтересованных министерств и ведомств «Основные правила использования водных ресурсов водохранилищ Нарын-Гырдаринского каскада для организации рационального и надежного управления водными ресурсами бассейна р. Сырдарьи».
- При составлении территориальных схем развития и размещения производительных сил и схем комплексного использования и охраны водных ресурсов, учесть настоящее постановление и заключение

чение экспертизы подкомиссии и исходя из уточненных Минводхозом СССР лимитов воды.

Данное Постановление является единственным документом столь высокого уровня. После этого, в развитие данного постановления и в целях доработки уточненной схемы, с учетом замечаний Четвертой подкомиссии ГЭК Госплана СССР, проектным институтом «Средазиапроводхолопо» были выполнены следующие проектные проработки [4-7]: «Уточнение схемы комплексного использования и охраны водных ресурсов бассейна р. Сырдарьи (корректирующие записки)», 1983 г.; «Бассейн р. Сырдарьи. Сводный доклад», 1985 г.; «Схема водохозяйственных мероприятий в бассейне Сырдарьи до 2000 года (на период полного исчерпания собственных водных ресурсов)». Сводные записки, 1987 г. Однако, эти проектные материалы рассматривались только на уровне Научно-технического Совета Минводхоза СССР. Из-за того, что эти проработки не были одобрены отдельными республиками бассейна, они не были утверждены, не рассматривались на уровне Госплана СССР и не были приняты в исполнении. Следовательно, основанием для водораспределения между республиками (ныне независимыми государствами) либо сегодняшний день является вышеизложенное Заключение экспертной подкомиссии ГЭК Госплана СССР от 12 апреля 1982 года и Постановление №11 ГЭК Госплана СССР от 5 мая 1982 года. Межгосударственная координационная водохозяйственная комиссия (МКВК) создавалась на базе вышеизложенных документов и готовилась подписанная всеми главами государств региона Нукусская декларация 1994 года.

Существующий принцип водораспределения между государствами в бассейне Сырдарьи. Основанием для установления лимитов водораспределения между республиками бассейна Сырдарьи служила уточненная схема комплексного использования и охраны водных ресурсов, составленная институтом «Средазиапроводхолопо» 1976-1978 годы. Исходными расчетным уровнем при уточнении Схемы принятые данные за 1975 год и дальнейшие материалы на 1976-1980 гг. Конечным расчетным уровнем принят 1985-1990 гг. В схеме учтывались рост населения, развитие сельского хозяйства, промышленности, рыбного хозяйства, гидроэнергетики и других отраслей народного хозяйства республик.

Различный характер понятийных условий является основным фактом при делении бассейна на следующие водохозяйственные районы [3,8]:

- Верховья (р. Нарын и Каракулька также официальная транскрипция);
- Ферганский ирригационный район (Ферганская долина);

- Среднее течение Сырдарьи от Ферганской гидроузла до Чирчика, своего водокачания (Гиссар, Фанские горы, Жиззакская степь);
- Чирчик - Ахангаран - Калонский и Чирчикский районы (ЧАКИР);
- Арысь - Туркестанский и Аксайский районы (АРТУР);
- Нижнее течение Сырдарьи от Чирчаринского водокачания до Аральского моря.

Суммарные водные ресурсы бассейна р. Сырдарьи были уточнены и по многолетним данным (1910-1976) составили в среднем по водности год $40,9 \text{ км}^3$, в год 75%-ной обеспеченности $34,9 \text{ км}^3$ и в год 95%-ной обеспеченности $28,7 \text{ км}^3$ (табл. 1).

Таблица 1

Среднемноголетние водные ресурсы бассейна Сырдарьи по гидрологическому ряду 1910/1911 – 1975/1976 годов ($\text{км}^3/\text{год}$)

Водохозяйственные районы	Ученый поверхностный сток	Неучтенный поверхностный сток	Подземные воды	Инфильтрация атмосферных осадков	Всего
Ферганская долина	25,2	0,25	0,99	0,50	27,4
Среднее течение Сырдарьи	0,36	-	0,31	0,50	1,19
ЧАКИР	8,67	-	0,35	0,30	9,32
Итого выше Чирчира	34,2	0,74	1,67	1,30	38,0
АРТУР, низовья Сырдарьи	2,45	-	0,51	-	2,96
Всего по бассейну	36,7	0,75	2,18	1,30	40,9

Из общей площади бассейна р. Сырдарьи, равной 45 млн. га, сельскохозяйственные угодья составляют 33 млн. га, из них орошалось в 1975 г. 2,66 млн. га (табл. 2), посевы под хлопчатником занимали 1,16 млн. га, под зерновыми – 376 тыс. га, в том числе под рисом – 102 тыс. га; под лекарственными (кроме хлопчатника) и овощебахчевыми культурами и под картофелем – 157 тыс. га; под многолетними насаждениями – 200 тыс. га; под прочими культурами – 130 тыс. га. Как видно из структуры возделываемых различными культурами, хлопок (хлопок было (и остается по 10-годичный цикл) ведущей отраслью Ахангаранского района. Оно сосредоточено в основном в южной части бассейна Сырдарьи. В верховьях преобладали культуры зерновых и овощебахчевой специализации, в ниж-

засыпах – рисово-животноводческой. Свободный фонд земель, пригодных для орошения, оценивался в 10,7 млн. га.

Таблица 2

Характеристика освоения земельных угодий бассейна Сырдарьи (1975 г.)

Показатель	Республики				Всего по бассейну
	Узбек-ская	Казах-ская	Киргиз-ская	Таджик-ская	
Всего населения, млн. чел.	7,97	1,98	1,61	0,97	12,55
в т. ч. сельского	4,10	1,10	1,10	0,60	6,90
Территория, млн. га	5,9	25,2	12,6	1,3	45,0
Сельскохозяйственные угодья, млн. га	4,36	21,55	6,28	0,84	33,0
Площадь пригодная для орошения, млн. га	2,42	9,99	0,62	0,36	13,4
Орошаемая площадь, млн. га	1,55	0,57	0,35	0,19	2,66
в т. ч. насевы хлопчатника	0,91	0,11	0,07	0,07	1,16
Производство хлопка, млн. т	2,54	0,28	0,20	0,23	3,25
Поголовье овец, млн. голов	2,14	4,52	5,6	0,66	12,97

Водозабор на орошение в 1975 году по бассейну достиг $39,4 \text{ км}^3$, а безвоззратное водопотребление – $20,3 \text{ км}^3$, т. е. к этому времени водозаборы уже перекрыли общий поверхностный сток бассейна. Удельный водозабор по хлопководческой зоне выше Чардары составляет 15,2 тыс. м/га и по низовьям Сырдарьи – 28,2 тыс. м³/га. Водопотребление остальных участников водохозяйственного комплекса составило 7,9 км³, в том числе безвоззратное – 4,9 км³.

В бассейне Сырдарьи построены водохранилища полезной суммарной емкостью 27 км³, в том числе Токтогульское – 14 км³, Канракумское – 2,5 км³, Чардаринское – 4,7 км³, Айнеканское – 1,6 км³ и Шарыкское – 201 км³. Несмотря на то, что все водохранилища построены с гидроэлектростанциями, их работе была подчинена интересы прошлого земледелия. Вместе с тем, гидроэлектростанциям была предоставлена возможность осуществлять специальные энергетические попуски (сверх санитарных) для покрытия максимума ОЭС Средней Азии. В нынешних условиях водохранилищах эти попуски неоднократно инициировались из-за недостатка инфраструктуры.

В постановлении ГЭС Госплана СССР №2 от 7 февраля 1973 года, в соответствии с которой комплексного использования и охраны водных ре-

сурсов бассейна р. Сырдарьи (1970) была определена оросительная способность Сырдарьи в размере 3160 тыс. га, в том числе Узбекская ССР – 1770 тыс. га, Киргизская ССР – 400 тыс. га, Таджикская ССР – 220 тыс. га, Казахская ССР – 750 тыс. га. При этом предполагалось, что к 1985 году общий объем водозаборов достигнет 55,6 км³ с учетом возвратного стока в размере 13,7 км³. Затем, в корректирующей записке в схеме 1970 года оросительная способность Сырдарьи была пересмотрена и определена на уровне 3400 тыс. га. Такого уровня было назначено достичь к 1985-1990 годам.

Впоследствии, с учетом существующей техники и технологии полива, технического уровня ирригационных систем и уровня их эксплуатации, планов по вводу новых реконструкции и совершенствование существующих ирригационных систем и улучшению управления водными ресурсами бассейна, оросительная способность вновь была пересмотрена. Что нашло отражение в постановлении №11 ГЭК Госплана СССР от 5 мая 1982 года. Согласно этому постановлению, после исчерпания водных ресурсов Сырдарьи (примерно 1987-1988 гг.) и при уменьшении оросительных норм на 10% к 1990 году рекомендовано иметь в бассейне орошаемую площадь в размере 3520 тыс. га (табл. 3).

При этом, на период 1985-1990 гг., при движении впереди орошаемая площадь до 3400 тыс. га, предложен следующее распределение орошаемых территорий ("по засушливейшим районам и республикам бассейна" табл. 4).

Таблица 3
Прирост и распределение орошаемых земель (в тыс. га) по республикам

Республика	Орошаемые земли по уточненной схеме					
	1975 г (факт.)	1980 год		1985 год		1990 г при сниже- нии оросительной нормы на 10%
		всего	прирост к 1975 г	всего	прирост к 1980 г	
Узб. ССР	1157	1692	135	1827	139	1962
Каз. ССР	570	659	89	747	98	815
Кирг. ССР	350	381	31	412	31	413
Тадж. ССР	188	218	30	240	31	280
Итого	2665	2950	284	3235	285	3490

Таблица 4

Распределение водных ресурсов, км³

Водохозяйственный район	Узбек- ская ССР	Казах- ская ССР	Киргиз- ская ССР	Таджики- ская ССР	Итого
Верховья			1,07		1,07
Ферганы	12,04		0,29		0,29
	12,04		3,40	2,39	17,83
Среднее течение	8,79	1,37	2,99	2,21	17,24
ЧАКИР	6,49	1,18		0,84	8,71
	6,32	0,94	0,04		7,30
АРТУР	5,15	1,26	0,00		6,41
		2,31			2,31
Низовья			2,36		2,36
			10,94		10,94
			16,21		16,21
ИТОГО	22,15	15,56	4,41	3,69	50,91
	23,88	21,20	3,28	3,05	51,22

Примечание: В числителе – по уточненной схеме, составленной 1976–1978 гг., в знаменателе – по корректирующей записи в схеме 1970 г.

Как видно из таблицы, уточненная схема предусматривала для низовий всего 11 км³ воды с учетом возвратного стока. Такое распределение водных ресурсов не устраивала Казахскую ССР. Руководство Казахской ССР резко возразило против такого распределения вод бассейна Сырдарьи. Поэтому согласование межреспубликанского вододеления по Сырдарье проходила очень трудно и затянулась более чем на три года. В результате долгих обсуждений был согласован приток к Чардаринскому водохранилищу 12 км³ в среднем по водности году и 10 км³ – в маловодном году с обеспеченностью 90% без учета возвратных вод, что было и зафиксировано в Заключении экспертной подкомиссии ГЭК Госплана СССР от 12 апреля 1982 года и в Постановлении Государственной экспертной комиссии Госплана СССР.

Это вододеление было подтверждено также Председателем Госплана СССР Н. К. Байбаковым в его ответном письме за № 61-199 от 20 августа 1982 г. первому секретарю ЦК КП Киргизии Д. А. Кунасову и Председателю Совета Министров Казахской ССР Б. А. Адильханову на их запрос за № 13-

1071-337 от 9 июня 1982 года по линии водопотребления для низовой р.

Сырдарьи

Таким образом, объем воды в бассейне Кзылтасской части бассейна р. Сырдарьи (приток к Чардаре) и реки Арысь и других малых рек (все Чардары) без учета водохранилищ составляет $17,15 \text{ км}^3$, а с учетом водохранилищ вод, которые формируются также Чардары, - $18,06 \text{ км}^3$. Водохранилища, которые формируются выше Чардары, в эти объемы не входят.

бассейн р. Амузары. В 1950-1954 годах институтом "Средний промысловик" впервые была составлена "Общая схема использования водных ресурсов бассейна р. Амузары". Затем, в 1967-1971 годах "АЭК и промысловик" была составлена "Генеральная схема комплексного использования водных ресурсов р. Амузары". Ее первая редакция была рассмотрена и одобрена ГЭК Госплана СССР (Постановление №1, от 19.02.1969 г.), вторая редакция одобрена НТС Минводхима СССР (протокол №110, от 21.02.1972 г.). Эта схема до 1984 года была единственным руководящим документом определявшим общие водохозяйственные условия развития народного хозяйства в бассейне р. Амузары до уровня 1985 года. Этот документ регулировал распределение водных ресурсов между союзными республиками и определял возможные пределы развития орошаемого земледелия на собственном стоке при наличии водохранилищ сеченияного регулирования. Согласно схеме оросительная способность реки на уровне 1995 года определена равной 3,85 млн. та. при водозaborе 59 км³. В перспективе, на уровне исчерпания собственных водных ресурсов р. Амузары (в границах СССР), Генсхемы ориентировано установлена предельная орошаемость до 5,2 млн. та.

Кроме указанных схем, в 1973 году институтом "Средний промысловик" была составлена "Схема комплексного использования водных ресурсов бассейна Аральского моря", где заложены более оптимистичные параметры, связанные с возможностью строительства в бассейне р. Амузары. Эта схема не рассматривалась ГЭК Госплана ССР и не принята к исполнению.

Вместе с тем, за истекший после составления II рассмотрении Генсхемы р. Амузары период, в бассейне произошли серьезные изменения, связанные с интенсивным освоением новых орошаемых земель и строительством новых инженерных объектов. В этой связи, Минводхим СССР было выдано Техническое задание институту "Средний промысловик" на "Уточнение схемы комплексного использования водных ресурсов р. Амузары", которое завершено в 1984 г.

смотрено на заседании Научно-технического совета Минводхоза СССР 10 сентября 1987 года (протокол №556) и утверждено Министром мелиорации и водного хозяйства СССР Н.Ф. Васильевым. Несмотря на то, что и это уточнение не было рассмотрено ГЭК Госплана СССР, международное подделение, заложенное в этой работе, признается всеми государствами бассейна на постсоветском пространстве.

Существующий принцип водопользования между государствами в бассейне Амуудары. При уточнении схемы комплексного использования и охраны водных ресурсов реки Амуудары в качестве исходного уровня развития производительных сил в бассейне, определяющего существующее положение всех участников водохозяйственного комплекса, принят 1980 г. По данным статистического учета на 01.01.1981 г. площади орошаемых земель в бассейне р. Амуудары составили 3233,4 тыс. га, в том числе: в Узбекской ССР – 1838,8 тыс. га, в Таджикской ССР – 417,8 тыс. га, в Киргизской ССР – 16,9 тыс. га, в Туркменской ССР – 960,5 тыс. га.

Главными водными артериями в бассейне являются реки Амуударья, Вахш, Пяндж, Кафирниган, Суртандары, Шерабад и Кундуз, а также ряд бессточных водотоков, являющихся притоками Амуударье, это реки с возможным хозяйственным использованием ее вод в их бассейнах – Кашкадарья, Зерафшан, Мургаб, Таджен, Атрек и реки Северного Афганистана Хулым, Балкаб, Сарыпуль, Кайсар.

Основные водные ресурсы бассейна – учтенный поверхностный сток – определен по данным гидрометрических станций, расположенных вдоль выхода рек из гор и пешаженным хозяйственной деятельностью за 49-летний период фактических наблюдений (с 1932/3 – 1980/81 годы). Исключением была река Кундуз, формирующаяся и используемая на территории Афганистана, по которой отсутствовали данные русских балансов за прошедший период. Учтенный поверхностный сток всех водотоков р. Амуудары с горной области составляет 77,7 км³/год.

К неучтеным поверхностным притокам были отнесены дополнительные водные ресурсы, формирующиеся многочисленными ручейками сасового типа с исключительными расходами, в также подземный приток к ним, в зоне современного и перспективного орошения. Величина такого поверхностного притока составила 0,24 км³.

Таким образом, среднемноголетняя величина суммарных водных ресурсов бассейна р. Амуудары определена в размере 78,4 км³ (табл. 3).

Среднемноголетние водные ресурсы бассейна р. Амудары (км³)

Река - створ	Поверхностный приток		Подземный приток	Итого
	учтенный	неучтенный		
Пяндыш - ст. Нижний Пяндыш	33,4			33,4
Вахш - ст. Туткаул	20,1	0,05	0,07	20,2
Кундуз - ст. Аскарханя	3,47	0,01		3,48
Кифирнигзи	5,49	0,12	0,05	5,66
Сурхандарья	3,63	0,06	0,22	3,91
Шерабад - ст. Шерабад	0,23			0,23
Кашкадарья - ученый поверхностный приток	1,34		0,07	1,41
Заранган - мост Дупулы +				
Мангандарья - ст. Судаки	5,27		0,03	5,30
Реки северного Афганистана	2,01			2,01
Реки Туркменистана	2,79			2,79
Итого по бассейну	77,7	0,24	0,44	78,4

Исходя из наличия водных ресурсов и использования их в различных отраслях народного хозяйства сопредельных республик бассейна р. Амудары, схемой были предложены варианты развития пришения в данном бассейне. В качестве основного принят вариант, в котором предусмотрена темп развития орошаемого земледелия, наиболее полно обеспечивающий потребности населения в продуктах питания, и который позволит, в основном, отказаться от дальней продовольственной продукции из общесоюзного фонда (табл. 6).

В схеместии с предусмотренным темпом развития орошаемого земледелия с учетом сложившегося потребления, существующих орошаемых площадей и расчетного дельчного водопотребления, в схеме рекомендованы установки изъятий из борьбы республики из реки Амудары по уровню дальнего исчерпания возможных ресурсов в следующих размерах (см. табл. 7):

Учебник по русскому языку для бакалавриата

Year		1961		1962		1963		1964		1965		1966		1967		1968		1969		1970		1971	
Period	Year																						
1	1961	1	1961	1	1962	1	1963	1	1964	1	1965	1	1966	1	1967	1	1968	1	1969	1	1970	1	1971
2	1961	2	1961	2	1962	2	1963	2	1964	2	1965	2	1966	2	1967	2	1968	2	1969	2	1970	2	1971
3	1961	3	1961	3	1962	3	1963	3	1964	3	1965	3	1966	3	1967	3	1968	3	1969	3	1970	3	1971
4	1961	4	1961	4	1962	4	1963	4	1964	4	1965	4	1966	4	1967	4	1968	4	1969	4	1970	4	1971
5	1961	5	1961	5	1962	5	1963	5	1964	5	1965	5	1966	5	1967	5	1968	5	1969	5	1970	5	1971
6	1961	6	1961	6	1962	6	1963	6	1964	6	1965	6	1966	6	1967	6	1968	6	1969	6	1970	6	1971
7	1961	7	1961	7	1962	7	1963	7	1964	7	1965	7	1966	7	1967	7	1968	7	1969	7	1970	7	1971
8	1961	8	1961	8	1962	8	1963	8	1964	8	1965	8	1966	8	1967	8	1968	8	1969	8	1970	8	1971
9	1961	9	1961	9	1962	9	1963	9	1964	9	1965	9	1966	9	1967	9	1968	9	1969	9	1970	9	1971
10	1961	10	1961	10	1962	10	1963	10	1964	10	1965	10	1966	10	1967	10	1968	10	1969	10	1970	10	1971
11	1961	11	1961	11	1962	11	1963	11	1964	11	1965	11	1966	11	1967	11	1968	11	1969	11	1970	11	1971
12	1961	12	1961	12	1962	12	1963	12	1964	12	1965	12	1966	12	1967	12	1968	12	1969	12	1970	12	1971
13	1961	13	1961	13	1962	13	1963	13	1964	13	1965	13	1966	13	1967	13	1968	13	1969	13	1970	13	1971
14	1961	14	1961	14	1962	14	1963	14	1964	14	1965	14	1966	14	1967	14	1968	14	1969	14	1970	14	1971
15	1961	15	1961	15	1962	15	1963	15	1964	15	1965	15	1966	15	1967	15	1968	15	1969	15	1970	15	1971
16	1961	16	1961	16	1962	16	1963	16	1964	16	1965	16	1966	16	1967	16	1968	16	1969	16	1970	16	1971
17	1961	17	1961	17	1962	17	1963	17	1964	17	1965	17	1966	17	1967	17	1968	17	1969	17	1970	17	1971
18	1961	18	1961	18	1962	18	1963	18	1964	18	1965	18	1966	18	1967	18	1968	18	1969	18	1970	18	1971
19	1961	19	1961	19	1962	19	1963	19	1964	19	1965	19	1966	19	1967	19	1968	19	1969	19	1970	19	1971
20	1961	20	1961	20	1962	20	1963	20	1964	20	1965	20	1966	20	1967	20	1968	20	1969	20	1970	20	1971
21	1961	21	1961	21	1962	21	1963	21	1964	21	1965	21	1966	21	1967	21	1968	21	1969	21	1970	21	1971
22	1961	22	1961	22	1962	22	1963	22	1964	22	1965	22	1966	22	1967	22	1968	22	1969	22	1970	22	1971
23	1961	23	1961	23	1962	23	1963	23	1964	23	1965	23	1966	23	1967	23	1968	23	1969	23	1970	23	1971
24	1961	24	1961	24	1962	24	1963	24	1964	24	1965	24	1966	24	1967	24	1968	24	1969	24	1970	24	1971

Таблица 7

Водозаборы сокзных республик из р. Амудары по уровню полного исчерпания водных ресурсов

Республики	Объем водозабора	
	мм	%
Узбекская ССР	29,6	48,2
Таджикская ССР	9,5	15,4
Киргизская ССР	0,4	0,6
Туркменская ССР	32,0	55,8
Итого:	61,5	100
в том числе ниже ГП Керки:		
Узбекская ССР	22,0	50
Туркменская ССР	22,0	50

Развитие орошаемого земледелия в бассейне Аральского моря и современное состояние использования водно-территориальных ресурсов

Фактические темпы развития орошаемого земледелия и использование водных ресурсов бассейна значительно отличались от заданных в стеках плановых показателей. В бассейне р. Сырдарьи 1976-1980 годы освоены орошаемых земель свыше 280 тыс. га, 1981-1985 и 1986-1990 годы – свыше 180 тыс. га в каждую пятилетку, хотя эти показатели были существенно ниже предусмотренных в смете. В бассейне р. Амудары ввод новых орошаемых земель в хронологическом порядке по пятилеткам, начиная с 1975 года, характеризовался следующими показателями – 529 тыс. га, 560 тыс. га, 306 тыс. га, 470 тыс. га и 155 тыс. га. Причем прирост орошаемых земель за последние две пятилетки в основном произошел только за счет Туркменистана, а в других республиках темпы развития орошаемых земель в этот период были незначительными, а в отдельных – приостановлены (табл. 8). Более того, в 1995-2000 годы, из-за расформирования колхозов и совхозов, отсутствия сил и средств у образованных фермерских хозяйств в Казахстане и Киргизии значительные площади ирригационно-подготовленных земель не засевались. Наконец, уменьшение орошаемых площадей по различным причинам за годы произошли и в Таджикистане, и в Узбекистане.

Развитие орошаемых земель в бассейне Аральского моря (в тыс. га)

Республика	Тот									
	1975		1980		1985		1990		1995	
	схема	факт								
бассейн р. Сырдарьи										
Казахстан	570	659	747	718	835	782	-	786	-	786
Киргизия	350	381	412	388	413	394	-	400	-	400
Таджикистан	188	218	249	218	280	261	-	264	-	264
Узбекистан	1557	1692	1827	1808	1962	1881	-	1884	-	1860
ИТОГО	2665	2950	3235	3132	3520	3122	-	3339	-	3124
Бассейн р. Амударьи										
Киргизия	16	16	30	21	50	16	65	16	-	15
Таджикистан	365	418	455	445	508	446	576	451	-	449
Туркменистан	855	960	1070	1158	1210	1314	1350	1237	-	1360
Узбекистан	1468	1839	2179	2169	2510	2303	2946	2365	-	2390
ИТОГО	2704	3233	3741	3793	4307	4099	4931	4569	-	4714
ВСЕГО	5369	6182	6978	6925	7827	7421	-	7908	-	8038

В бассейне в соответствии с ростом площадей орошения, увеличивались и использование водных ресурсов. Как видно в табл. 9, максимальное водопотребление в бассейне Аральского моря приходится на 80-е годы. Так например, уже в 1980 году суммарное водопотребление всех отраслей народного хозяйства составило 120690 млн. м³, что превысило суммарный живой сток бассейнов рек Амударьи и Сырдарьи.

Известно, что 1981-1987 годы темпы предыдущей пятилетки по вводу новых орошаемых земель не снижались, следовательно рос и уровень водопотребления в орошаемом земледелии. Водопотребление достигло своего максимального значения в середине 80-х годов. Так, в 1985 году суммарное водопотребление составило 126,924 км³, в том числе на орошение 115,860 км³ (табл. 9). Поскольку рост национаселения в данном регионе был самым высоким в Советском Союзе, пропорционально вводились новые мощности в промышленности и в других отраслях народного хозяйства, росло также водопотребление и в ирригационном секторе.

HK: Shallow-water alienation - total area + greatest area alienated with same land

Ecosystem	Ecosystem area		Alienation area		Alienation area		Alienation area		Alienation area		Alienation area	
	km ²	%	km ²	%	km ²	%	km ²	%	km ²	%	km ²	%
Coastal wetlands	113.00	1.15%	11.00	4.12%	3.00	2.63%	2.00	1.77%	0.50	0.44%	0.50	0.44%
Tidal flats	113.00	1.15%	1.00	0.87%	0.10	0.09%	0.10	0.09%	0.00	0.00%	0.00	0.00%
Intertidal mudflats	113.00	1.15%	1.00	0.87%	0.10	0.09%	0.10	0.09%	0.00	0.00%	0.00	0.00%
Intertidal sandflats	113.00	1.15%	1.00	0.87%	0.10	0.09%	0.10	0.09%	0.00	0.00%	0.00	0.00%
Intertidal saltmarshes	113.00	1.15%	1.00	0.87%	0.10	0.09%	0.10	0.09%	0.00	0.00%	0.00	0.00%
Intertidal seagrass beds	113.00	1.15%	1.00	0.87%	0.10	0.09%	0.10	0.09%	0.00	0.00%	0.00	0.00%
Intertidal mudflats + sandflats + saltmarshes + seagrass beds	113.00	1.15%	4.00	3.48%	0.50	0.44%	0.50	0.44%	0.00	0.00%	0.00	0.00%
Intertidal mudflats + sandflats + saltmarshes + seagrass beds + tidal flats	113.00	1.15%	5.00	4.38%	0.50	0.44%	0.50	0.44%	0.00	0.00%	0.00	0.00%
Intertidal mudflats + sandflats + saltmarshes + seagrass beds + tidal flats + intertidal mudflats	113.00	1.15%	6.00	5.26%	0.50	0.44%	0.50	0.44%	0.00	0.00%	0.00	0.00%
Intertidal mudflats + sandflats + saltmarshes + seagrass beds + tidal flats + intertidal sandflats	113.00	1.15%	7.00	6.02%	0.50	0.44%	0.50	0.44%	0.00	0.00%	0.00	0.00%
Intertidal mudflats + sandflats + saltmarshes + seagrass beds + tidal flats + intertidal saltmarshes	113.00	1.15%	8.00	6.88%	0.50	0.44%	0.50	0.44%	0.00	0.00%	0.00	0.00%
Intertidal mudflats + sandflats + saltmarshes + seagrass beds + tidal flats + intertidal seagrass beds	113.00	1.15%	9.00	7.74%	0.50	0.44%	0.50	0.44%	0.00	0.00%	0.00	0.00%
Intertidal mudflats + sandflats + saltmarshes + seagrass beds + tidal flats + intertidal mudflats + intertidal sandflats	113.00	1.15%	10.00	8.60%	0.50	0.44%	0.50	0.44%	0.00	0.00%	0.00	0.00%
Intertidal mudflats + sandflats + saltmarshes + seagrass beds + tidal flats + intertidal mudflats + intertidal saltmarshes	113.00	1.15%	11.00	9.46%	0.50	0.44%	0.50	0.44%	0.00	0.00%	0.00	0.00%
Intertidal mudflats + sandflats + saltmarshes + seagrass beds + tidal flats + intertidal mudflats + intertidal seagrass beds	113.00	1.15%	12.00	10.32%	0.50	0.44%	0.50	0.44%	0.00	0.00%	0.00	0.00%
Intertidal mudflats + sandflats + saltmarshes + seagrass beds + tidal flats + intertidal mudflats + intertidal mudflats + intertidal sandflats	113.00	1.15%	13.00	11.18%	0.50	0.44%	0.50	0.44%	0.00	0.00%	0.00	0.00%
Intertidal mudflats + sandflats + saltmarshes + seagrass beds + tidal flats + intertidal mudflats + intertidal saltmarshes + intertidal mudflats	113.00	1.15%	14.00	12.04%	0.50	0.44%	0.50	0.44%	0.00	0.00%	0.00	0.00%
Intertidal mudflats + sandflats + saltmarshes + seagrass beds + tidal flats + intertidal mudflats + intertidal seagrass beds + intertidal mudflats	113.00	1.15%	15.00	12.90%	0.50	0.44%	0.50	0.44%	0.00	0.00%	0.00	0.00%
Intertidal mudflats + sandflats + saltmarshes + seagrass beds + tidal flats + intertidal mudflats + intertidal mudflats + intertidal sandflats	113.00	1.15%	16.00	13.76%	0.50	0.44%	0.50	0.44%	0.00	0.00%	0.00	0.00%
Intertidal mudflats + sandflats + saltmarshes + seagrass beds + tidal flats + intertidal mudflats + intertidal saltmarshes + intertidal mudflats + intertidal sandflats	113.00	1.15%	17.00	14.62%	0.50	0.44%	0.50	0.44%	0.00	0.00%	0.00	0.00%
Intertidal mudflats + sandflats + saltmarshes + seagrass beds + tidal flats + intertidal mudflats + intertidal seagrass beds + intertidal mudflats + intertidal sandflats	113.00	1.15%	18.00	15.48%	0.50	0.44%	0.50	0.44%	0.00	0.00%	0.00	0.00%
Intertidal mudflats + sandflats + saltmarshes + seagrass beds + tidal flats + intertidal mudflats + intertidal mudflats + intertidal saltmarshes + intertidal sandflats	113.00	1.15%	19.00	16.34%	0.50	0.44%	0.50	0.44%	0.00	0.00%	0.00	0.00%
Intertidal mudflats + sandflats + saltmarshes + seagrass beds + tidal flats + intertidal mudflats + intertidal seagrass beds + intertidal mudflats + intertidal saltmarshes + intertidal sandflats	113.00	1.15%	20.00	17.20%	0.50	0.44%	0.50	0.44%	0.00	0.00%	0.00	0.00%
Total	113.00	1.15%	20.00	17.20%	0.50	0.44%	0.50	0.44%	0.00	0.00%	0.00	0.00%

~~Снижение водопотребления в 90-е годы прошло из-за распада СССР, потерян хозяйственных связей между республиками и транзитной функции Киргизии на рынке водных ресурсов в бассейн Аму-Дарьи.~~

Дефицит водных ресурсов, который начал проявляться уже во второй половине 70-х годов, обусловил вмешательство центральных водных ресурсов между республиками в процесс распределения водных в бассейне Сырдарьи. Ежегодно, во время вегетационного периода, сотни специалистов из центра и ~~Киргизии~~ были инспектировать водозаборы бора воды и обеспечить орошаемые земли ~~нижнего~~ течения необходимым количеством воды.

В эти условия, во второй ~~половине~~ 80-х годов, стала очевидной необходимость управления водными ресурсами рек Амударья и Сырдарьи на региональном уровне. В этой связи, в начале окончания независимого от местного вмешательства ~~перехода~~ водных ресурсов и начало соблюдения межреспубликанского вододеления, в 1986 году было принято решение о введении новой схемы управления и в 1987 году созданы Бассейновые водохозяйственные объединения (БВО) по рекам Амударья и Сырдарьи. Этими БВО были переданы в управление все головные водозаборные сооружения на назанных реках и их основных притоках с расходом выше 10 м³/с. БВО управляли водными ресурсами рек на основании правил и графиков, согласованных между республиками и утвержденных Минводхозом СССР. Таким образом уже в Советское время были созданы основные предпосылки существующего ныне механизма межгосударственного управления водными ресурсами бассейна Аравийского моря.

Л то же время, постепенное ухудшение экономической ситуации к концу 1980-х годов падение Советского Союза в 1991 году и связанного с ним разрушение хозяйственно-экономических связей вынуждало Кыргызстан все чаще прибегать к увеличению потребления электротермии в условиях отсутствия собственных топливных ресурсов. Поскольку основные электрогенерирующие мощности Кыргызстана основаны на использовании водной энергии и эти гидроэлектростанции построены на р. Нарын Сырдарьинского бассейна, Кыргызстан, естественно, начал использовать водные ресурсы, накопленные в Токтогульском ~~бассейне~~, тем самым изменив режим его работы с ирригационного на энергетический.

Первые изменения режима Токтогульского водохранилища сопровождались сокращением поставок угля в Кыргызстан, ограниченным увеличением поставок узбекистанского газа, произошедшими в 1988 году. Быстро увеличил зимнюю выработку электрической энергии Токтогульской ГЭС для внутреннего потребления из-за отсутствия запасов угля, увеличивая выпуски из водохранилища (до 3,9 км³ в 1988/89 воднозаводственного года). В межсугестацию 1990/91 и 1991/92 годов увеличенные выпуски повторились, и соответственно Токтогульского водохранилища были выпущены 4,9 и 5,1 км³ воды. Эти изменения имели место и в последующие годы, но они неизначительно отразились на запасах воды в Токтогульском водохранилище, так как пришлись на период между двумя пиками лет большой водности – 1987/88 и 1991/94 годов.

Межгосударственные соглашения в сфере совместного использования подземно-энергетических ресурсов бассейна Аральского моря

С распадом Союза ССР тенденции конца 80-х годов проявились в разы отчетливее. Разрушение хозяйственно-экономических и межгосударственных связей между бывшими союзными республиками привело к падению местного производства, снижению добычи и извлечения топливных ресурсов, в том числе добычи угля в самом Киргызстане. Сокращение топливных ресурсов резко уменьшило выработку электрической энергии на тепловых электростанциях Киргызстана и вынудило республику больше опираться на гидроэлектростанции Нарынского каскада, особенно в зимнее время, что в корне изменил ситуацию с водообеспеченностью потребителей в бассейне р. Сырдарьи. Теперь максимум выработки электроэнергии на Токтогульской ГЭС приходится на зимний период. В этот период выпускается из водохранилища $6.0 - 8.5 \text{ км}^3$ воды, а для накопления воды в водохранилище нетерпимые потери сокращены до $4.5 - 6.5 \text{ км}^3$.

В этих условиях, в целях сохранения стабильности в межгосударственных водных отношениях, бесконфликтного и спланированного управления водными ресурсами бассейна Аральского моря, руководители воднокомплексных отраслей вышеуказанных государств, в октябре 1991 года в Ташкенте договорились о выработке регионального механизма управления водными ресурсами в виде централизованной системы координации и контроля в весенний период Загем, 18 февраля 1992 года¹. Але они подпись первыи межгосударственный документ в областных отношениях – Глашение между Республикой Казахстан.

кой Кыргызстан, Республикой Таджикистан, Туркменистаном и Республикой Узбекистан в сотрудничестве в сфере совместного управления ис-
пользованием и охраной водных ресурсов межгосударственных источни-
ков». Этим соглашением стороны ~~решено создать~~ принял решение создать Межгосудар-
ственную координационную водоконтрольную комиссию (МКВК) с не-
законченными дополнительными органами БАО «Амударья» и БАО «Сырдарья». Стороны
в преамбуле отметили, что уважают сложившуюся структуру и принятые
распределения, действующие нормативные документы по распределению
водных ресурсов межгосударственных водных источников. Это соглаше-
ние было одобрено в этом же году в течение ~~3-4~~ ~~месяцев~~ со дня подписания
всеми Правительствами сторон.

Впоследствии, 26 марта 1993 года Главы государств на своей встрече в г. Кзыл-Орде еще раз акцентировали внимание на межгосудар-
~~ственном~~ ~~одно~~ное отношение и одобрили данное Соглашение. ~~Запись~~ же ими
подписано Соглашение о совместных действиях по решению проблемы
Аральского моря и Приаралья, экологическому оздоровлению и обеспече-
нию социально-экономического развития Аральского региона, закрепив
тем самым видение общих задач региона и определив структуру межгосу-
дарственных органов, уполномоченных осуществлять поставленные дин-
ним соглашением задачи.

1 января 1994 года в г. Нукусе было принято решение Глав государств Центральной Азии об утверждении Программы конкретных действий по улучшению экологической обстановки в бассейне Аральского моря на ближайшие 3-5 лет с учетом социально-экономического развития ре-
гиона, а также об одобрении основных положений Концепции по решению
проблем Арала, Приаралья и бассейна Аральского моря с учетом социаль-
но-экономического развития региона.

В рамках Международной конференции ООН по устойчивому раз-
витию государства бассейна Аральского моря, проходившей 20 сентября
1995 года в г. Нукусе Главами государств ЦА была подписана «Нукусская
Декларация государств Центральной Азии и международных организаций
по проблемам устойчивого развития бассейна Аральского моря». В ней Главы
Центральноазиатских государств подтвердили, что признают ранее подпи-
саные и действующие соглашения, договора и другие нормативные акты,
регулирующие взаимоотношения между ними по водным ресурсам в бас-
сейне Арала и принимают их к неуклонному исполнению. Декларация та-
кже содержит обращение к международному сообществу, в правительствах

активисты и народы этого мира с призывом помочь в совместных усилиях в решении проблем устойчивого развития и оздоровления своей интуиции и речи.

Таким образом, политической воле и дальнейшему сотрудничеству руководителей в Центральной Азии была заложена основа для конструктивного и бесконфликтного решения проблем совместного использования согласованного в Центре управления водных ресурсов бассейна Аральского моря.

Время показало, что экономическая ситуация всегда может быть нестабильной и экономические соглашения и нормативные акты, государствам региона не всегда позволяют решить межгосударственные водные отношения по бассейнам стратегического и оперативного характера на двухсторонней и многосторонней основе.

Так например, в период с 1991 по 1995 год между Туркменистаном и Республикой Узбекистан было достигнуто соглашение о сохранении основных принципов вододеления, определенные Протоколом НТС Минводхоза СССР №599 от 10 сентября 1987 года. Управление водными ресурсами р. Амударья на их основе прошли испытание временем и удовлетворили обе стороны. В результате 15 января 1996 года было подписано бессрочное Соглашение между Туркменистаном и Республикой Узбекистан о сотрудничестве по водохозяйственным вопросам. Соглашение закрепило взаимное признание сторонами прав собственности на водоподавственные объекты, находящиеся на территории друг друга, но действующие в интересах обоих или одного из государств.

В бассейне р. Сырдарьи государства-водопотребители с 1995 года начали заключать между собой межгосударственные протоколы и соглашения, в которых устанавливались величины компенсационных поставок теплоэнергии, объемы и размеры временностных полускаев из Токтогульского водохранилища покрытия орошаемого земледелия среднего и нижнего течения. По эти договоренности Узбекистан и Казахстан принимают летом электроэнергию из Киргизии на выработанную в зимний соглашенных режимов Поязсков воды из Токтогульского водохранилища, и осуществляют перетоки электроэнергии в Киргизию. Взаимоуважают стабильно. Поставками газа и угля. До 1998 года размеры зимних полускаев в соглашениями не оговаривались.

Такие соглашения, или иной характер, не позволили решить комплексную проблему, же годы выдались в целом многоводными.

ми и остроты проблемы ~~каждый раз~~ между ними, ино приводил одновременно усугубляла обстановку ~~представляемого~~ периода. Повышенная водности этих годов способствовала быструму ~~затоплению~~ пойменных реки Ниже Кыл-Орды и ледоставе ~~приближавшимся~~ к образу бывших объемов ветами, связанными с затоплением ~~погружением~~ береговой терригорий. Несмотря на то, что значительные объемы воды отводились в Арнасайское понижение, приходилось также ~~обратить~~ ~~внимание~~ на русло реки непривычно большие расходы для зимнего ~~внешнего~~ периода. При этом, ~~хотя~~ чтобы предотвратить выход воды на поверхность льда и разрушения ~~зимний лед~~, особенно на участке Кыл-Орды - Терсазек, большие расходы воды отводились вбросительные системы, расположенные выше Кыл-Орды. В результате на этих системах уже многие годы не проводятся ремонтно-восстановительные работы. Кроме того, повышенные зимние расходы способствовали подтоплению значительных прибрежных территорий, и как следствие, затрудняли своевременное проведение весенне-полевых работ. В этих условиях назревала необходимость в качестве нового соглашения в развитие ранее подписанных соглашений, но уже с механизмом реализации на основе взаимосогласованных принципов.

В результате интенсивной работы экспертов стран бассейна, при содействии ЮСАИД и Центральноазиатского экономического сообщества (ЦАЭС), в 1997 году проект такого соглашения, где были заложены основные принципы компенсационных взаимопоставок топлив и энергии между государствами бассейна, был выработан. Проект этого соглашения об использовании водно-энергетических ресурсов бассейна реки Сырдарья с незначительными поправками был подписан 17 марта 1998 года первыми руководителями правительств Казахстана, Киргизии и Узбекистана. Позднее к нему присоединился и Таджикистан.

В январе 2000 года между Правительством Республики Узбекистан и Правительством Республики Таджикистан было подписано двухстороннее соглашение о сотрудничестве в области рационального использования водно-энергетических ресурсов. Оно создало условия для заключения фиксированных попусков из него и взаимных перетоков ~~зимних~~ в гидросистемы сторон. Государства ЦАЭС подписали соглашение о сотрудничестве в об-

дости гидрометеорологии, в также региональное соглашение о параллельной работе энергетических систем государств Центральной Азии

Все эти соглашения, как и выше, направлены на решение актуальных проблем водных ресурсов в бассейне Аральского моря. Третье из них – соглашение о водных ресурсах в бассейне Аральского моря – направлено на решение проблем времени их использования и сохранение существующий принципы, заложенные в него, не претворяющие, вместе с тем, основные принципы, заложенные в него, не претворяющие международному водному праву и мирной практике. Помимо этого, надо признать, что государства региона не в полном объеме выполняют взятые на себя обязательства по всем этим соглашениям, о которых будет сказано ниже. Но, несмотря на трудности переходного периода к рыночным отношениям, на разные уровни социально-экономического развития, связанные с выбранными моделями экономического становления, они делают все возможное для решения проблем межгосударственных водных отношений за счет переговоров и выполнения своих обязательств по межгосударственным соглашениям.

Выполнение межгосударственных соглашений в области водных отношений

10-летний опыт совместной работы Центральноазиатских стран по решению проблем межгосударственных водных отношений в бассейне Аральского моря показали, что они выбрали единственно правильный путь сотрудничества через переговорные процессы и соглашения в области использования водных и энергетических ресурсов региона. В этом плане Соглашение от 18 февраля 1992 года явилось фундаментом будущей работы в гидротехнической сфере межгосударственных отношений, где были установлены принципы совместного управления водными ресурсами межгосударственных водных источников, учреждены межгосударственные комиссии и определены ее исполнительные органы.

Вместе с тем, это соглашение не предусматривало механизмы реализации с учетом интересов каждой из сторон. Поэтому волнистая потребность в соглашениях другого уровня, которые бы базировались на предыдущем соглашении от 18 февраля 1992 года и определяли принципы взаимоиспользования производимых друг другом водных и энергетических ресурсов, поскольку, особенно в бассейне р. Сырдарьи, использование водных ресурсов и производство электрической энергии на гидроэлектростанциях значительно обусловлено единой национальной гидроэнергетический комплекс.

Соглашение от 17 марта 1996 года по использованию водных и энергетических ресурсов бассейна р. Сырдарьи явилось первым шагом в

этом направлении. Оно базировалось на предыдущем опыте трехсторонней и двухсторонней работы между волохон-бассейном р. Сырдарьи и ежегодных межправительственных соглашениях на базе этих протоколов. Данное соглашение определило основные принципы осуществления взаимопоставок водных и энергетических ресурсов между странами бассейна.

Естественно, как было отмечено выше, выполнение обязательств по взаимопоставкам оставляет желать лучшего. Но, хотя некоторые предусматриваются нормы и более жесткие взаимоотношения, выполнение их сильно зависит от деятельности людей, в первую очередь субъективных факторов. Так в год подписания соглашения в 1998 году, несмотря многоводности года Казахстан поставил всего 150,4 тыс. т угля вместо 566,7 тыс. т и принял 150 млн. кВт ч электроэнергии вместо 250 млн. кВт ч по обязательству. Узбекистан принял в этот год также всего 74,9 млн. кВт ч вместо 200 млн. кВт ч. В 1999 году Казахстан перевыполнил обязательство по углю, но Узбекистан недопоставил газа на 169 млн. м³. В маловодный 2000 год Узбекистан перевыполнил свои обязательства по газу, но Казахстан недопоставил угля 31,4 тыс. т и т. д. То есть, пока нет стабильности в выполнении обязательств между государствами бассейна.

Основными причинами неустойчивого выполнения обязательств государствами бассейна р. Сырдарьи являются:

- частная собственность на топливно-энергетические объекты в одних и государственная собственность в других странах;
- несогласованность и непрозрачность тарифной политики между государствами региона при взаимопоставке и транспортировке электроэнергии и энергопосылок;
- разные темпы и модели социально-экономического развития стран бассейна и соответственно позиции узловых переходов и географии отложений, особенно в сельскохозяйственном и энергетическом секторах;
- неопределенность правового статуса межгосударственных органов по управлению водными и энергетическими ресурсами;
- отсутствие четкого разграничения функций и обязанностей между межгосударственными водоузластственными исполнительными органами, национальными водоузластственными органами и местной администрацией в сфере совместного управления транспортными водными объектами;

10

PROBLEMS AND SOLUTIONS [CONTINUED]

Однородные табл. 10

Следующим шагом должно стать заключение многосторонних соглашений и в более ранний срок о соглашении от 18 февраля 1992 года* о совместном использованию водно-энергетических ресурсов бассейна Аральского моря, по механизму реализаций взаимоиспользования водно-энергетических ресурсов и энергоносителей (здесь необходимо либо продлить соглашение от 17 марта 1998 года с внесением соответствующих изменений, направленных на совершенствование механизма

Следующим шагом должно стать заключение многосторонних соглашений и в более ранний срок о соглашении от 18 февраля 1992 года*

* Важную роль в дальнейшем развитии бассейна Аральского моря сыграет создание интегрированной системы управления водными и энергетическими ресурсами бассейна. Для этого необходимо учесть интересы всех участников бассейна, включая Казахстан, Киргизию, Узбекистан, Таджикистан, Афганистан и Туркменистан. Для этого необходимо учесть интересы всех участников бассейна, включая Казахстан, Киргизию, Узбекистан, Таджикистан, Афганистан и Туркменистан.

реализации, либо принимать ~~все~~, более совершенное, с учетом национального опыта);

- по правовому статусу и ~~руководству~~ работе межгосударственных организаций, использующих водные и энергетические ресурсы, исполнительных органов и их руководящих работников и сотрудников;
- по правовому статусу водоканалов и гидроэнергетических объектов межгосударственного значения, в т.ч. Аравийского моря и Приаралья;
- по разрешению на наблюдения за гидрологическими и гидродинамическими показателями трансграничных водотоков и их притоков, гидроводоемов, объемах стока и трансграничных стоков государств;
- по информационному обеспечению водных и гидрологических и качественных состояний трансграничных водотоков, а также о режиме работы и состоянии водозаборных и гидроэнергетических объектов;
- по финансированию межгосударственных организаций, совместных работ по ремонту и содержанию межгосударственных водоканалов и гидроэнергетических объектов, межгосударственных инженерных, проектных и научно-исследовательских работ, а также работ по охране окружающей среды и т.д.

СПИСОК ЛИТЕРАТУРЫ

1. Постановление №11 от 5 мая 1982 года Государственной экспертной комиссии (ГЭК) Госплана СССР «Об экспертизе уточненной схемы комплексного использования и охраны водных ресурсов бассейна р. Сырдарьи».
2. Заключение экспертной подкомиссии ГЭК Госплана СССР по уточненной схеме комплексного использования и охраны водных ресурсов бассейна р. Сырдарьи от 12 апреля 1982 года.
3. Бурлыбаев М.Ж., Достаев Ж.Д., Турсунов А.А. Араво-Сырдарьинский бассейн. Гидрологические проблемы и вопросы управления. - Алматы. Друири. 2001. - 180 с.
4. Уточнение схемы комплексного использования и охраны водных ресурсов бассейна реки Сырдарьи. Сводная записка. Том I. Средние промежуточки. Ташкент. 1979.

5. Уточнение схемы комплексного использования и охраны водных ресурсов бассейна реки Сырдарья. Кирректирующая записка. Средаэти. Гидроподхлопок. Ташкент, 1983.
 6. Уточнение схемы комплексного использования и охраны водных ресурсов реки Амударья. Сводная записка. Средаэти. Гидроподхлопок. Ташкент, 1984.
 7. Схема комплексного использования водных ресурсов бассейна Аральского моря. Средаэти. Гидроподхлопок. Ташкент, 1973.
 8. Схема водохозяйственных мероприятий в бассейне р. Сырдарьи до 2000 года (на период полного исчерпания собственных водных ресурсов). Сводная записка. Средаэти. Гидроподхлопок. Ташкент, 1987.
 9. Кипшакбаев Н.К., Саклов А.И. Водные ресурсы бассейна Аральского моря – формирование, распределение, водопользование. Сборник докладов на пленарном заседании «Атыкент – ЭКСПО». Алматы 2002.

Глоссарий. Подделение и соглашение

Казахский научно-исследовательский институт мониторинга окружающей среды и климата
Казахский национальный университет им. аль-Фараби

АРАЛ ТЕЦІЛ АЛАБЫШЫ СУ РЕСУРСТАРЫН ЖЕР СУАРУ ҮШИҢ ПАЙДАЛАПУДЫҢ КЕШЕГІСІ МЕҢ БУТЫН

Техн. гылымд. канд А. К. Кеншімов
Геогр. гылымд. канд М Ж. Бурлбаев
Геогр. гылымда докторы Ж.Д. Дастай

Макемада Арас ишнің атабындары су ресурстарын пайдаланудың кешегін мен құлпы қарастырылған. Айнақтының чөмдекеттердің шауяласіздік шарттарынан кейінде су баласу барысында жиындар арекеттеп. Су-жерделішкілдік ресурстарды бірлесе пайдалану жөніндегі мемлекетаралық келісімдер шарттар және озардың орындары таңдиналады.

ПРОБЛЕМА ТРАНСГРАНИЧНЫХ РЕК В КАЗАХСТАНСКО-КИТАЙСКИХ ОТНОШЕНИЯХ

А. Е. Мадина

Рассмотрены вопросы стоящие перед трансграничными реками Каспийского бассейна в связи с нестабильностью политической обстановки в Китае и Казахстане и международных отношений Казахстана с Китаем.

Проблема рационального использования водных ресурсов трансграничных рек и водоемов стремительно обостряется во всем мире и зачастую становится причиной напряженности между государствами. Сегодня можно без преувеличения сказать, что вода уже становится серьезным инструментом в международных отношениях с соседними государствами, одним из аргументов экономической безопасности.

По оценкам специалистов уже в ближайшие годы при росте экономического потенциала Казахстана, основанного на освоении богатых минерально-сырьевых, топливно-энергетических и геологических ресурсов, возникнет серьезная проблема с водообеспечением. В этой ситуации для страны очень важным становится вопрос использования вод трансграничных рек, их деление с сопредельными государствами на принципах международного права и взаимного сотрудничества.

Ресурсы подземных вод Казахстана в средний по водности год оцениваются в 102 км^3 , из которых 57 км^3 формируются на территории Казахстана и 45 км^3 поступают извне, т. е. из сопредельных государств. Из этого объема доступными можно считать лишь 46 км^3 , а остальные не могут быть использованы из-за обязательных экологических и санитарных пропусков в нижних реках, потерю за счет испарения и фильтрации [5].

Казахстан объединен с Китаем водными ресурсами двух крупных рек Иртыш и Или, которые берут начало в Китае, и в среднем и нижнем течении протекают по территории Казахстана. Из существующих в Казахстане шести гидрологических районов два — Балхаш-Алакольский и Иртышский — связаны с Китаем теснейшим образом.

Река Или берет начало в восточном Тянь-Шане на территории КНР от двух истоков Текес и Кунгес. По бассейну реки Или объем отдачи

ды уже давно превысили допустимый предел, в результате чего уровень и качество воды в озере Балхаш начались процессы разрушения и высыхания. Беспокойство вызывает появление новых засоров реки Или и самого озера Балхаш. Постепенное увеличение Китаем на свои нужды забора воды из Или и Иртыша, а также загрязнение стоков, что может привести к ухудшению водной и экологической обстановки в бассейне озера Балхаш, уменьшение выработки электроэнергии на Капшагайской ГЭС [5].

Бассейн реки Иртыш включает территории Китая, Казахстана и России. По идее, каждое из этих государств имеет право использовать реку, но, эксплуатацию не ущемляя интересов соседа. В мировой практике использованием вод трансграничных рек регулируется Международной Конвенцией Озако. Китай и Казахстан не присоединились, подменяя вступление в силу редкое право яить общими обещаниями учитывать интересы соседей.

Река Иртыш наиболее многоводная из всех рек Казахстана, здесь водного баланса очень напряженный. Кроме того она подвержена сильному промышленному загрязнению. Исследования, проведенные в 1997 году Институтом географии совместно с институтами «Казгипроводхоз» и «Казмеханобри» выявили острую гидроэкологическую ситуацию в бассейне Иртыша в пределах Казахстана и весьма неопределенную перспективу ее развития в ближайшем будущем. Концентрация меди, шинка и нефтепродуктов в поверхностных водах на реках Казахстана превышает предельно допустимую. Справедливый вклад в формирование неблагоприятной экологической ситуации в бассейне Иртыша и реки Акмолинской Черной Иртыши концентрация нефтепродуктов в 3 раза, а чисты 3-4 раза выше предельно допустимой. Это также должно стать причиной дальнейшего распространения на казахстанские территории парижитов. Более серьезные последствия для экологии и развития социально-экономической ситуации вероятны в Или-Балхашском бассейне в случае вывоза сточных отходов воды из Или на территорию КНР. Уже в течение многих лет водно-экологическая ситуация в Или-Балхашском бассейне оценивается как крайне напряженная [3].

Поэтому представляется очень важным урегулировать водные отношения с Китаем, с тем чтобы сохранить необходимый водный баланс этих рек. При рассмотрении путей решения водных проблем бассейна реки Иртыш я вижу несколько вариантов использования водных ресурсов реки, необходимо иметь в виду важность заключения долгосрочного соглашения.

Между Казахстаном и КНР идет переговорный процесс по совместному и рациональному использованию и охране трансграничных водных ресурсов. Первая встреча экспертов состоялась в Пекине в мае 1999 года. Стороны отметили, что главными принципами совместной работы должны быть взаимный учет интересов, ненанесение ущерба друг другу и окружающей среде, справедливое и рациональное использование водных ресурсов трансграничных рек на основе изучения сплошного течения трансграничных рек, мирный признак. Сторонам на первом уровне трансграничных рек должно вестись на основе общеприятых норм международного права. Подтверждив факт строительства в Синьцзян Уйгурском автономном районе Китая водоводиала Иртыш-Карасай, Пекин заверил, что при его сооружении в полной мере учитывались интересы Казахстана [4].

22-26 ноября 1999 года в Алматы состоялся второй раунд казахстанско-китайских консультаций по вопросам рационального использования водных ресурсов трансграничных рек. Стороны с удовлетворением констатировали конструктивизм разничающегося диалога по данной проблеме. Переговоры, прошедшие в духе традиционной дружбы и взаимопонимания, позволили изложить предложения сторон по обсуждаемой проблеме, провести обстоятельный обмен мнениями на экспертном уровне. Китайская сторона в принципиальном плане подтвердила готовность подписать Соглашение между Правительствами РК и КНР о сотрудничестве в сфере совместного использования и охраны трансграничных рек. При этом китайская делегация сообщила о своем намерении изучить международный, в том числе казахстанский, опыт заключения подобных договоров, поскольку КНР не имеет precedента подписания аналогичных документов ни с одним приграничным государством. В результате китайские стороны договорились регулярно обмениваться информацией о водных объектах трансграничных рек Или, Иртыш и другие в Аксайских водотоках о состоянии водных ресурсов указанных водотоков. Кроме того, специалисты соответствующих ведомств двух стран высказались в пользу создания соответствующих ведомств двух стран в пользу регулярного мониторинга в бассейнах трансграничных рек. Достигнуто также согласие о создании совместной казахстанско-китайской группы экспертов по вопросам рационального использования водных ресурсов трансграничных рек.

В мае 2000 года в Пекине прошел третий раунд консультаций. Китайская делегация подчеркнула, что последовательно поддерживает принципы гигиеничности и максимальном учете интересов Казахстана при техни-

ском совместном заявлении водных ресурсов. Стороны утвердили Меморандум о взаимопонимании в области водных ресурсов. В Китае было создано рабочее трансграничное водное управление. Данный документ регламентирует принципы проведения совместного мониторинга, обоснованных исследований и разработок по рациональному использованию и охране от истощения водных ресурсов трансграничных рек [4].

Четвертый раунд консультаций экспертов Казахстана и Китая по вопросам рационального использования трансграничных рек состоялся в Алматы в марте 2001 года. Стороны достигли согласия на взаимной аг посетить в 2001 году гидротехнические сооружения, находящиеся на территории РК и КНР, заслушали и одобрили отчеты руководителей совместной рабочей группы экспертов по трансграничным рекам по итогам первого заседания в Алматы. Участники консультаций утвердили также план осмотра и изучения водозабористенных объектов на реках Иртыш и Кли. Очередной раунд консультаций экспертов планировался посетить в Китае во второй половине 2001 года [2].

Новый импульс переговорному процессу по трансграничным рекам придал состоявшийся 12-13 сентября 2001 года официальный визит Премьера Госсовета КНР Чжу Жуньязы в Казахстан. Наряду с другими документами было подписано Соглашение о создании Комиссии по совместному рациональному использованию водных ресурсов трансграничных рек, которая уже начала работать [1].

Совместное использование водных ресурсов имеет не только определяющее экономическое, экологическое и огромное политическое и международное значение. На первом этапе возрasta необходимость выработки государственной политики страны в области совместного использования и управления трансграничными реками.

Проблема водообеспечения и совместного использования трансграничных водных ресурсов является одним из основных конфликтных узлов, создающих реальную угрозу региональной безопасности государства. Поэтому урегулирование водных отношений с Китаем представляется очень важным с точки зрения экономической, экологической и политической безопасности Казахстана в будущем. Задачи состоят в том, чтобы выработать с Китаем общую позицию в вопросах совместного использования водных ресурсов трансграничных рек.

СПИСОК ЛИТЕРАТУРЫ

1. Позиции Казахстана и Китая совпадают // Казахстанская правда – 2001. – 13 сентября.
2. Пресс служба МИД РК // Казахстанская правда – 2001. – 26 марта.
3. Реки должны не ссорить, а сближать // Казахстанская правда – 1999. – 27 ноября.
4. Токаса К.К. Дипломатия Республики Казахстан. – Астана. "Елоола". – 2001. – 552 с.
5. Шарипов Т.С. Проблема трансграничных рек // Правительственный вестник – 2001. – № 8. – С. 16-45.

Алматинский государственный университет им. Абая

ҚЫТАЙ-КАЗАКСТАН ОЗЕРДЕРІ ҚАЙДАНЫСЫНЫҢ ШЕҚАРАРАЛЫҚ МАССЕЛЕТЕРІ

А.Е. Мадина

Халықратын-құхымдың негізін қараста байланысның
суроғындар бірлесіл пайдатану үшін Іле және Ертіс мемлекеттік
сандердің Қазақстан және Қытай біріздігінің

СОВЕТСКИЙ НАУЧНО-ПРОДУКТИВНЫЙ ГРУППЫ КИРГИЗСТАНА

卷之三

иначе как в сопровождении с Трифоном, который знал об этом и знал, что нужно отражать присущие им опасные качества речи Федора. Был уверен, что можно отражать присущие им опасные качества речи Федора, но не знал, как это сделать. Был уверен, что можно отражать присущие им опасные качества речи Федора, но не знал, как это сделать.

Каргылактін жағынан тұрғындың странай, где формируется
межигородний рынок Центрально-Азияского района. Поэтому, на конец марта
показывающее большинство магазинов (тизнических) ведущих объектов
имеются.

Исследованием идентифицировано, что по происхождению из 2963 ученых гендерной республики Кыргызские - 81,6%, Кыргызко-туркмен - таджикские - 4,6%, Киргызско - чонготыкские - 2,8%, Ирано-таджикские - 4,6%, монгольские - 1,9% и неясного происхождения 3,7%

Кыргызские "боз" - вода, река, "сай" - река, сухое русло, "кыл" - речная долина, река, "бузак" - родник, ручеек, источник; "зарыя" - от киргизского "река (большая)" распространены по территории Республики Казахстано "Кол" в значении река, речная долина самостоятельное не употребляется. Встречается только в топонимии Ирана - гаджинские - "зарыя" - река (большой); "аб, об" - вода, река, ручей; "зара" - техники, шахты. Небольшие долины Монголийские - "гол" - река, длина реки, "рэн" - река (большая); "сувах" "сувук" - сухое русло, канава, ручей. Встречаются только в топонимах в кыргызской адаптации - 121

реки Киргизии со всеми типами внутренних
разделений на стоянках можно объединить в группу рек с плавающим
теплым членом Тянь-Шаньского, Алтайского и
Кыргызстанского типов.

Последние представлены маленными приточными и низкогорными реками с дружным весенним половодьем, на сток которых приходится незначительная доля в общем водном балансе.

В настоящее время существует несколько классификаций рек по источникам питания. Наиболее применение получила схема классификации, для рек рассматриваемого региона предложенная А.Л. Цыбулем [5].

На основании более полного анализа источников питания рек. О.Н. Щегловы [4], несколько модернизировала эту схему. Принимая школу новаторов Щегловой [4], М.Н. Большаков [2] провел классификацию рек по типам питания, сплавясь с выделенными однотипными природными районами и разделением территории на области формирования и рассеивания стока. Схема достаточно полно отражает основные особенности формирования и режима стока рек с учетом географического распределения бассейнов рек Тянь - Шаня по разным классификационным типам по состоянию на 1974 год (см. табл.). Из табл. видно что владеющее большинство изученных рек (78%) относится к типам ледниково - снегового и снегового - ледникового питания. Следует отметить, что к 1995 г. на реках Киргизстана имеется всего 129 действующих гидрологических постов.

Таблица

Качественное распределение изученных рек Тянь - Шаня по типам питания (М.Н. Большаков, 1974)

Основные речные системы	Всего		Распределение по типам питания							
	Кол-во	%	I		II		III		IV	
			Кол-во	%	Кол-во	%	Кол-во	%	Кол-во	%
Сырдарья	101	100	20	19	47	46	12	1	22	23
Реки, владеющие в										
Иссык-Куль	31	100	23	74	8	26	-	2	-	-
Шу	40	100	23	58	16	40	-	1	5	2
Талас	18	100	9	50	2	11	1	-	5	28
Тарим	3	100	3	100	-	-	-	1	-	-
Всего	193	100	78	40	73	38	14	8	28	14

Примечание: I - реки ледниково-снегового питания. II - реки снегово-ледникового питания. III - реки снегового питания. IV - реки снегового-дождевого питания.

Распределение рек по высотам получено и в проце-
се изучения речного стока в зависимости от высотных показа-
ний, основой зависимости Манн (Н_{бр}). Выявлено 14 достаточно
однородных районов [1]. В каждом из выделенных районов
реки расположены в убывающем по
высоте порядке: "высокие" реки "средние" и "ни-
зкие". Наиболее типично искоссятное положение
рек в нижних частях горных склонов
между предложенной М. Н. Болмы-
шевым линией и линией "высоких" рек.

Здесь между предложением М. Н. Болыса и моим предложением имеется значительная разница в терминологии. Наиболее обоснованной я считаю мое предложение, основанное на типах питания рек по типам питания и их названиями. Научной необходимости привести дополнительно тип рек смешанного питания, т.е. равной долей ледникового и снегового в гидрографии нет. Вместо этого я предлагаю заменить термином "кашак" термин "кашак" и "але" — "пестрый, полосатый". Следует отметить, что в гидрографии термин "кашак" означает "высокий, величественный". Але — географическое понятие, имеющее типологическое значение. Оно обозначает высокие горы, отдельных отрезков хребтов, несущих в гребневой части вечные снега и ледники.

Для рек наиболее часто встречающийся термин "сүү" - "поток" означает постоянство стока; "сай" - "сухое русло" увязано с изнуряющей засухой или пересыхание. Основное название реки определяет тип питания. Например (по цвету) "как" - синий, - ледниково-снеговой, "зала", "кашта" - "пестрый, полосатый", т.е. совместно ледниковый и снеговой (смешанный), "ах" - "белый", снегово-ледниковый и "кар" - "чёрный темный", т.е. подземный тип питания.

Указанные извѣстія довольно полно отражаютъ промышленный характеръ предпринятій, находившихся съ занятой въ земле

Река Кок-Суу - ледниково - снегового типа питания. Занимает наиболее высокое гидросометрическое положение в гляциально-нивальной пойсе. Все нам известные *реки Кок-Суу* являются истоками ныне расположенных рек и оттекают из ледников. Ниже приведен несколько рек под называнием *Кок-Суу*.

7. Кок - Суу - левый приток р. Кызыл - Суу, берет начало на Южном склоне Алайского хребта.

7. Кок - Суу левый приток р. Ак - Суу, берет начало от Шань, расположенного на юго - западном склоне хр. Коллекторный.

Р. Кок - Суу (восточный) — исток р. Кашиар, берет начало с ледников хр. Ала-Айсу.

Несколько к югу имеется горные долины Кок - Суу, днище которых расположено на высоте 3000 - 3300 м вбс. Питание одноименной реки Кок - Суу (западная) связано с многочисленными ледниками расположенных на склонах хребтов окружающих долин.

Реки "кашки" и "ала" имеют смешанное питание и являются переходными между ледниково-снеговыми и снегово-ледникопльвыми.

Р. Кашиар - Суу левый приток р. Арча, область формирования — северо-западный склон хр. Арча, среднеизмененная высота 3350 м.

Р. Кашка - Суу — левый приток р. Каракол (восточный) область формирования — южный склон Кыргызского хребта, среднеизмененная высота 3300 м.

Р. Кашка - Суу — приток р. Ала-Арчи. Область формирования — северный склон Кыргызского хребта, среднеизмененная высота 3100 м.

Р. Кашка - Суу — левый приток р. Кызыл - Суу. Область формирования — северный склон Чон - Ала-Айского хребта, среднеизмененная высота 3400 м.

Р. Кашка - Суу — левый приток р. Чон Кемин. Область формирования — северный склон Зилийского хребта, среднеизмененная высота 3520 м.

Р. Кашка - Суу — приток р. Тарагай. Область формирования — южный склон хр. Терский Ала-Тоо, среднеизмененная высота 3520 м.

Р. Ала - Арча — левый приток р. Чу. Область формирования — северный склон Кыргызского хребта, среднеизмененная высота 3290 м.

Р. Ала - Буга — левый приток р. Нарын. Область формирования — северный склон хр. Торугарттоо, среднеизмененная высота 3400 м.

Р. Алемудун — левый приток р. Чу. Область формирования — северный склон Кыргызского хребта, среднеизмененная высота 3360 м.

Реки Ак-Суу имеют питание типа — Ак-Суу — снегового ледникопльве и формируются в основном за счет многолетних снегов высокогорий и ледников.

Р. Ак-Суу — левый приток р. Жыргалын. Область формирования — северный склон хр. Терский Ала-Тоо, среднеизмененная высота 3540 м.

Р. Ак-Суу — левый приток р. Сыр-Дарья. Область формирования — северный склон Туркестанского хребта, среднеизмененная высота 3100 м.

р. Ак-Суу - левый приток р. Суусамыр. Область формирования

южный склон Кыргызского хребта, средняя высота 3200 м.

р. Ак-Суу - левый приток р. Чу. Область форми-

рования - северный склон Кыргызского хребта, средняя высота 3180 м.

р. Турекен - левый приток р. Жыргалын. Область формирования - северный склон хр. Терской Алт-Тоо, средняя высота 3410 м.

В случае, когда водосборы рек с одинаковым типом расположения рек, применяется сравнительный термин - "большой", "маленький". Например: Чон - Ак-Суу, Кичи - Ак-Суу.

С.)

р. Чон - Ак-Суу - впадает в оз. Иссык - Куль. Область формирования - южный склон хр. Кунгей - Ала - Тоо, средняя высота 3410 м.

р. Кичи - Ак-Суу - впадает в оз. Иссык - Куль. Область формирования - южный склон хр. Кунгей - Ала - Тоо, средняя высота 3280 м.

Наиболее низкое гипсометрическое положение занимает река Кара - Суу, их сток формируются в нижних частях горных склонов в районах соединения с равновысотными долинами. Питание этих рек преимущественно подземное.

р. Кара - Суу - левый приток р. Нарын. В области формирования множество озер, в том числе крупное оз. Кара - Суу, являющееся машинным регулятором стока.

р. Кара - Суу - правый приток р. Нарын. Истоком служит Келик-Таш (объем 2,6 млн. м³) и Кара - Суу (объем 223,5 млн. м³). Они формируются за счет выклинивающихся источников из поздней четвертичной эпохи мощностью более 300 м.

р. Кара - Суу - левый приток р. Талас. Формируются из многочисленных родником, вскоре выклинивающихся из мощных осадочных отложений.

Важнейшее большинство рек этого типа отличаются наибольшей длиной, режимом и морфометрические особенности изучены недостаточно. О многочисленности рек свидетельствуют обозначения (название наименование места) имеющие одноименные с реками наименования расположенные на всей территории Кыргызстана.

СИМПОЗИУМ ЛИТЕРАТУРЫ

- 1 Академия Киргизской ССР. Т. 1. ГУГК. М. - 1987. - 157с.
- 2 Большаков М.Н. Водные ресурсы р. Советского Тинь - Шаня и методы их расчета. Фрунзе: Изд-во "Илим". - 1974. - 107с.
- 3 Кочинова Е.Ж. Методика расчета минимального стока рек Киргизии при отсутствии материалов наблюдений. Сидикбековская и залежки. №1 - 2002. - С. 114 - 121.
- 4 Шагимова О.П. Пастбище рек Средней Азии. Ташкент: Изд-во САМГУ. - 1990. - 244с.
- 5 Одум В.Л. Реки Средней Азии. - Л.: Гидрометеоиздат. 1963. - 676с.

Бишкекский государственный университет
географическая геология и геометрия

ГИДРОВИМДЕР ЖАҢЫҚЫРЫМДАСТАН ОЗЕРДЕКИ ЖАКТЕУ

Георгий Николаев канд. докт. Ермекалиев

Мажитов Магомед Касымбеков Ахметов Абдрахманов
Абубакаров Абубакар Абубакаров Абубакаров Абубакаров

УДК 551.583.2.551.475.2 (574)

ОБЪЕМ КОНСАВЫШКА КАК ПОКАЗАТЕЛЬ СЕЛЕВОЙ АКТИВНОСТИ

Канд. геол.-мин. наук

Р.Х. ШАФИКОВ

Рассмотрено применение методов статистики в гидрологии для оценки величины риска селевых выносов, что связано с тем, что селевые выносы редко сопровождаются землетрясениями. Показано, что зависимость объема конуса выноса от интегральной статистики активности в бассейне, селевая активность на приточных притоках резко изменяется.

Жизнь и хозяйственная деятельность в горных и предгорных районах подвержены риску воздействия катастрофических природных явлений (среди них наиболее опасных и разрушительных явлений для Заилийского Алатау) и приставленной к нему территории являются сели. Этот район считается наиболее опасственным на территории СССР, подтверждением тому являются катастрофические сели 20 столетия, имеющие место практически во всех бассейнах рек северного склона Заилийского Алатау. Былаша часть этих селей имела гляциальный характер, сели образовались в основном в результате природных моренных спер. Наиболее мощные трехкаменные сели доискусственного начинания фиксируются в 1921 и 1950 гг.

Под селевой активностью понимается интенсивность развития селевого процесса во времени и в пространстве. Для оценки селевой активности в пределах одного селевого бассейна используют показатели повторяемости и объема селевых выносов [5].

Имеются достаточно обширные сведения о случаях прохождении селей в Заилийском Алатау за последние 300 лет [3], однако данных о их объемах нет. Датировка селевых отложений осуществлялась методами генеалогии и дендрохронологии в основном в гидрографической и гравиметрической зонах, где заложения были многочисленны, в их объемы, как правило, малы. Такие сели не имели прецессий гор. Но только катастрофические сели, отложения которых приближены на конусах выноса, расположенных на предгорной равнине, представляют практический интерес.

Редкая повторяемость катастрофических селей, глубокие пещеры и залежи природных и минеральных (исследование состоялось лишь в 1972 г. в бассейне р. Малая Акматинка, поддержанный потоком в узком каньоне Малеу, объем его составляет 3,8 млн. м³ при плотности плавающей массы 2380 кг/м³ [1]) склонялись на достоверности оценки селевой активности бассейнов рек северного склона Зиялайского Алтая. Надежность оценки селевой активности на северном склоне Зиялайского Алтая значительно возросла после того, как в середине 90-х годов 20 столетия в результате изучения строения конуса выноса р. Аксай было установлено, что доля селевых отложений, образующих конусы выноса, расположенные на предгорной равнине, составляет 90-95 % от их полного объема.

Бассейн р. Аксай расположен в центральной части хребта и имеет типичные для последнего морфометрические, геологические и климатические характеристики. Благоприятным для изучения истории конуса выноса показалось то обстоятельство, что он пережил два этапа развития.

Первый этап начался в раннем плеистоцене и закончился в среднем. В это время вершина конуса выноса примыкала к коренной части хребта, примерно в 5-6 км южнее спирального ее положения. Селевые отложения, содержащие большое количество валунно-глыбовых фракций, залегают на красноцветных глинистых третичных отложениях. Мощность селевых отложений в верхней части этого конуса составляет 200-250 м.

Скорее всего в период миндаль-рисского межледникового, в ходе неотектонических движений, началось образование верхней предгорной ступени. А результатом этого полнотия почти все конусы выноса рек северного склона Зиялайского Алтая, образовавшиеся в том же времени и расположенные западнее бассейна р. Каргалинка, были подняты на высоту от нескольких сот метров до одного километра. Водные и селевые потоки в западной части хребта были вынуждены прорезать верхнюю предгорную ступень, образуя достаточно глубокие ущелья. Рыхлособломочный материал выносится на предгорную равнину, примыкающую к верхней предгорной ступени, где началось формирование новых конусов выноса - второй этап развития конусов выноса западной части хребта.

В 1960-1970 гг. на конусе выноса р. Аксай была наложена добывающая промышленность, использовавшаяся при строительстве г. Алматы. В нерудных материалах, использовавшихся при строительстве г. Алматы в результате работ образовался карьер длиной до 3000 м, шириной до 350 м.

и глубина до 50 м. В нижней части карьера были вскрыты отложения, возраст которых превышает 350 тыс. лет.

Нижний горизонт конуса выноса в структуре средней части представлен чередованием гравийных и пелюсивальных отложений, мощность прослоек 0,2-0,3 м. Чешуйки, размер которых превышает 100-200 мм, практически отсутствуют. Это позволяет утверждать, что описываемый горизонт представлял собой периферийную часть вновь формирующегося конуса выноса. Эти отложения перекрыты лессом, отложившимся в период рисского оледенения.

Селевые явления редко активизировались в рисс-вюрмское межледниковые, в период 134,3-131 тыс. лет до н.э., когда глобальная температура воздуха в Антарктиде превышала современное значение на 2-2,7 °C [9]. Скорее всего, именно в этот период мощность отложений на конусе выноса увеличилась на 30-40 м. Верхний горизонт, мощностью 20-25 м, уже содержит пачинно-глыбовые фракции. Хорошо видно пересланение селевых отложений речными. Средняя мощность селевых отложений - 1,3 м, а речных - 0,2 м. Доля аллювия в общем объеме конуса выноса - не более 5-10 %.

Отложения рисс-вюрмского межледниковья перекрыты лессом тюрма. Юго-западная часть конуса перекрыта лессом мощностью до 20 м, западная часть - лессом мощностью 2-3 м, только в узкой центральной части лесовой покров тюрма уничтожен полностью и отложения рисс-вюрмского межледниковья перекрыты селевыми отложениями голоцене. Причем в верхней части конуса выноса отложения голоцене вложены в отложения рисс-вюрмского межледниковья на глубину 5-7 м. в средней части отложения голоцене перекрывают рисс-вюрмские отложения. Их мощность не превышает 0,5-1,5 м. Объем селевых отложений горючка на конусе выноса р. Аксай составляет примерно 1 млн. м³.

Рекогносцировочное обследование карьеров на конусах выноса рек Узункаршты и Талгар показало, что эти конусы тоже образованы в основном селевыми отложениями. На это указывают и результаты обнаружения 20-литрового ящика, обнаруженного р. Тургель в верхней части ее конуса выноса. Полученные данные позволяют сделать вывод о распространении конусов выноса на все остальные конусы выноса южного склона Заилийского Алатау. Результаты этого репрезентативного изучения механизмов образования гравийных и пелюсивальных конусов выноса горных рек, выполненного в

Выяснилось, что возможность выноса на склоны конусов выноса зависит от высоты и глубины потока. Это обстоятельство приводит к различию принципиального характера в формировании конусов выноса. Центральные конусы выноса и периферийные конусы выноса отличаются тем, что на тектонических формах к дугам окружностей с центром в вершине конуса выноса. Величина радиуса конуса выноса, если их аппроксимировать полукругами, всегда больше, чем расстояние от вершины конуса выноса до соответствующей горизонтали в первом направлении, а при определенных ситуациях горизонталей принимает противоположное направление.

Это подтверждается изображением на тектонических картах М 1:100 000 и крупномасштабных топографических планах в ситуациях, когда в результате тектоники (одновременного проявления) полной активности селевые конусы выноса перекрываются аллювиальными отложениями, мощностью в несколько метров, в сжатые сроки. Для определения объема конусов выноса с использованием информации, имеющейся на тех же картах, несложно вычислить объемы конусов выноса [8].

В табл. приведены сведения об основных характеристиках селеформирующихся факторов бассейна рек северного склона Западного Алатау, а также данные о площадях и объемах их конусов выноса. Объемы конусов выноса зависят от площадей бассейнов рек, их геологического и тектонического строения, площадей оледенения, климатического фактора. Данные об объемах конусов выноса дают представление о суммарной селевой активности бассейнов рек северного склона Западного Алатау на протяжении четвертичного периода.

Было установлено, что наибольшей селевой активностью обладает бассейн р. Есик, площадь которого (293 км^2 , створ вершина конуса выноса) существенно меньше площадей бассейнов р. Тургень (580 км^2 , створ вершина конуса выноса) и р. Талгар (444 км^2 , створ вершина конуса выноса). Характерно, что, кроме выше, бóльшой густотой тектонических разломов, приведших к сильному выносу бассейна р. Генк, по сравнению с другими бассейнами

Tutoring and Learning Disabilities

История развития северного склона Заилийского Алатау, где происходят основным механизмом переноса наносов из верхнего яруса накопления (высокогорной зоны) на средний ярус ~~накопления - отложения~~, расположенные на ~~предгорной~~ ~~данной~~ свидетельствует о том, что селевая активность в интродигене ~~не~~ изменилась. Своего максимума она достигла, скорее всего в рисс-вюрмское ~~периоды~~ и была практически нулевой в периоды оледенений.

Затухание селевой активности в ледниковые периоды связано значительным сокращением площадей вспахиваемых, на которых ливневые осадки выламывают в жидкому виде "уменьшением энергии рельефа, так как вся высокогорная зона, покрытая снегом и льдом, не могла быть областью зарождения и развития селей. Значительно уменьшились в этот период времени и потенциальные возможности геологического фактора - мощность рыхлобломочных лород в средне- и низкогорной зонах существенно меньше, чем в высокогорной зоне".

Вынос наносов на конусы выноса настолько уменьшился, что за десятки тысяч лет, приходящиеся на ледниковые периоды, селевые русла на конусах выноса не успевали полностью заполняться аллювием. Если бы заполнение русла происходило, то пролювиальный механизм формирования конуса выноса сменился бы аллювиальным, что неизбежно привело бы к уничтожению лесового покрова. Доказательством тому является накопление мощных толщ лесса на конусах выноса. В ледниковые периоды лесом перекрывалось и межконусное пространство вдоль всего хребта, а также верхняя предгорная ступень.

Для оценки селевой активности по данным об объемах конусов выноса необходимы сведения о времени накопления наносов. Для оценки средней селевой активности в межледниковые периоды в качестве временных реперов могут служить фрагменты лесовых отложений, формировавшихся на поверхности конусов выноса Заилийского Алатау в периоды оледенений. Так, в отложениях конуса выноса р. Аксай, вскрытых карьерами, хорошо прослеживаются два горизонта лесовых отложений рисса и вюрма. На остатках леса вюрм включаются мало мощные отложения голоцене (0,5-1,5 м). Сравнение мощностей селевых отложений рисс-вюрмского межледникопья и голоцена, отличающихся в десятки раз, позволило сделать вывод о том, что максимум селевой активности достигнут в периоды, когда во всех

высотных зонах скрета ливневые осадки выпадали вrende дождей, происходило, когда глобальная температура воздуха превышала современную, как минимум, на 2-3 °С. Такое потепление в рисс-вюрмской межледниковой в Антарктиде длилось около 3300 лет. Средняя селевая активность в рисс-вюрмском межледниковье превышала среднюю селевую активность в голоцене почти в 100 раз.

Селевая активность в историческое время рассчитывается по данным о мощности отложений с использованием различных методов определения возрастя отложений, в том числе и с помощью археологических находок. Несколько информативными могут быть такие отложения, иллюстрирующие обнажение в котловане расположенного восточнее пересечения улиц Райымбека и Пушкина (рис.). Под слоем селевых отложений мощностью 0,5-0,7 м сохранились остатки кирпичной кладки, лежавшей на лессовом основании. Мощность лесса составила 0,6-0,8 м, под лессом залегали отложения селей, максимальные размеры частичей которых не превышали 150 мм.

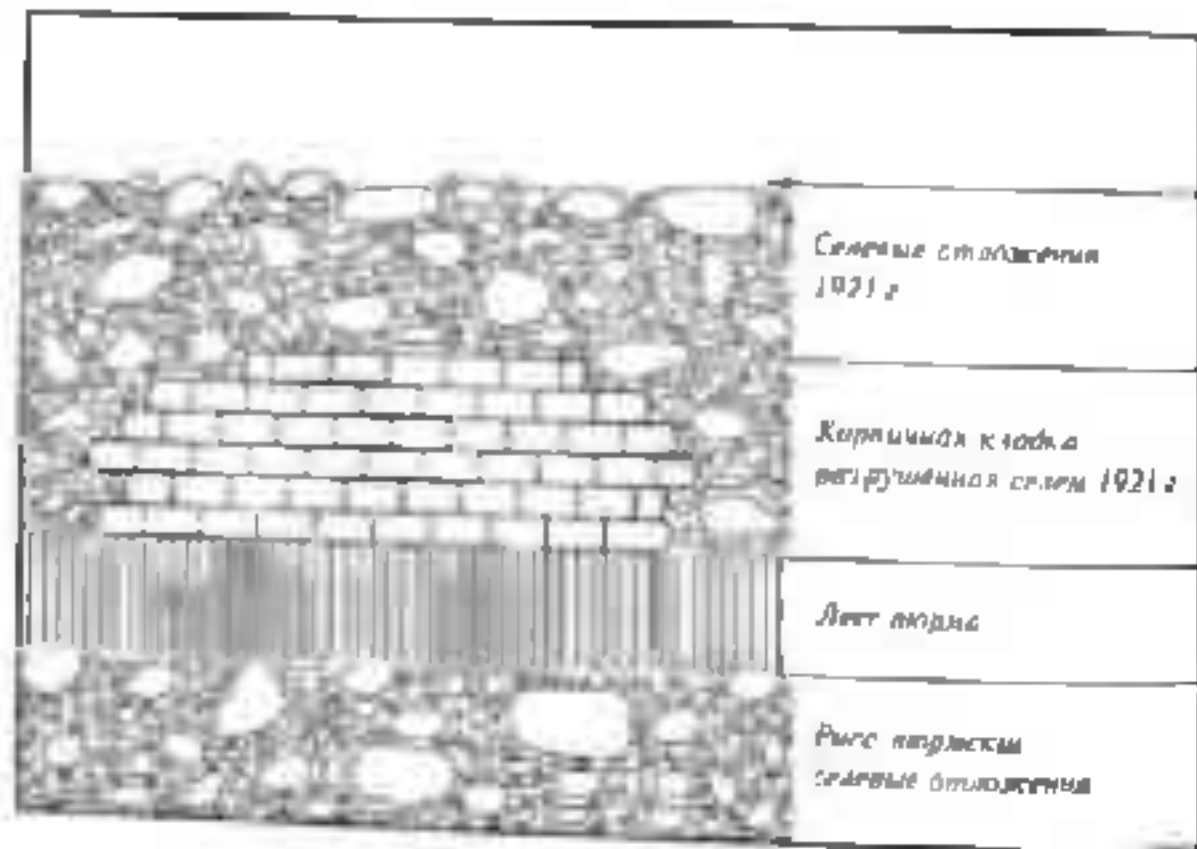


Рис. Обнажение в котловане расположенному восточнее пересечения улиц Райымбека и Пушкина.

Так обстояло то, что кирпичная кладка состояла из отложенных кирпичей (кирпичи) и имели форму и размеры, близкие к современным

стандартам), позволяет с большой степенью достоверности утверждать, что ее возраст не превышает возраст южного пояса (периода, заложенного в 1854 г. на месте разрушенной набережной Нижней Алматы). Однородный состав щебнях отложений, состоящий из эпиринской юадис, в частности, отсутствие каких-либо признаков сложности, свидетельствует о том, что это - отложение седла 1951 г.

Незначительные селевые отложения на поверхности реки подтверждены данными обследования конусов наноса рек Белая и Малая Альметинки (около 100 точек определения) [6], позволили сделать вывод о низкой селевой активности Заилийского Алатау в настоящем.

Исследования, выполненные КефНИИМОСК в 1998-1999 гг., показали, что потепление глобального климата на 2-3 °С приведет к резкой активизации селевой деятельности в южных и юго-восточных районах Республики Казахстан [4]. Объемы наносов, выносимых на предгорную равнину селями из высокогорной зоны, возрастут в 21 веке в 50-100 раз по сравнению с таковыми, имевшими место в 20 веке.

В первой фазе потепления, когда глобальная температура увеличится на 1-1,5 °С можно ожидать увеличения селевой активности за счет селей гляциального генезиса, а при дальнейшем потеплении - селей дождевого генезиса. Увеличение селевой активности гляциального генезиса будет происходить в результате истощения числа водопрочай моренно-ледниковых комплексов, обусловленного распадом ледниковых систем, что уже наблюдается в настоящее время [2], а также более быстрого развития водоснабжения.

Активизация селей дождевого генезиса произойдет в результате выпадения ливневых осадков в виде дождей в высокогорной зоне, т.е. там, где в настоящее время осадки выпадают в виде града, крупы и снега, смешения максимума осадков на большие высоты, увеличение водоснабжения водобаров, обладающих большим коэффициентом стока, вошедших в селеобразующие увлажненные грунты каменных глетчеров, марок и т.д.

Поскольку практически все наносы, склонные к селению, находятся в моренах, до настоящего времени находятся в высохший зоне, неограниченный геоморфологический фактор селеобразования определяется только потенциалом активизации селевой деятельности и климатическим фактором.

Если предпринять пропал потепление климата [4], а меры по изменению климата не будут приняты, то селевая активность в районе Западного Алатау может возрасти в 50-100 раз по сравнению с текущей [5]. В этом случае устойчивое развитие южных и юго-восточных районов РК станет невозможным.

СПИСОК ЛИТЕРАТУРЫ

1. Виноградов Ю.Б., Земс А.Э., Ханин Р.В. Селевой поток 16 июля 1973 г. на Малой Алматинке // Селевые потоны. - 1976. - № 1. - С. 60-73.
2. Глазырина Г.Е. Горные ледниковые системы, их структура и эволюция. - Л.: Гидрометеоиздат, 1991. - 110 с.
3. Горбунов А.П., Северский Э.В. Селевая активность в Западном Алатау за последние 100 лет (на примере бассейнов р. Аксай, Мишы и Большой Алматинки) / Материалы международной научно-практической конференции "Проблемы гидрометеорологии и экологии". - Алматы 2001. - С. 40-43.
4. Оценка воздействия изменений климата и мер адаптации для прибрежной зоны Каспийского моря и горных районов Южного и Юго-Восточного Казахстана. Рекомендации для лиц, определяющих социально-экономическую и природоохранную политику. - Алматы: Казахский научно-исследовательский институт мониторинга окружающей среды и климата, 2000. - 49 с.
5. Перов В.Ф. Селевые явления. Терминологический словарь. - М.: Изд-во МГУ, 1996. - 45 с.
6. Яфилова Р.К. Новый способ оценки селевой активности (на примере северного склона Западного Алатау) / Новые подходы и методы в изучении природных и природно-хозяйственных систем. - Алматы, 2000. - С. 220-223.
7. Яфилова Р.К. Особенности механизмов формирования конусов выноса горных рек // Гидрометеорология и экология. - 1996. - № 2. - С. 175-187.
8. Яфилова Р.К. Основные закономерности формирования селевых конусов выноса (на примере северного склона Западного Алатау): Автореф. дис... канд. геогр. наук. - Алматы, 1998. - 21 с.
9. Jouzel, J., C. Lorius, J.R. Petit, N.I. Barkov, and V.M. Kotlyakov. 1994. Vostok Ice core temperature. pp 590-602. In T.A. Boden, D.P. Kaiser, R.J. Soden, and E.W. Stoss (eds.), *Technical Compendium of Data on Global Climate Change*. NOAA/CDIAC/Carbon Dioxide Information Analysis Center, Oak Ridge National Laboratory, Oak Ridge, Tenn., USA.

**ШЫГЫН ҚОЛӘМІ СЕЛ ВЕ ІСЕВДІ ГІПІШ
КОРСЕТКІШІ РЕГІАНДЕ**

Город Рыбинск

РК ЯФИШ

шығу көмісінен мұғалында отпрағасынде сәз
аңтерілт қарастырылған (ж. Актауның
әскердін шығу көмісінен көлемі отарын
тәсілдегі бесенчелік тұрады үткім береді).
Акимнанған бұрыннан да бекітілген жаңы
тұрады орнаменттерінде сағадан

УДК 551.8+551.435.1+551.435.06

К ФОРМИРОВАНИЮ РЕЛЬЕФА СЕВЕРНОГО СКЛОНА ЗАИЛЙСКОГО АЛАТАУ

Доктор геогр. наук

Б. С. Степанов

Канд. геогр. наук

Р. К. Яфазова

Изложена гипотеза о плюценовом возрасте основных форм рельефа северного склона Заилийского Алатау. Приведены подкрепляющие фактические данные. Путем истории развития рельефа хребта позволяют более достоверно описать сценарии изменения ландшафтов Заилийского Алатау в ходе глобального потепления климата.

Вопрос Заилийского Алатау, формирование его рельефа стал предметом изучения исследователей различных специальностей в середине 20 века (С.Ф. Машковцев, Н.Г. Кассин, Г.Ш. Медеев, Н.Н. Коштенко, Д.Н. Казанкин, В.В. Галицкий, М.И. Ломонович, М.Ж. Жандасов и др.). Большинство исследователей придерживалось мнения, что во второй половине неогена территория Заилийского Алатау представляла собой пепеленгированную поверхность. Энергичные тектонические движения в плиоцене привели к поднятию в области хребта [4, 6, 8, 10, 12].

Основой географического расчленения четвертичных отложений послужил структурно-терраформационный анализ, результаты которого по возможности проверялись палеонтологическими данными [10]. Скудость последних привела к тому, что данные четвертичных пород не могли заинтересовать геоморфологов, тесно связанных с данными о тектонических процессах и климатических изменениях.

Представление о количестве и продолжительности климатических циклов претерпело в последние десятилетия кардинальные изменения. Наиболее информативной является глобальный климат Земли в антропогенного периода [14]. Признание роли основных потоков как основного механизма ледникового периода на средний ярус наложило предгорную равнину [16], данные о строении и составе конусов вынуждали основных рек северного склона Заилийского Алатау.

лийского Алатау, расположенных на Предгорной равнине, выявление ровноконусов в селевой актиности, достоверные оценки объемов выноса и конусов на конусы вынеса за последние 150 тыс. лет [10], новые паковые об объемах и положениях в пространстве морен акимского и рисского оледенений позволили по новому осветить некоторые вопросы формирования рельефа северного склона Западного Алатау.

Наиболее дискуссионными вопросами, по нашему мнению, являются возраст хребта, основной механизм образования горных долин и их возраст [2, 3, 5, 9, 11, 12]. Сложность этих вопросов заключается в том, что при современном уровне знаний нельзя однозначно ответить, почему объемы конусов выноса имеют на порядок меньшие объемы, нежели объемы соответствующих им "долин"? Так, объем конуса выноса р. Малая Аликтинка равен 2,5 км³, а объем "долины" - 18 км³, объем конуса выноса р. Талгар равен 10,3 км³, а суммарный объем "долин" Левого, Среднего и Правого Талгара превышает 120 км³. За объем "долины" принимался объем, ограниченный водосборной поверхностью соответствующего речного бассейна и условной поверхностью, перекрывающей этот бассейн и лежащей на водоразделе. При этом необходимо иметь в виду, что конусы выноса более чем на 90 % сложены проточными (селевыми) отложениями [19] и залегают преимущественно на эрозированной поверхности красных гипсопесчаных глин неогенового возраста [13].

Для Западного Алатау типичны долины с ориентацией, близкой к широтной и меридиональной. Происхождение долин широтной ориентации связано со ступенчатым строением северного склона Западного Алатау и его предгорий, их четвертичный возраст не вызывает сомнений. В данной статье речь идет о долинах меридиональной ориентации, имеющих значительно большие размеры. Именно в этих долинах в периоды оледенений отлагались морены с объемами в сотни миллионов кубометров, по ним текут основные реки северного склона Западного Алатау, эти долины замыкаются конусами выноса, расположенными на предгорной равнине.

Наблюдаемое несоответствие между объемами конусов выноса и объемами "долин" можно объяснить тем, что

- долины образовались задолго до наступления ледниковых, характеризующегося периодическими оледенениями, во время которых происходило накопление рыхлого обломочного материала (в основном в виде

кошими, когда происходит разгрузка вы-
рен), и тем самым переносом седим на предгорную равнину, обра-
зуется конусовидный нанос. В этом случае долина - промежуточный
этап, ведущий к конечному результату глыбовых поднятий в виде конусовидных наносов. А это означает, что для формиро-
вания конусовидных наносов горные породы за пределы долины не выносятся.

Однако как первая, так и вторая гипотезы не могут претендовать на то, чтобы считаться сформировавшимися ранее представлениями об условиях формирования современного северного склона Заилийского Алатау. Результаты исследования палеогеографических условий развития рельефа Заилийского Алатауложены в работах [6, 12]. По Д.Н. Казанли и М.Ж. Жандаеву становление современного рельефа связывается с завершением в миоцене этапа пинчинг-ленивации территории, когда в результате новейших тектонических движений в плиоцене произошло куполообразное поднятие осевой части хребта. Под термином "новейшая тектоника" обычно понимаются процессы, обусловившие дислокации неоген-четвертичных отложений и продолжавшиеся по настоящее время.

По М.Ж. Жандееву гидрографическая сеть развила уже в плиоцене однократно сеть — в таком виде как мы видим ее сейчас. тогда еще не существовало В книжечке антропогенеса, по мнению М.Ж. Жандеева "... следенение горносаило полупокровный характер... Ледники, а также моренные на гравийные, уступы большинства рек и озер расположены на северном склоне Западного Алатау. Были из тех находившихся выше таинственных ледниковых речек, которые начали расчищать гористые хребта. Эти были небольшие карстовые речки, которые только что начали разрабатывать свои долины. Дальнейшее развитие указанных рек было связано с таянием ледников. Отступающими ледниками они распространяются вверх, разрабатывают долины в в

М.И. Неструев: "Зона промежуточности" [7]

* Многие из отложений поднятые пенеплена, сформировавшегося в неогене, к доледниковому веку датируются четвертичной эпохи, а образование выровненного горного пенеплена (плоскогорья) к "... первому ледниковому или древнейшему (единиковому) (гюиши ?)" [10]. Начало разработки долин и глубоких "ущелий" М.И. Ломонович относит к "... первому ледниковому веку" "... разработка долин и глубоких ущелий (до

1000 м глубиной)..." прописала, по его мнению, во "...втором межледниковом веке среднечетвертичной эпохи" [10].

Таким образом, М.Ж. Жандасов и М.И. Лимонович гла́вную роль в формировании долин северного склона Западного Алатау отдавали рекам и ледникам, существовавшим в антропогене. Поскольку отложения антропогена сконцентрированы в основном в пролювиальных конусах выноса, гипотеза упомянутых ученых об антропогенном возрасте долин не может объяснить, по нашему мнению, несоответствие объемов конусов выноса и соответствующих им объемов "долин".

Образование горных долин в результате глыбления поднятий также представляется нам маловероятным событием.

Рассказывая общепринятые представления о роли новейшей тектоники в формировании горных долин, авторы данной работы из двух приведенных выше гипотез образования долин северного склона Западного Алатау отдают предпочтение гипотезе о более раннем, нежели четвертичный, возрасте этих долин. Если принять эту гипотезу, то отсутствие мощных аллювиальных отложений под современными конусами выноса можно объяснить лишь тем, что транспортируемые водными потоками наносы выносились за пределы конусов. Для этого размер транспортируемых частиц не должен был превышать 10-20 мм. На разрушение до таких размеров горных пород, слагающих хребет, потребовался значительный отрезок времени, продолжительность в миллионы лет. Описанная картина не противоречит сложившимся представлениям о последовательности геологических событий в Тянь-Шаньском регионе, но позволяет разрешить противоречия, не находящие объяснения в рамках существующих гипотез о происхождении и возрасте Западного Алатау и его долин.

Мы же описана краткая история формирования рельефа северного склона Западного Алатау, базирующаяся на последних данных с палеоклимате и результаты исследований КазНИИМОСК за последнее десятилетие.

Эволюция. Активизация тектонических движений в конце Миоцена - начале плiocена привела к образованию в плиоцене куполообразного поднятия на территории, занимаемой в настоящее время хребтом Западный Алатау. По мере отдаления условий для активизации эрозионных процессов, отложения купола с воздымавшейся территорией сносились водными потоками, образующими в результате выпадения дождей, заполненную Алматинскую впадину. В условиях теплого сухого климата об-

некоторые из которых должны поддерживать миграционные и
другие процессы для формирования ледника. Более того
важность отдельных архитектурных функций неоднозначна. Видимо, в
том числе ледниковые функции, полученные при более ранних
стадиях, перешли в разные, но связанные в комплексную систему
функции. Частично такие разные функции выполняются в пре-
жнем виде, частично же они должны быть разделены на препарной базине
участвовать в их формировании.

В течение нескольких миллионов лет прошлое вершины про-
верстывания и накопление грязи и формирования быстрых са-
могонов Актуу гидрогеографической сети, очень близкой к пред-
ычной. Не вызывает сомнений, что в ходе деятельности ледников
они не только создавали подземные, но и образовывали
места не только стабильного подземия, но и образование
тальных фильтровых полей последнее явилось основой для
таким образом, уже в первом поколении Западного Алтая, до которого за-
лежало в процессе формирования горных явлений, в то время как в бывшем
горном массиве позднее было вынесено основная часть обломков из-
вестных отрицательных фильтровых зон в Западный Алтай.

Нижний Кайсаинский. Установленные ранее геоморфологические
признаки в величине и масштабах оледенений Западного Алтая
прежествовавших рисункам оледенению, еще не известны. Однако
гипотеза М. Ж. Жанзасы [6] о том, что уже в нижнем плиоцене были
достигнуты высотные отметки хребта достигали 3900 м над уровнем моря с большой
степенью достоверности можно считать, что Западный Алтай по-
ражал те же оледенения, что и Алтай, за исключением позднейших
мест в Алтаях 2,5 миллиона лет назад [7].

Оледенение коренным образом изменило рельеф твердого стоя-
рек северного склона Западного Алтая. В ледниковый период осадки
выпадали в виде зондажей во всех высокогорных зонах хребта, что приводило к
постепенному выносу фракций за пределы гор. В ледниково-
межледниковые периоды имел место двухэтапный характер выноса на-
зыываемый. В периоды оледенений происходило накопление выносов в высокогор-
ных в основном в виде морен. Поскольку оледенения длились десятки ты-
сяч лет, создавались благоприятные условия для физического и химиче-
ского выщеривания рыхлого ломочного материала в моренах. В первом
межледниковом, когда селевые потоки выносили наносы на высокогорный

предгорную равнину. фракционный состав моренного материала, химический состав глинистых фракций благоприятствует формированию смесей, обладающих способом пластичности селевые массы, в составе которых преобладают глинистые фракции, имеющие пластичность и гранулометрические отложения выходят горных конусов выноса. В периоды оледенений конусы выноса перекрывались глинистыми толщами лессового покрова. Окруженные ими конусы выноса обусловлены практическими прекращением транспортируемых из речных бассейнов, выносом мелких фракций за пределы конусов выноса. Отсутствие частиц способных держаться на упомянутых конусах выноса, приводило к тому, что на протяжении тысяч лет русло на конусе выноса не изменялось вовсе оно оставалось и создавались условия для образования лессового покрова на поверхности конусов выноса. Селевые отложения, осадки лессовых покровов, перекрытые селевыми отложениями последующих членников, создали благоприятные предпосылки для накопления объемов выноса, вынесенных в те или иные временные интервалы, в т.ч. поглощания механизмов рельефообразования.

Во время первых оледенений предгорная равнина подступала к уступу подножья северного вспренного склона хребта [14]. В тех местах, где горные долины примыкали к предгорной равнине, начали формироваться конусы выноса. Убедительным подтверждением того, что уже в четвертичному периоду гидрографическая сеть мало отличалась от современной, является существенное различие в гранулометрическом составе отложений, перекрывающих глины испогена в областях, примыкающих к выходу долин на предгорную равнину (конусы выноса) и в междуречье. В формировавшихся конусах выноса присутствуют валунисто-камовые фракции, их процентное содержание близко к современному. В междуречий эти фракции практически отсутствуют.

Важнейший в истории Западного Алтая эпизод обозначен предгорной ступени. В ходе поднятия верхней предгорной ступени конусы выноса, расположенные западнее реки Билимбай Алытинская, были подняты на высоту от 100 до 1000 м и более. Река Билимбай на участке между деревней Алытинской и селом Кара-Баш началась в 1940-х гг. М. А. Ломакиничу обратившись к верхней пред-

сительно пологих поверхностях в течение тысяч лет предшествовавшего мезоледниковья на более низкие высоты отступа Ледниковая тектоника привела к углублению долин в период риосского оледенения на 50-80 м и придала им выраженную форму трапов. Более высокая скорость тектоники в горных долинах способствовала обрывистым высоким берегам, вследствие отставания отступающей бровкой долин.

Появление снеговых линий в период риосского оледенения на 1000-1200 м приходило к тому, что даже склоны северной экспозиции передового хребта, высотные отметки которых были близки или незначительно превышали 3000 м, становились типом озеленения ледниками, выходившими на плоские поверхности верхней предгорной ступени. Высотные отметки этих поверхностей лежали в пределах 1800-1900 м. Поверхность засинела, с учетом их мощности (50-150 м), в пределах верхней предгорной ступени находилась в высотном интервале 1850-2000 м, т.е. на сотни метров выше, нежели холмовые морены в долянах основных рек. Благодаря этому длина ледников на плоских поверхностях достигала нескольких километров (до 6 км в урочище Шельдары, междууречье Киселтена и Чемолгана). Друмлиноподобный рельеф урочища Шельдары неоднократно испытывался в качестве "убийного" предмета сторонниками существования ледникового оледенения в нижнем плеистоцене. Однако ими не учтилось, что в периоды первых оледенений поверхность современного урочища Шельдары находилась почти на 1000 м ниже современных высотных отметок. На таких высотах морены никогда не формировались. На "местный" характер ледника, образовавшего друмлиноподобный рельеф на лесном берегу р. Чемолган, указывает ориентация длинных осей друмлинов, расположенных в высотном интервале 1700-1900 м в урочище Тебеше. Судя по всему, в период риосского оледенения современные долины р. Чемолган еще не существовали, сток талых вод происходил по долине р. Шубадай (расположеннее западнее р. Чемолган). В пользу этой гипотезы говорит то, что только достаточно мощный водный поток мог сформировать из скальных пород V-образную долину, отметки дна которой на сотни метров выше верхних краев ее бортов.

В ходе дегляциации талые воды ледниковой осевой части хребта бассейна р. Чемолган изменили направление русла и с помощью селей сформировали антидевентную долину (характеристика которой близка к современной) в отложений верхней предгорной ступени. Высокий селя-

ми рыхлодоблоочными глинами) стал основой формирования сплошного конуса выноса р. Чемолган.

Потепление глобального климата в рисс-вюрмское межледниковье привело к практической полной дегляциации северного склона Заилийского Алатау. В ходе ступенчатого отступления ледников кониниды пересекли реку Каскелен и приводил к формированию молодых глыб. высокости, при этом в летнее время температура воздуха в основном стала выпадать в виде дождей. После того, как сила гравитации в основном стала выпадать в виде дождей, наступил период эрозии селей дождевого генезиса. Свыше половины селей глинистого и дождевого генезисов на предгорную равнину в рисс-вюрмское межледниковые из бассейна р. Малая Алматинка вынос селей глинистого и дождевого генезисов на предгорную равнину в рисс-вюрмское межледниковые из бассейна р. Малая Алматинка вынес 0,8-1,0 млрд т, т.е. около половины всего объема конуса выноса.

Степень разрушения морены риссского оледенения в бассейнах основных рек северного склона Заилийского Алатау различна. Так, в бассейне р. Малая Алматинка сохранился значительный объем морены в верхнем Ворота Тулоксу - устье р. Сарысай. Автомобильная дорога на стке Горельные - Чымбулак проходит по склону западной экспозиции зон, образовавшегося в теле морены риссского возраста. В бассейне р. Узункаргы в высотном интервале 1700-1800 м хорошо прослеживаются заплечики рисской морены, расположенные на высоте 100-150 м над долиной. В бассейне р. Чемолган центральная морена риссского возраста практически полностью сохранилась. В интервале высот 2500-3000 м она перекрыла отложениями морены вюрмского оледенения. Восточная же рисская морена в бассейне р. Чемолган разрушена на 70-80%, однако заплечики ее хорошо сохранились.

Современные логианы, формирующиеся в бассейнах рек, расположенных выше бассейна р. Большой Алматинка, были сформированы в зонах впадания нижнего плейстоцена и отложений неогена. В бассейнах рек Каскелен, Чемолган, Узункаргы образовались выездные долины. Для этого водным потокам и селям пришлось прорвать десятки метров коренных пород зернистой предгорной ступени. Мощные селевые наносы выносились из высокогорья на предгорную равнину.

Таким образом, уже после рисс-вюрмского межледниковых все южные выносы основных рек северного склона Заилийского Алатау прошли очертания, близкие к современным.

Значительное ложение климата в рисс-юрмское межледниковые привело к смене ландшафтов. Большая часть территории верхней предгорной ступени оказалась в полупустынной или даже пустынной зоне. Исчезновение растительного покрова на поверхности лесов верхней предгорной ступени послужило причиной резкой активизации тропических процессов. Был смыв лесовой покров, защищавший четвертичные и неогеновые отложения от зории временных потоками, формировавшимися на поверхности верхней предгорной ступени в междуречьях основных рек северного склона Заилийского Алатау. Отсутствие в составе рыхлобломочных пород, накумулированных в междуречьях, валунно-глыбовых фракций способствовало эрозионному расчленению междуречий, превращавшихся в бедленд. Подобную картину можно наблюдать в настоящее время в бассейне р. Каратурук, расположенным в восточной части хребта Заилийский Алатау. Не исключено, что формированию долин в междуречьях могло способствовать обводнение рыхлобломочных пород подземными водами, выклинивающимися в настоящее время по рельефу, отделяющему верхнюю предгорную ступень от коренного склона. За короткий срок, исчисляемый первыми десятками тысяч лет, в рисс-юрмские межледниковые образовался рельеф верхней предгорной ступени в зважи виде, в каком мы можем наблюдать его в настоящее время. В процессе формирования рельефа на предгорную равнину был вынесен огромный объем рыхлобломочных пород, составляющий несколько десятков кубических километров.

Верхний плейстоцен. В ходе юрмского ледникового периода высокогорная зона хребта Заилийский Алатау вновь обрела оледенение. Масштабы юрмского оледенения значительно уступали оледенению рисса, но превосходили современное. В долинах основных рек морены юрма опускались до высоты 2400-2500 м. В результате эрозии произошло углубление долин на первые десятки метров.

По нашей оценке эрозионное углубление долины р. Малая Алатинка в районе урочища Мынжилки за периоды рисского и юрмского оледенений не превысило 100 м. Примерно такое же углубление могло произойти и в нижнем плейстоцене. Таким образом, углубление этой долины за ледниковые периоды плейстоцена вряд ли превысило 200-300 м. Разность превышения гребня, ограничивающего долину р. Малая Алатинка в районе урочища Мынжилки с востока над дном долины состав-

двест - 700 м. Разность высотных отметок между дном долин и
чию долину с [18], несколько меньше, но и она пре-
вы - 50 - 600 м. Это обстоятельство, в совокупности с данными про-
вости которых в данной статье не представляется возможным [19] позволяет
утверждать, что уже в иллюстрированном плеистоцене долина р. Малая Альматинка
имела принципиальных отличий от современного состояния.

Грандиозные завалы, возникшие в результате
имевшего место в последней трети вюрмского оледенения, привели к об-
разованию самых крупных озер северного склона Заилийского Алатау.
Иссык и Большой Алматинский.

Голоцен. Окончание вюрмского оледенения было обусловлено не
глобальным потеплением климата Земли. На станции Восток в Антарктиде
температура повысилась примерно на 10°C [20]. В других частях мира
глобальное потепление проявилось в различной степени. В районе Заилийского Алатау потепление привело к резкой деградации оледенения.
Высота снеговой линии поднялась в среднем до значений 3750-3800 м
временное значение) [11].

Несмотря на то, что максимальное значение температуры климата
своего пикового голоцена в Антарктиде превышало современное значение на
 $0,7^{\circ}\text{C}$ [20], сама активность голоцена была значительно ниже, нежели в
период рисс-вюрмского межледниковых. На это указывает то обстоятельство,
что морены вюрмского оледенения находятся в настоящее время в поглощении
и не разрушенном состоянии и отложений селей голоцен на конусах выноса
рек Большая и Малая Альматинки составляют лишь около 1 % от общего
отложения рисс-вюрмской эпохи [17].

Очевидным признаком температурный режим голоцена на се-
верном склоне Заилийского Алатау [18] определялся приrostом
кустарниковых и травянистых сообществ на лесовом покрове верхней и
нижней предгорных ступеней, защищающих лессы от зеркального
действия линзового стока. Климатично большая часть площадей упо-
мянутых предгорных склонов до настоящего времени не стала ареной
проявления оползневых и глыбовых процессов.

Глобальное потепление климата и его возможные последствия.
Согласно одному из сценариев изменения климата [15], в горных районах
Казахстана в период до 2050-2075 гг. ожидается повышение средне-
годовой температуры воздуха в пределах $3,6\text{--}7,2^{\circ}\text{C}$. Это приведет к дополнитель-

переустройство ландшафтов северного склона Заилийского Алатау. Уже при повышении температуры на 2-3 °С приходит практически полное дегляциация хребта. Вся территория конусов вынуждена значительной часть верхней предгорной ступени оказывается в зоне полупустынь или пустыни.

На начальной стадии потепления, вследствие увеличения числа гляциальных озер и выходов моренно-делювиальных комплексов, их уединенного развития возрастает селевая активность гляциального генезиса. Затем, при дальнейшем возрастании температуры на 2-3 °С, создадутся благоприятные условия для фиксирования селей дождевого генезиса. Увеличивается продолжительность аспелажного периода, число стартовых зон, поддающихся быстрого стокообразования. Если в 20 веке мицкие сели дождевого генезиса формировались в каждом речном бассейне 1-2 раза в столетие, то при увеличении температуры на 2-3 °С мицкие сели будут образовываться ежегодно. Объясняется это тем, что при климате 20 века осадки, которые по интенсивности и слою могли привести к селеформированию из катастрофических масштабов, выпадали в стартовых зонах в твердом виде. В условиях потепления практически все осадки будут выпадать в виде дождей. За несколько десятилетий на конусы вынуждены будут вынесены сотни миллиардов кубометров селевых смесей. Если за период голоцена мощность упомянутых конусов возросла на 0,2-0,3 м, то за первую половину 21 века эта мощность может увеличиться на 10-50 м и более.

Вследствие опустынивания верхней и нижней предгорных ступеней их лесовой покров в считанные годы будет уничтожен. Покрытая в настоящее время растительностью низкогорная зона трансформируется в бедленд, где селевые процессы будут развиваться даже при относительно небольших по слою и продолжительности дождях.

Нарисованная картина может стать реальностью, если уже сейчас не начать работы по превентивному спироинению моренных озер, недопущению их возникновения и замедлению разрыва озер и котловин, которые при заполнении водой представляют серьезную опасность. Необходимо проводить работы по мелиорации стартовых зон селей дождевого генезиса в высокогорной зоне и предотвращению опустынивания среднегорья.

Все эти мероприятия могут показаться вынужденными в ход естественных природных процессов. Однако, если вспомнить, что процессы насыщения иллюзий длится 70-90 тыс. лет (продолжительность образования насыщенных иллюзий), то становится очевидным, что

нр.). Из моногумидного климата на первые тысячи лет не
важны - либо серия из последствием. Наши потомки, в
каком-либо месте на планете, не имея выше существующей, смогут
найти спо-
ность второго буде-
ние, не имея выше существующей, смогут
тимидное решение проблем переноса (закрепления) наших
112

СПИСОК ЛИТЕРАТУРЫ

1. Борисов И.И. Изменение климата в кайнозое. - СПб.: Гидрометиздат, 1992. - 200 с.
2. Гаврилов В.В. К теории формирования долин // Известия АН КазССР. Сер. геол. - 1959. - Вып. 3. - С.89-98.
3. Жандас М.Ж. Агрессивная эрозия и формирование речных долин в Алатау / Географические проблемы освоения пустынь Казахстана. - Алма-Ата, 1965.
4. Жандас М.Ж. Геоморфология Западного Алатау и проблемы формирования речных долин. - Алма-Ата: Наука, 1972. - 162 с.
5. Жандас М.Ж. К теории формирования речных долин / Географические исследования в Казахстане - Алма-Ата, 1968. - С.112-121.
6. Жандас М.Ж. Новейшие тектонические движения и формирование рельефа Западного Алатау. В кни: Происхождение и история Земли. Алма-Ата, 1972. - С. 228-237.
7. Жандас М.Ж. Палеогеографические условия формирования гидрографической сети и речных долин Западного Алатау (статьи автора) // Проблемы физической, геохимической и медицинской географии Казахстана. - Алма-Ата, 1967. - С. 26-34.
8. Жандас М.Ж. Проблемы формирования речных долин в условиях становления высокогорного рельефа / Развитие географических наук в Казахстане - Алма-Ата: Казахстан, 1967. - С. 34-36.
9. Жандас М.Ж. Скорость углубления рек / Географический сборник. - Алма-Ата, 1975. - С. 30-36.
10. Ильинская долина, ее природа и ресурсы / Под ред. М.И. Ламоновича. - Алма-Ата: Изд-во АН КазССР, 1963. - 341 с.
11. Казаков Д.Н. Новейшие движения Западного Алатау // Вестник АН КазССР. - Алма-Ата: Изд-во АН КазССР, 1948. - № 1(34).
12. Казаков Д.Н. Формирование Западного Алатау, как природная единица // Известия АН КазССР Сер. геол. - 1954. - Вып. 18. - С. 17-28.
13. Ковалевский Н.Ф. Гравиметрический разрез В.И. Анопченко Э.М., Новицкий С.А. Инженерно-геологические условия предгорной зоны Западного Алатау // Алма-Ата, 1967. - 140 с.
14. Кулаков В.М. Порядок глобальные изменения за последний плеистоцен-квартерный цикл // Известия АН СССР Сер. геогр. - 1991. - № 1. - С. 5-22.
15. Ошакова А.А. Глобальные изменения климата и меры адаптации для бассейнов Каспийского моря и горных районов Казахстана и Юга 112

Восточного Казахстана: Резюме для ~~доктора~~ определяющих социально-экономическую и природоохранную политику - Алматы: Казахский научно-исследовательский институт Назарбаева инфраструктуры среды и климата, 2000 - 49 с.

- 16 Перова В.Ф. Селевые явления на территории СССР // Известия Академии наук и техники Сер. гидрология. - М., 1989. - Т. 2. - 150 с.
 - 17 Степанов Б.С., Яфиязова Р.К. Климат горного и селевого бассейна на северном склоне Заилийского Алатау // Гидрометеорология и гидрология. - 2002. - № 1. - С. 74-81
 - 18 Токмалгалиев Г.А. Ледники Заилийского Алатау. - Алматы: Наука, 1976. - 367 с.
 - 19 Яфиязова Р.К. Основные закономерности формирования селевых заносов выноса (на примере северного склона Заилийского Алатау). Автореф. дис. ... канд. геогр. наук. - Алматы, 1998. - 21 с.
 - 20 Jouzel, J., C. Lorius, J.R. Petit, N.I. Barkov, and V.M. Kotlyakov. 1994. Vostok isotope temperature record pp. 590-602. In T.A. Boden, D.P. Kaiser, R.J. Sepanski, and F.W. Stoss (eds.), Trends'93: A Compendium of Data on Global Change. ORNL/CDIAC-65, Carbon Dioxide Information Analysis Center, Oak Ridge National Laboratory, Oak Ridge, Tenn., USA.

Казахский научно-исследовательский институт
мониторинга окружающей среды и климата

ДЕ АЛАТАУНЫҢ ТЕРІСКЕЙ БЕТКЕЙ РЕЛЬЕФІНІҢ КУРЫЛУЫ

Сеғалғының докторы

БС Стандар

Георгий Пыльчанский

РК ЯФиМЗ

УДК 504.06(574)

МОДЕЛИРОВАНИЕ УСТОЙЧИВОГО РАЗВИТИЯ ЭКОСИСТЕМЫ ПРИКАСПИЙСКОГО РЕГИОНА

Канд. экон. наук

А. М. Шумпутя

Доктор техн. наук

М. С. Дубыбеков

Канд. физ.-мат. наук

Е. Т. Оразбаев

В статье приводятся данные моделирования состояния экосистемы Каспийского бассейна с применением геоинформационных систем и нейронетовых методов. При этом приводятся данные метеорологических спутников, как один из способов оценки состояния окружающей среды в этом регионе.

Данный проект разрабатывается в рамках "Повестки - 21" с целью наполнения его конкретным содержанием. Заметим, прежде всего, что словосочетание "устойчивое развитие" вызывает массу вопросов. Согласно теории сложных систем, переход системы в неустойчивое состояние является необходимым условием ее качественного развития. Другое дело, что система из неустойчивого состояния может перейти в катастрофическое состояние. Такое обычно не происходит, если в системе есть "синергетический механизм" способный упреждать это явление.

Рассмотрим вкратце такой механизм, применительно к Прикаспийскому региону. На рис. 1 представлена структура системы природопользования в регионе, ее структурные элементы, их функции и связи. Объектами управления являются основные виды деятельности представленные в регионе, их влияние на природную среду и реакция природной среды на масштабах различных. Основные виды их деятельности тесно связанны с природопользованием. В Прикаспии являются: нефтяные операции, рыбный промысел и морской транспорт. Нефтяные операции охватывают целый спектр деятельности, начиная от геологоразведки и кончая производством конечной продукции. Рассмотрим в качестве примера один из видов нефтяных операций – этилентан на фоне полупного нефтяного поля. Как видно из космического снимка полученного 18.08.2001 г. со спутника NOAA (рис. 2) в целом занимаются все Прикаспийские государства и в больших масштабах – известно, линиями факселей по-

путного газа на месторождениях определена МПРОСС РК как приоритетная задача охраны окружающей среды. Однако, односторонние действия могут оказаться малоэффективными и принести немалый урон экологии Казахстана. В то же время групповые действия осложнены несогласием интересов различных стран в этом вопросе [1-2].

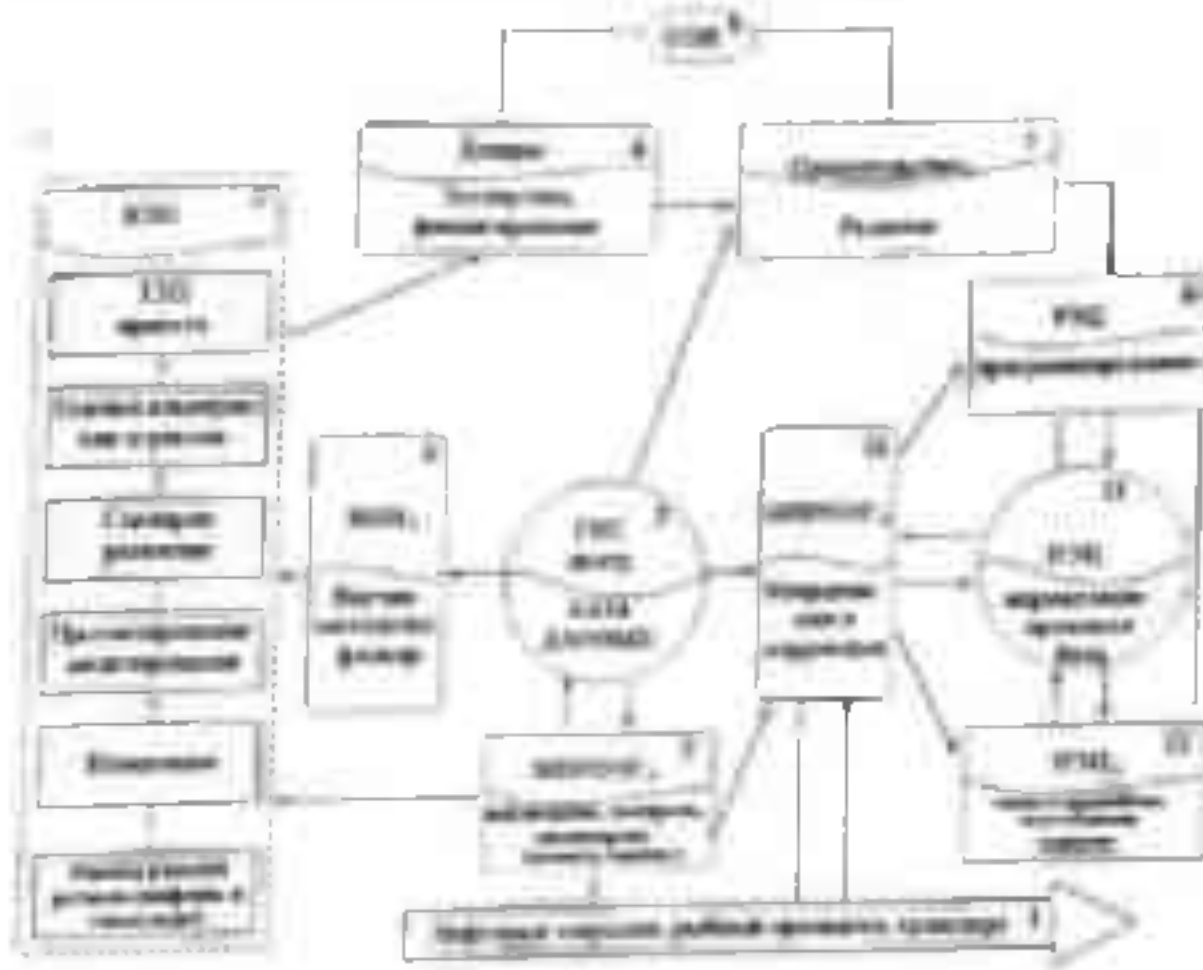


Рис. 1. Концепция моделирования устойчивого развития Прикаспийского региона

Блоки системы можно условно разделить на четыре части:

- подсистему информационного обеспечения (блоки 2, 3);
подсистему подготовки решений (блоки 4, 5);
подсистему согласования интересов (блоки 6, 7, 8);
подсистему принятия и реализации решений (9, 10, 11, 12).

Рассмотрим несколько подробней работу подсистемы на упомянутом выше примере борьбы с нефтяными факелами. Здесь прежд ~~же~~ необходимо объективный и непрерывный контроль за нефтяными фонтанами. Такие функции должен выполнять космический и наземный мониторинг.

Система метеорологических спутников
предоставляет информацию о поверхности Земли в пяти спектраль-
ных каналах: трех видимых и трех инфракрасных с разрешением 1 км.
Быстроходный сканер AVHRR в тепловых каналах
различает разницу температур в 0,1 °C и определяет абсолютную
с точностью 0,2 °C. Таким образом имеется возможность
определить тепловой источник площадью 50 м² со спектрально-
чувствительной температурой выше 2000 °C (газовое пламя)

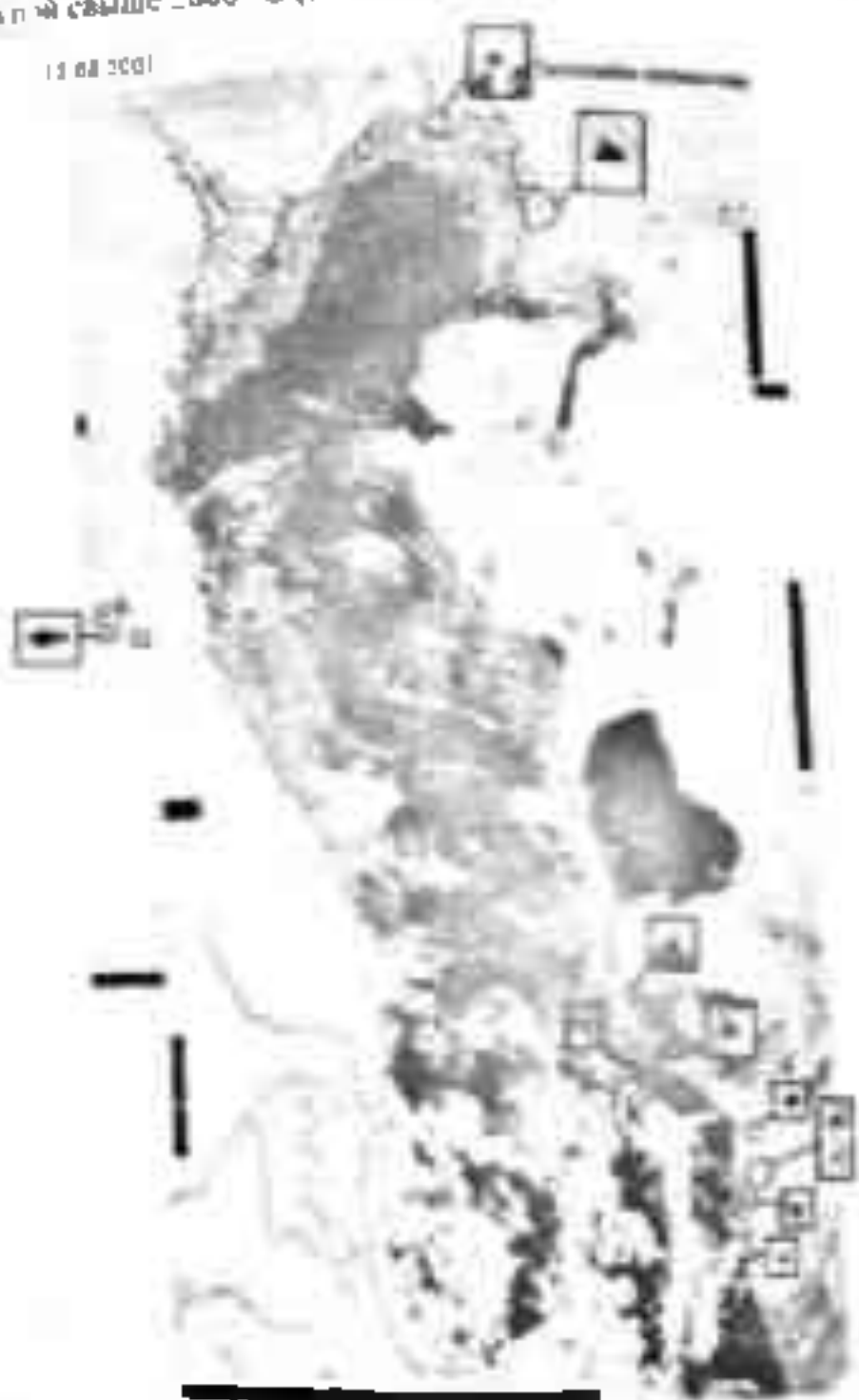


Рис. 2. Мониторинг тепловых аномалий в акватории Каспийского моря
В Институте гидрометеорологии и мониторинга окружающей среды
и полей района Каспийского моря с помощью NOAA/AVHRR.

Распознавание тепловых источников проводится на основании регистрации аномальных температурных градиентов (Рис. 3, 4). Точность такого распознавания можно существенно улучшить, если использовать дополнительную наземную картографическую информацию о расположении разрабатываемых месторождений нефти и газа.

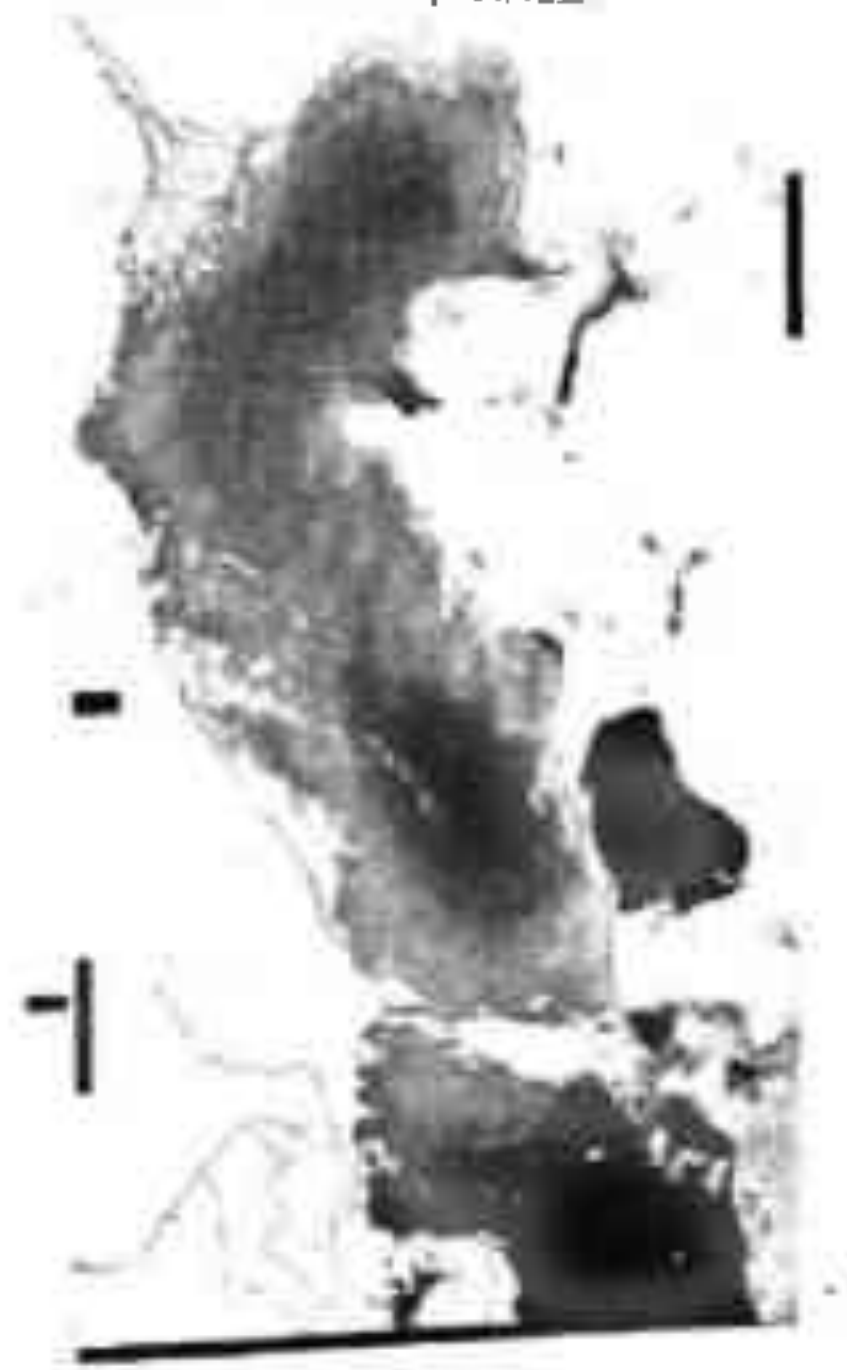
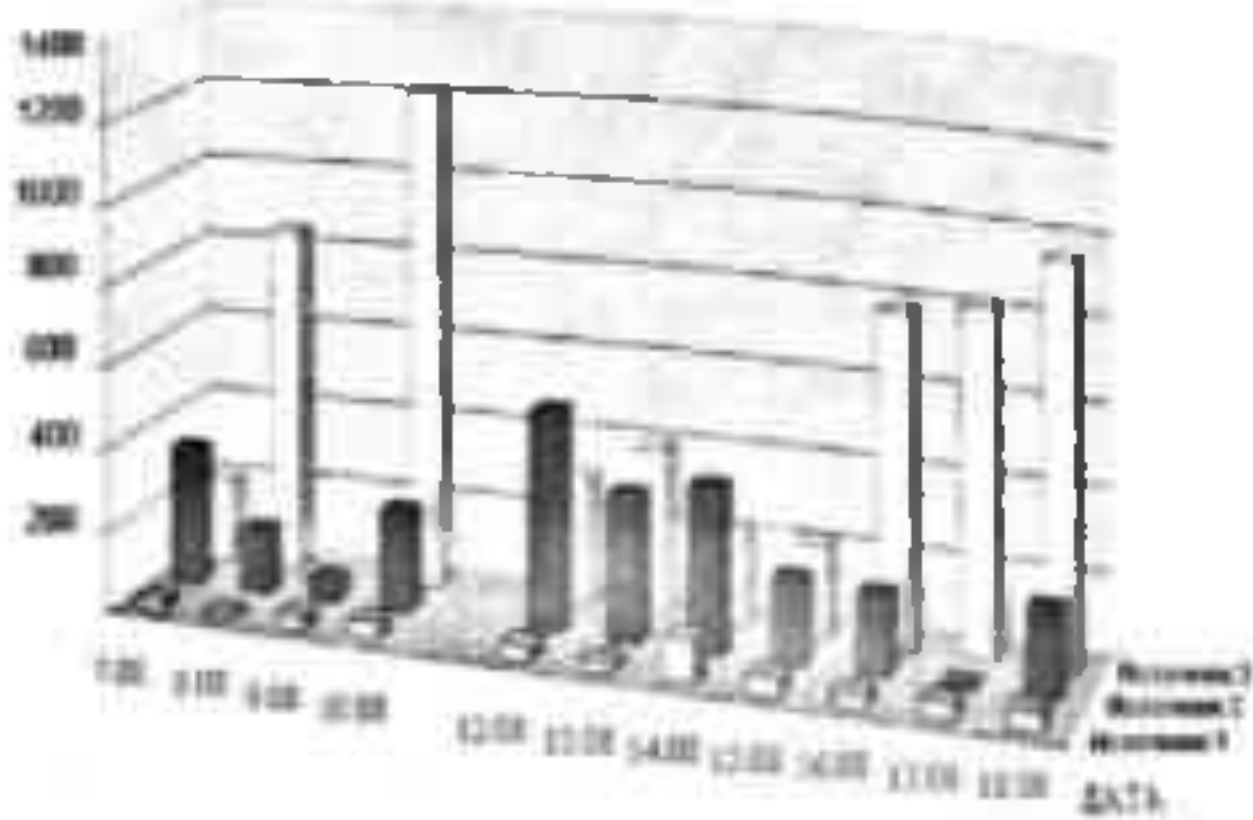


Рис. 3 Схема расположения тепловых источников
1 – источник №1; 2 – источник №2; 3 – источник №3

В перспективе было бы полезно иметь географическую информационную систему (ГИС), соединяющую картографическую информацию о нефтегазовых месторождениях с данными спутникового мониторинга. Такая система могла бы отслеживать тепловые режимы работы данных объектов.

ектов зон и спутниковую и объективную информацию о ресурсах, фоне и течении. Далее полученные со спутника данные попадают в блок подготовки решений, который через фильтр научных знаний. Здесь должны решаться задачи идентификации моделей полученных, статического состава продукта с помощью гидрологических переносов по алгоритмам Каспийского моря и влияние на качество воды в различных местах. Такие задачи может решать специальная научная группа. В частности в Институте математики МОН РК разработаны уникальные информационные технологии решения идентификационных задач нейросетевыми методами.

Глобальная модельность
из гидрохимии
(по данным спутников)



Концепция представляет собой документ, который определяет цели и основные стратегические направления развития системы для докумен-

жения шели. Пример Западной Сибири наглядно свидетельствует с том, что концепция развития региона как нефтедобывающей базы страны оказалась неподходящей. В частности, комплекс переработки не развивался адекватно комплексу добычи, что привело не только к значительным "парекосам" в природной составляющей и нарушило, например, термический режим "вечной мерзлоты", но и к огромным экономическим издержкам.

Что касается утилизации на финальных нефтяных газах и "отходов" газодобычи, концепция должна предусматривать не только их переработку, но и закачку в пласт нефтяных месторождений для повышения отдачи нефтегазоносных структур. Однако, поскольку эти "отходы" являются собственностью различных компаний и государства, здесь возникают проблемы трансфера такого рода права. Эти вопросы также должны быть отработаны в концепции.

Моделирование таких сложных систем, как природно-хозяйственный комплекс региона, в настоящее время находится в стадии становления и разработки. Традиционный методологический аппарат не учитывает такие особенности сложных систем, как неадекватность "отклика" разных частей системы на воздействия.

В настоящее время для выработки прогнозов стали использовать нейросетевые методы. Эти методы, возникшие изначально для распознавания графических образов, затем стали применяться и в прогнозировании. В частности, в Институте математики разработаны методы прогнозирования поведения сложных нелинейных систем, методами имитационного эксперимента и линейного компьютеринга. Эти разработки могут быть успешно применены и для прогнозирования устойчивого развития Прикаспийского региона.

Основной функцией подсистемы согласования интересов является экспертиза представленных проектов развития и согласование различных концепций региона, могущих выступить в этих проектных решениях. Дело в том, что экологические проблемы все чаще становятся источником неподъемных трений, конфликтов, социальной напряженности с серьезными местными последствиями. Речь идет, таким образом, о пересмотрении концепции национального суверенитета в свете спадания международной экологической безопасности.

Подсистема реализации правительствами стран региона решений, отвечает за разработку планов действий, связанных с регулированием отдельных видов деятельности. Эти планы действий отличаются временем и пространственным масштабом. Поэтому они развернуты в

разные блоки, региональные планы в блок "программирования", национальные - в блок "планирования". Блок "нормативно-правовые" - в блок "законодательных актов и нормативных правовых актов", т.е. "пропускать через фильтр" законодательных актов и нормативных правовых актов.

Далее появляется нормативно-правовая база всегда числовая и изменяется во времени, необходимо периодически ее координировать и корректировать. Эти функции должны быть возложены на Министерство природы и охраны окружающей среды и природных ресурсов стран региона.

Например, может состоять в том, чтобы озеленить территории факелов в 2010 году, может состоять в том, чтобы озеленить квоты утилизации на факел для стран региона. Эти действия должны быть реализованы в соответствии с международного права. Шансы этих различных стран распределяют по недропользователям различным способом в зависимости от развитости рыночных отношений: одни страны могут сразу перейти на торговлю квотами, другие предпочут введение нормативов ПДВ. В любом случае эти действия должны быть координированы и корректированы в соответствии с региональными планами развития.

В результате выполненных работ можно сделать следующие выводы:

Прикаспийский регион является уникальным объектом для отработки методик устойчивого развития регионального уровня.

Моделирование устойчивого развития региона является приоритетной задачей Глобального экологического фонда (ГЭФ).

СПИСОК ЛИТЕРАТУРЫ

1. Мельникова Г.Л. Точки перелома и принятие решений в природоохранении. Сборник трудов НИИИ системных исследований. 1999. - С. 4-11.
2. Кранберг П. Дистанционное изучение земли. - М.: Мир. 1998. - 343с.

Министерство природных ресурсов и охраны окружающей среды РК
Институт математики МОН РК

КАСПИИ ЧАНЫЙДАТЫ АЙМАК ОКОЖУЙЕСТИН ТУРАКТЫ ЛАМУЫШ ҮЛГІЛЕУ

Экономика
Техника
Физика
Математика

Л.М. Шукпупов
М.С. Дашибеков
Е.Т. Оразов

Мактабда -
адистерди қолдана
Мемлекеттери көлтірдін
ортаның әмбебаптың
архитектурасыда
бір тасбін ревиде
рікаптердин мемлекеттері көлтірдеді.

СОДЕРЖАНИЕ ХЛОРООРГАНИЧЕСКИХ ПЕСТИЦИДОВ В ВОДАХ РЕКИ ИЛИ

Канд. биол. наук Г.Д. Садыкова

Изучено содержание хлорорганических пестицидов в водах реки Или и данных отложений. Показано, что данные отложения накапливают пестициды в больших количествах и могут являться источником вторичного загрязнения реки.

Пестициды являются одними из наиболее опасных загрязнителей окружающей среды. Применение пестицидов позволило полностью предотвратить такие заболевания как тиф, малярия и способствовало увеличению производства пищевых продуктов. В настоящее время известно около 10000 пестицидов. Нестойкие пестициды остаются в окружающей среде от 1 до 12 недель, средней стойкости 1-18 месяцев, стойкие 2 года и более. Стойкие пестициды попадают в водную среду прямо и косвенно. Если пестициды достаточно сильно сорбированы на частичках почвы, то даже наиболее растворимые из них не выщелачиваются из почвы. Основное загрязнение поверхностных вод пестицидами происходит в процессе зреции почв. Поскольку пестициды присутствуют в воздухе, то в результате атмосферных процессов они попадают в водную среду. Во время распыления пестициды могут быть унесены очень далеко от места применения. Такие частицы остаются в воздухе довольно долго. Пестициды попадают в воздух при испарении с обработанных поверхностей [1, 9].

В большинстве случаев пестициды это не разлагающиеся, долго живущие в природной среде яды с широким спектром действия. Они разрушают многие организмы, входящие в цикл питания, на стадии личинок. Подавляют фотосинтез фитопланктона, вызывают уменьшение толщины яичной скорлупы у птиц. Из всех пестицидов наибольшую озабоченность вызывает 1,1,1-трихлор-2,2-бис (п-хлорфенил) этиан (ДДТ), его период полураспада несколько лет, он устойчив к химическому разрушению и обнаружен во всех уровнях биосферах во всех частях света. В жировых тканях пингвинов в Антарктиде было обнаружено высокое содержание ДДТ. ДДТ концентрируется в цепочке питания — если содержание его в воде $5 \cdot 10^{-6}$ мг/дм³, то в рыбе

рибой 27 мг/кг. ДДТ
2 мг/кг, а в тканях птиц - 10 мг/кг. Усиление
ниты и концентрированные в зерновых сорняках применимы и
проявляют почвенно-растительную способность. Результатом биоактивности
действия стойких пестицидов является снижение восприимчивости
рыб кишечных личинок, корицейки, бермудский
ник скопа, что привело в
самое высокое соотношение фитогенетиков, концентрирующих общий
положительный эффект. В результате концентрирования общей
стабильности действий пестицидов на птиц является
одним из примеров, обнаружено их действие и на другие организмы, причем
что многие виды рыб погибают в результате накапливания пестицидов в
органическе [1, 9].

Хлорорганические соединения обычно сильно поглощаются в
цини вещества и почвой, а в гидросфере - частицами органических и
минеральных веществ и осадком. Продукты распада хлорорганических ге-
штада, как в воде так и в осадке почвы. Относительное содержание
известных ДДТ - ДДД и ДДЭ зависит от свойств осадка. Содержание про-
дуктов распада ДДТ изменяется в зависимости от глубины расположения
и, причем чем больше глубина, тем выше содержание ДДЭ. Нет большой
разницы между ДДТ и его продуктами распада, так как все они достаточно
устойчивы и имеют большое время жизни [1]. Гексахлорциклогексан
ГХЦГ применяется в основном в виде двух изомеров: гексахлорана - α-
ГХЦГ и линдана - β-ГХЦГ [1]. ГХЦГ применяется в настоящее время в кач-
естве пропаганды семян и инсектицида фактически на всех сельско-
хозяйственных культурах, включая зерновые ГХЦГ, также как и ДДТ, отно-
сится к очень устойчивым пестицидам, время его полураспада меньше чем у
ДДТ, но также составляет несколько лет. ГХЦГ мало растворим в воде, но
имеет способность поглощаться в гидрофильными веществами почвы. Поэтому
может служить вместо лишьем этих соединений и местом концен-
трации большинства хлорорганических соединений [1]. ГХЦГ и ДДТ, по
своим свойствам и экологической опасности, относятся к группе повышен-
ированных биоснидов, т.е. к группе приоритетных особо токсичных
прониктелей природной среды [9].

Река Или будучи основным источником водных ресурсов
то озера Балхаш является одним из важнейших водотоков Казахстана. Длина
реки, расположенной в зоне, имеет разнообразную флору и

Поэтому необходим мониторинг качества воды реки, особенно по таким опасным веществам, как хлорорганические пестициды. «Казгидромет» проводит многолетние наблюдения за содержанием пестицидов в водотоках и водоемах Казахстана. Особое внимание уделяется изучению хлорорганических пестицидов - ДДТ и ГХЦГ, а также их производных и изомеров.

С 1972 года применение ДДТ на территории СССР было запрещено, но из-за своей устойчивости оно существует и его производные обнаруживаются в объектах природной среды до настоящего времени. Интенсивно применяемый и в настоящее время акарицид кельтан (диофенол) по своей химической структуре очень близок к ДДТ и имеет аналогичные очень устойчивые производные - ДДД и ДДЭ. В предыдущие годы наблюдения за содержанием кельтана проводились в основном при мониторинге загрязнения почв.

Целью настоящей работы являлось изучение загрязнения хлорорганическими пестицидами реки Или. Ранее проводились наблюдения за загрязнением р. Или пестицидами - ДДТ и ГХЦГ и их производными. Пробы воды отбирались в пунктах контроля качества воды. Схема расположения постов контроля качества воды представлена на рис. 1.

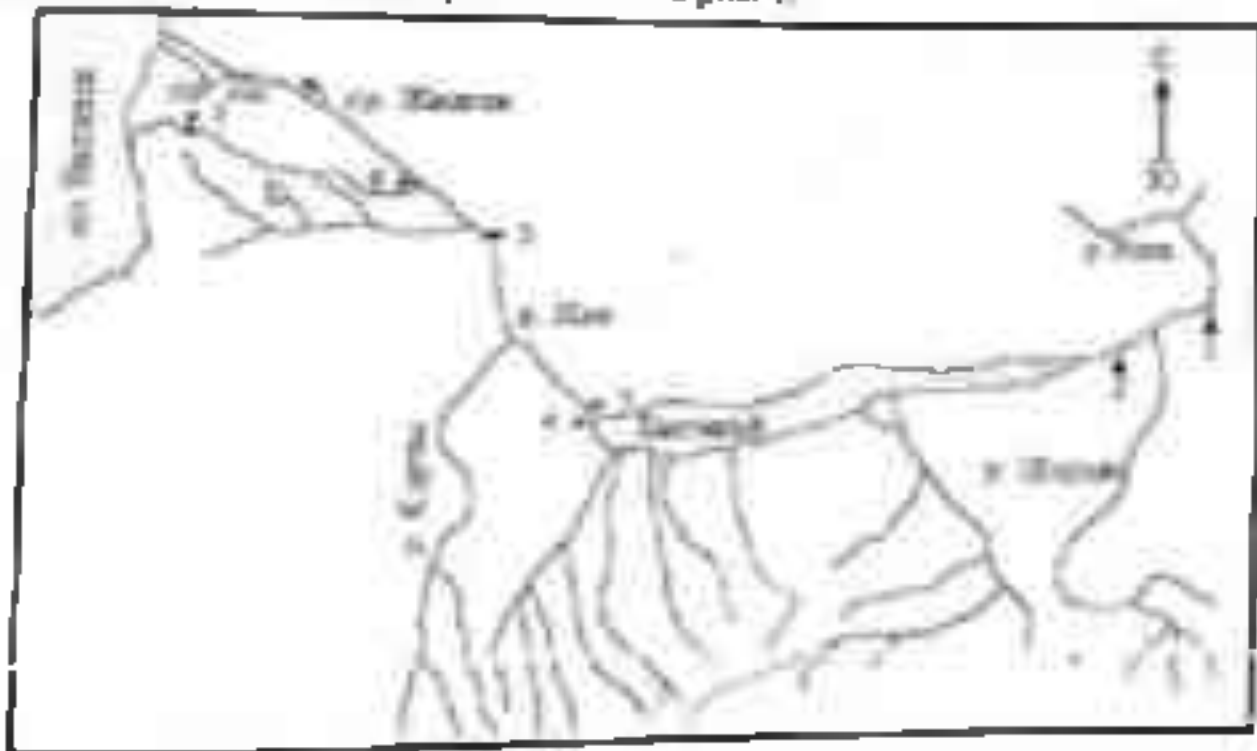


Рис. 1. Карта-схема расположения постов контроля качества воды на реке Или

1. Лубин - пограничный створ, расположенный в 14 км ниже впадения р. Устек, крупных источников загрязнения нет, расстояние от устья 693 км;
2. Абай - створ расположенный в 66 км ниже впадения р. Или в Балыкшину, крупных источников загрязнения нет, расстояние от устья 614 км;

3. Узенбай - створ расположенный в 7,5 км от г. Кокшетау, 2,8 км выше
поселка Акжарма в районе промышленного объекта сточных вод.
4. 27 км - створ расположенный в 37 км ниже г. Кокшетау в 26 км
от г. Аксу. ГЭС расположена в 17 км от створа.
5. Ушакарма - створ расположенный в 6 км ниже с. Ушакарма, в 26 км
ниже сброса коллекторно-дренажных вод с Акжаринского
сыва, расстояние от устья 26,4 км.
6. Пр. Жидели - створ расположенный в 1 км ниже отверстия от
4 б км ниже пос. Арас-Тобе, в 23,5 км выше сброса колле-
кторно-дренажных вод Илийского Управления оросительных систем,
расстояние от устья 228 км.
7. Союз Дагибели - замыкающий створ реки, 0,5 км выше села г. Даги-
бель, расстояние от устья 35 км

Обратные проб воды и донных отложений отбирали по стандартным
таблицам [5, 6]. Анализ обратов воды и пробы на содержание пестицидов про-
водили методами высокоскоростной жидкостной хроматографии на хромато-
графе HP 1100 фирмы "Hewlett-Packard" [7]. В качестве стандартов использовали
автотестовые смеси пестицидов (Свидетельство № 2001-100)

На рис. 2 представлены данные о максимальном загрязнении
ими пестицидами с учетом расхода воды в пунктах наблюдения, концен-
трации пестицидов выражены в мкг/дм³, расход воды в м³/с. Данные ока-
зывают период максимальной антропогенной нагрузки на Или
Балхашский регион в 1986-1987 гг. [2]. По данным гистограммы очевидно
что во всех створах присутствовал ДДТ и его производные. Концентрация
ДДТ уменьшалась с увеличением водности реки. Максимальные концен-
трации ГХЦГ наблюдалась на пограничном с КНР створе пристань Ду-
бунь (1). Далее по течению реки происходило уменьшение загрязнения,
что можно объяснить разбавлением, осаждением и микробиологическим
окислением. В створе Ушакарма (5) наблюдалось увеличение концен-
трации пестицидов, которое не зависело от расхода воды. В этом пункте про-
исходило постоянное загрязнение ими воды р. Или, что говорит о загряз-
ненности почвы, с которой сбрасывались в реку коллекторно-дренажные
воды.

Следовательно из представленных данных можно сделать выводы о
том что несмотря на прошедший момент запрета использования ДДТ по-
период времени в 15 лет почвы сельскохозяйственных массивов Или-

Балхашского региона оставались загрязненными. Довольно высокие концентрации хлорорганических пестицидов в воде поступали с территории КНР.

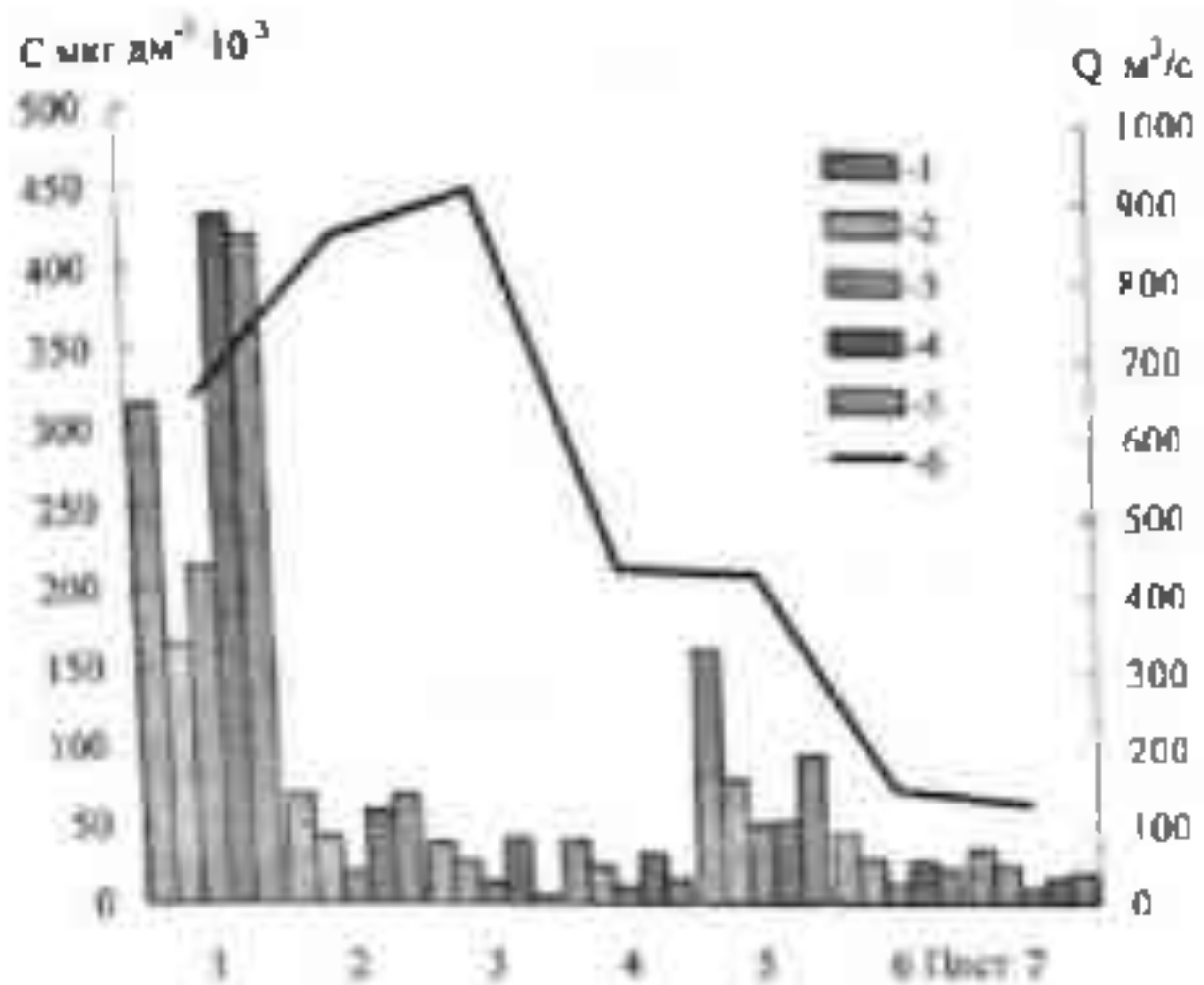


Рис. 2. Максимальное содержание хлорорганических пестицидов в воде р. Или за 1986-1987 гг.

1 - ДДТ; 2 - ДДД; 3 - ДДЭ; 4 - гексахлоран; 5 - линдан; 6 - расход воды.

В настоящее время в связи с многолетними запретами на использование ДДТ и применением других менее стойких пестицидов картина загрязнения р. Или изменилась. На рис. 3 представлены данные по содержанию пестицидов в воде реки Или летом 2001 г. Во всех наблюдавшихся створах присутствует акарицид кельтан, по структуре подобный ДДТ и его производным. Загрязнение воды ГХЦГ наблюдается, начиная с Чингильдинского сельскохозяйственного массива, а именно в створах: водохранилище Капчагай (3) и Ушкакары (5). Общее загрязнение реки этими хлорорганическими пестицидами зависит от расхода воды. Минимальные концентрации наблюдаются в створе водохранилища Капчагай (3) максимальные – в створе Ушкакары (5). По нормативам качества для воды рыболово- хозяйственных водоемов пестициды кельтан и ГХЦГ должны отсутствовать.

концентрации не должны превышать 0,01 мкг/дм³ [4, 8]. Очевидно, загрязнение йодом происходит за счет эрозии почв и бровок оросительных угодий в районах массивов орошаемых земель. Повышенный концентрация ГХЦГ во всех створах земель, кроме пост. 1, можно проиллюстрировать, что в настоящее время пестицид используется в значительно меньших количествах. Одной из причин уменьшения концентрации этих яда есть то, что в настоящем время в многих сельскохозяйственных массивах используются более эффективные и менее стойкие фосфорорганические яды. Кроме того, по сравнению с концом 80-х годов, значительно уменьшились посевные площади сельскохозяйственных культур. Положительным моментом является то, что в настоящее время в воде реки отсутствует ДДГ и его производные.

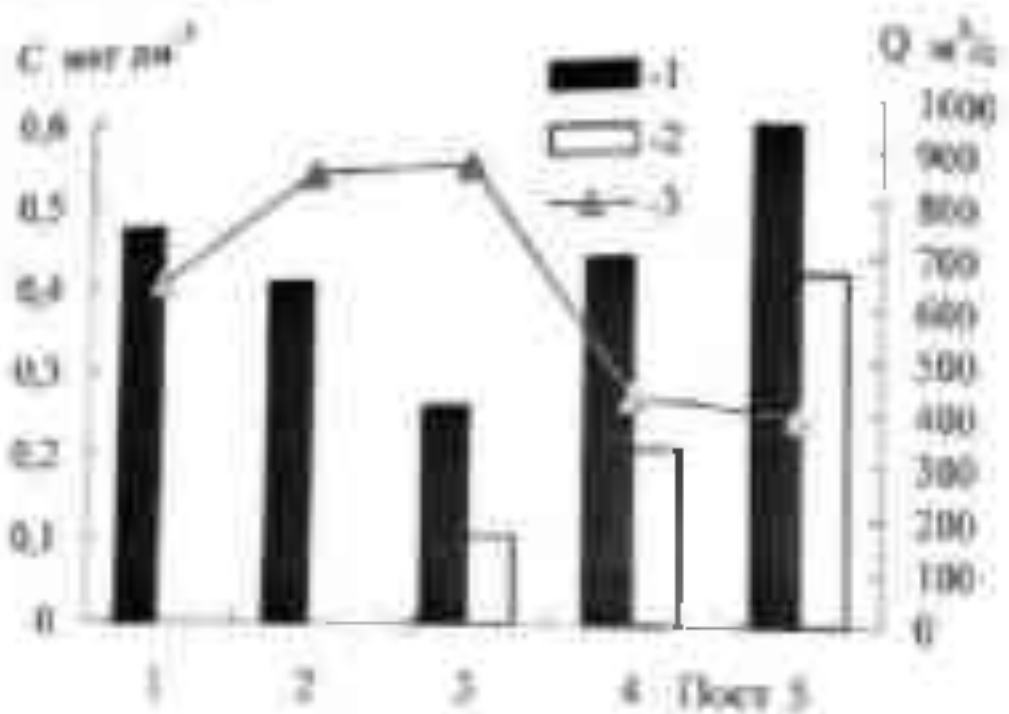


Рис. 3. Содержание пестицидов и расход воды в р. Или в 2001 г.
1 – кельттан; 2 – ГХЦГ; 3 – расход воды.

Поскольку данные отложения могут сохранять и концентрировать химические пестициды, был проведен анализ данных отложений в створах в летних наблюдений. На рис. 4 представлены данные по содержанию пестицидов в донных отложениях реки Или.

Данные отложения содержат очень высокие концентрации пестицидов, по сравнению с водой, что объясняется способностью микроорганизмов и донных отложений накапливать их. Поскольку во всех створах присутствует ГХЦГ, в этот период этот пестицид наблюдался во всех створах, очевидно, что наличие этого пестицида в донных

ниях связано с предыдущим многолетним загрязнением воды р. Или. Максимальное количество ГХЦГ в донных отложениях характерно для пункта наблюдения Ушкярово (5), где этот пестицид присутствует в воде также в 10 раз ниже, чем ГХЦГ, что говорит о его высшей устойчивости, хотя в воде он наблюдался во всех створах.

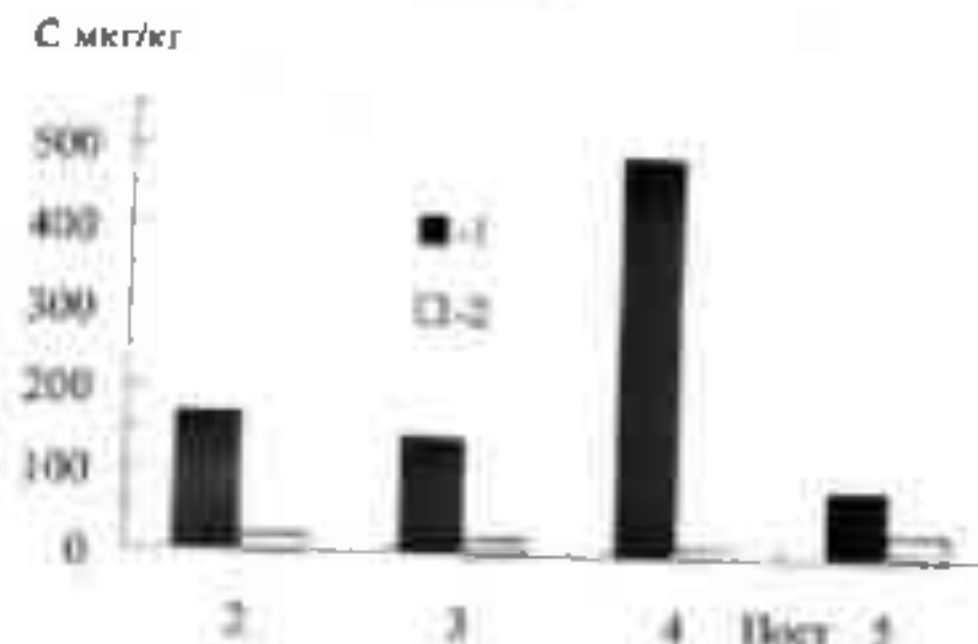


Рис. 4. Содержание пестицидов в донных отложениях р. Или летом 2001 г.
1 – кельтам; 2 – ГХЦГ

На основании полученных данных можно сделать следующие выводы:

- С увеличением расхода воды в реке концентрация пестицидов уменьшается, происходит разбавление загрязнения.
- Загрязнение реки акарицидом кельтамом происходит на всем ее протяжении, уровень кельтана меняется за счет изменения расхода воды. (минимальное содержание при максимальном расходе)
- Загрязнение вод реки Или ГХЦГ характерно для створов, где есть сток с больших сельскохозяйственных массивов.
- Донные отложения накапливают пестициды и химикаты в них в 50 – 1000 раз выше, чем их содержание в воде. Поэтому они могут быть источником вторичного загрязнения рек.
- Общий уровень содержание хлорорганических пестицидов в эпигейном слое земли значительно ниже, чем в конце эпигейного слоя.
- В воде р. Или в настоящее время отсутствует ДДТ, что объясняется дополнительным токситетом на его использование.

Таким образом, на основании представленных результатов можно констатировать факт присутствия хлорорганических пестицидов в донных

Или, если по нормативам это недопустимо. Учитывая то, что в дальнейшем планируется многое открытие новых питанием которых являются различные хлорорганические соединения, включая ионные. Использование различных методов экологического мониторинга для этой экосистемы Цели-Балыкской гидроузла предполагает большую заботу для всей экосистемы Цели-Балыкской гидроузла.

СПИСОК ЛИТЕРАТУРЫ

1. Да О. М. Бокрис. Химия окружающей среды. – М.: Химия. – 1982. – С. 356 – 365
2. Ежегодник качества поверхностных вод и эффективности проводимых экологических мероприятий по территории Казахской ССР за 1987 год. – Алма-Ата: Казгидромет. – 1988. – С. 169 – 188
3. Н. В. Миньшина, Е. В. Новикова, С. Р. Белова, Т. Н. Панкова. Оценка качества пестицидов. – М.: Химия. – 1985. – С. 146 – 147.
4. РД 52 18 263-90. Организация и порядок проведения наблюдений содержанием остаточных количеств пестицидов, регуляторов роста растений и основных побочных продуктов их разложения в природной среде. – М.: – 1990. – с. 8, 49 – 52.
5. РД 52 24 71-88. Методические указания по определению содержания хлорорганических пестицидов и их метаболитов в почвенных отложениях. – Ростов-на-Дону: Роскомгидромет СССР. – 1988. – с. 3 – 4.
6. РД 52 24 66-88. Методические указания по определению содержания галогенорганических пестицидов и их метаболитов в поверхностных водах. – Ростов-на-Дону: 1988. – с. 5.
7. Р. Саннисен, П. Санара, К. Штетт. Анализ воды. Органические и неорганические примеси. Практическое руководство. – М.: «Хьюлетт-Паккард Гес. м. б. Х.», – 1994. – С. 116 – 128.
8. Список химических и биологических средств борьбы с вредителями болезнями растений и сорняками и регуляторов роста растений разрешенных для применения в сельском хозяйстве на 1982 – 1985 годы. – М.: – 1982. – с. 156 – 157.
9. Chemical pollution: A global overview. – Geneva: UNEP, 1992. – С. 10 – 12.

Центр мониторинга загрязнения природной среды.

ХЛОРООРГАНИКАЛЫК ПЕСТИЦИД ИЛІН ӨЗЕН СҮҮНДА ТАРАЛУУЫ

Биол. гылымдар канд. Г.Д. Садыкова

Сүүндө жана түнбасында хлорорганикалық пестицид тарауды зерттегендеги. Сүүндебасы как мөлшерде пестицид жылар, ал жаңдай койтурастау мүмкіндігі көрсөндиш.

УДК 504.058.36.550.4

РАСПРЕДЕЛЕНИЕ ПОДВИЖНЫХ ФОРМ КАДМИЯ И СВИНЦА В ПОЧВОГРУНТАХ ГОРОДА АЛМАТЫ

Канд. биол. наук

Ж.М. Жапаров

Г.Д. Садыкова

Представлены данные о содержании подвижных форм свинца и кадмия в почвогрунтах города Алматы. Показано, что распределение кислотно-растворимых форм свинца и кадмия неодинаково в различных глибинах. Выявлено, что наиболее загрязненный является центральный район города.

Изучение загрязнения окружающей среды тяжелыми металами является актуальным в настоящее время. Тяжелые металлы являются ингибиторами ферментов в организме человека. Следующими симптомами нарушения обмен веществ, из наиболее клинических последствий действия неорганических соединений свинца является его способность заменять кальций в костях, являясь постоянным источником отравления в течение длительного времени. Особенно опасно действие свинца на маленьких детей, оно вызывает умственную отсталость и хроническое заболевание мозга. Кадмий проникает в организм человека и длительное время накапливается в органах, ведет к хроническому отравлению [4]. Специфическое заболевание, вызванное кадмевым отравлением (болезнь Ита - Ита), была выявлена в Японии. Оно появляется как следствие загрязнения от горнодобывающего комплекса и выражается в нарушении различных функций организма в результате остеомалии [1]. Источники поступления токсичных веществ в литосферу, особенно в ее верхний слой - почву, условно можно разделить на две группы: природные и техногенные. Из природных можно выделить на две группы: выветривание горных пород и минералов, эрозия, вулканическая деятельность, пыль, туманы, газы вулканического происхождения. Однако наиболее опасными являются вулканического происхождения. Однако наиболее опасными являются загрязняющие компоненты техногенного характера. Интенсивная хозяйственная деятельность человека вызывает существенные преобразования природной среды. Это особенно характерно для урбанизированных территорий, где сконцентрирована подавляющая часть

При попадании с большими концентрациями в почву и воду. Тяжелые металлы поступают в почву в виде пыли, пыльцы, аэрозолями, осаждениями, пылью, взвешенными гидрохимическими соединениями. Тяжелые металлы могут привноситься в почву с осадками, которые могут растворяться значительной величиной и взвешенные компоненты частиц поступают на подстилающие поверхности почвы, выбрасывая при высокотемпературных процессах (металлургия, автотранспорта) металлов (ТМ) в почву происходит их трансформация, которая показана на рис. 1 из Хабарова [2].



Рис. 1 Пути миграции и трансформации мобильных металлов в почве [2]

Почва в значительной степени способна иммобилизировать соединения тяжелых металлов за счет сорбции, реакций гидратации, осаждения в неподвижные, недоступные для растений формы.

В РГП "Квагирамет" проводятся исследования почв на содержание тяжелых металлов на всей территории Казахстана. Целью настоящей работы являлась оценка загрязненности почвогрунтов города Алматы кадмием и свинцом. Для оценки загрязненности почвогрунтов города были исследованы районы наиболее протяженных магистралей с юга на север и с запада на восток.

Отбор проб проводился в 24 точках города на глубине 5-10, 20-30 см в соответствии с методикой [3]. Места отбора выбирались на пересечении важнейших проспектов, а также вблизи источников загрязнения с максимальным географическим охватом города. Экстракция образцов почвы делалась азотной кислотой, с дальнейшей обработкой хлорной кислотой для удаления органических веществ, в соответствии с международной методикой анализа [3]. Определение содержания металлов выполнялось на атомно-абсорбционном спектрофотометре AA-6650 укомплектованном автоанализатором ASC-6100 фирмы "Shimadzu". Использовался метод беспламенной атомизации образцов с графитовой печью. Расчет содержания металлов в почвах, необходимое разведение, управление процессом анализа производилось с помощью программного обеспечения "WizAArd".

Результаты анализов представлены в виде гистограмм. При картировании для оценки степени загрязнения использовали ПДК, которые для подвижной формы свинца и кадмия соответственно равны Рв = 6,0 мг/кг; Cd = 0,2 мг/кг.

На рис. 2 показано распределение кислотно-разтворимой формы свинца и кадмия (мг/кг воздушно-сухой почвы) вдоль ул. Розыбакиева с юга на север, от проспекта Аль-Фарби до ул. Н. Тлендиева. В районе пересечения проспектов Аль-Фарби - Розыбакиева, Абая-Розыбакиева на глубине 5-10 и 20-30 см наблюдается одинаковая концентрация свинца, равная 1,3 ПДК. Далее, в районе Рахимбека-Розыбакиева, а также на пересечении улиц Рыскулова-Тлендиева, наблюдается резкое увеличение содержания свинца на глубине 5-10 см, что составляет более 10 ПДК, а то содержание свинца на глубине 20-30 см концентрация может незначительно до 1,5 ПДК. Очевидно, сильное загрязнение почвогрунтов в двух последних

большим скоплением автомобильного трафика, отапливающегося твердым топливом

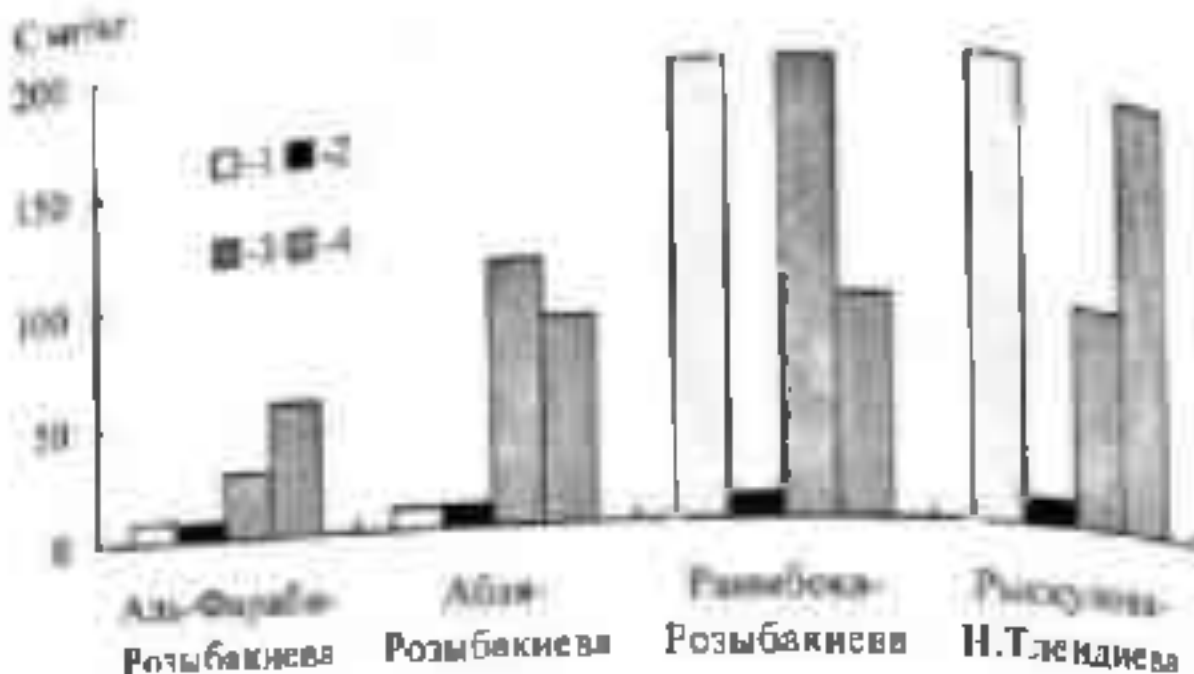


Рис. 2. Содержание свинца и кадмия вдоль ул. Розыбакиева

1 – свинец (глубина 5 – 10 см); 2 – свинец (глубина 20 – 30 см); 3 – кадмий (глубина 5 – 10 см) * 1000; 4 – кадмий (глубина 20 – 30 см) * 1000

Изменение концентрации кадмия в почве отличается от свинца. Превышение ПДК не наблюдается, однако содержание ионолито-растворимой формы кадмия увеличивается по направлению от проспекта Аль-Фараби к улице Тлендиева. Наиболее чистым является район пересечения улиц Аль-Фараби - Розыбакиева, причем на обеих глубинах концентрация кадмия отличается незначительно 0,1 - 0,2 ПДК. Далее, по пересечению проспекта Абая и улицы Розыбакиева, на обеих глубинах содержание ионолито-растворимой формы кадмия около 0,5 ПДК. На участке Рымбека - Розыбакиева на глубине 5-10 см концентрация кадмия увеличивается до 0,9 ПДК, на глубине 20-30 см картина остается идентичной 0,5 ПДК. В районе Рыскулова - Тлендиева ситуация обратная: здесь же содержания кадмия на глубине 5-10 см до 0,5 ПДК, а на глубине 20-30 см до 0,85 ПДК. По обоим элементам участки Рымбека-Розыбакиева, а также Рыскулова-Тлендиева являются наиболее загрязненными.

На рис. 3. показано распределение свинца и кадмия по проспектам Абая и Суюнбая с юга на север, от места Медео до 22 км Кокчетавской трассы.

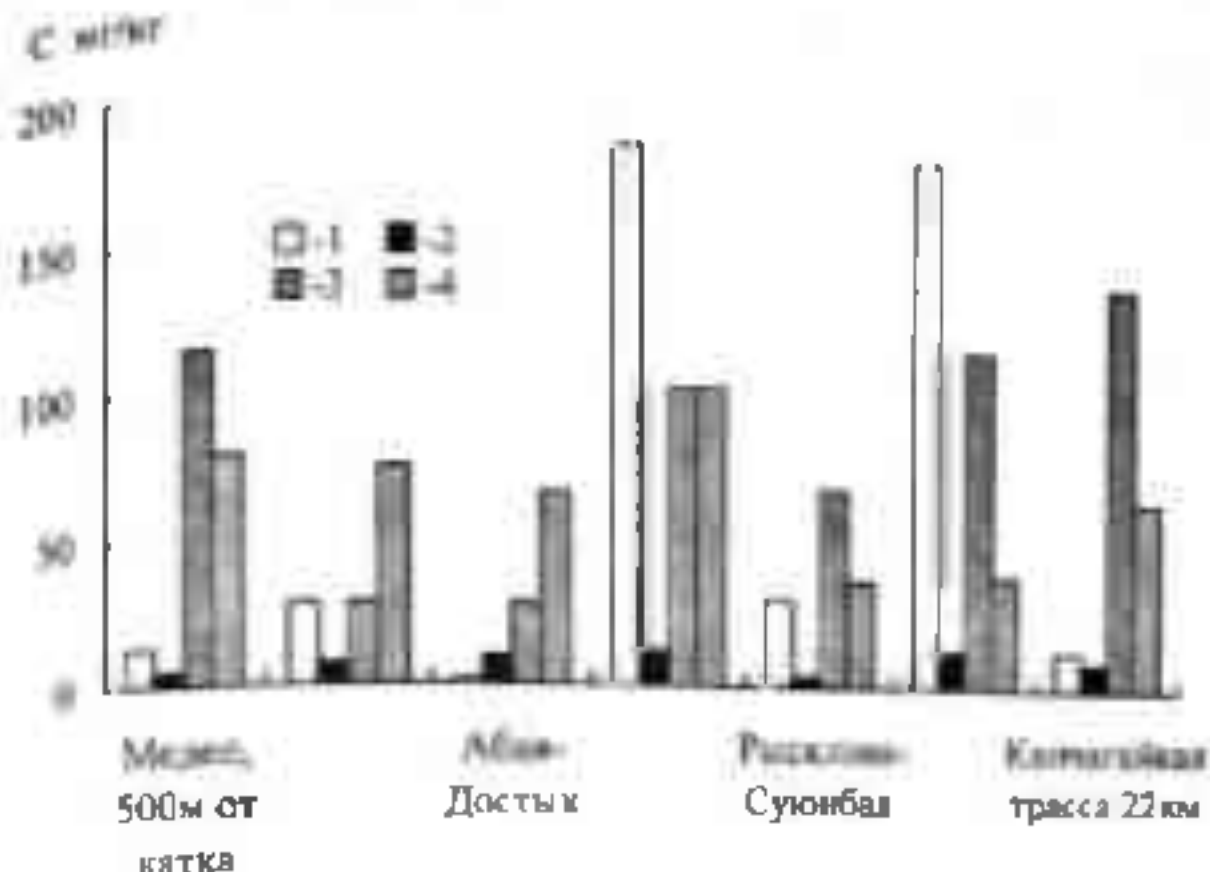


Рис. 3 Содержание страницы и кадровые таблицы при Документе в Сузыбак.

1 - свинец (глубина 5 – 10 см); 2 – свинец (глубина 20 – 30 см); 3 – кадмий (глубина 5 – 10 см) * 1000, 4 – кадмий (глубина 20 – 30 см) * 1000.

На глубине 20-30 см превышение ПДК наблюдается в районе пересечения проспекта Райымбека и улицы Пушкина, а также микрорайон Алтай. В остальных точках содержание кислотно-растворимой формы свинца находится в пределах ПДК. Варнируется концентрация свинца на глубине 5-10 см. Превышение ПДК наблюдается по всей территории, за исключением района пересечения проспектов Абая и Дауын. В 500 м от ката Медео, а также на 22 км Капчагайской трассы наблюдается содержание кислотно-растворимой формы свинца выше ПДК. В районе пересечения проспектов Аль-Фараби-Достык и Рыскулова-Суюнбая концентрация свинца составляет 4 ПДК. Наиболее загрязненные районы – это микрорайон Алтай и пересечение улиц Райымбека-Пушкина, здесь содержание кислотно-растворимой формы свинца составляет более 10 ПДК. Свинец сорбируется почвогрунтами в виде глины на поверхности на глубине 5-10 см, проникновение на большую глубину неизвестно. Превышения ПДК по кислотно-растворимой форме свинца также наблюдаются. Распределение кадмия на глубине также изменяется.

концентрации свинца в 10 раз превышают концентрацию свинца в 5-10 см на Калчагайской трассе на глубинах 5-10 см и 20-30 см. На рис. 4 показано распределение свинца в кислотно-расторимой форме в районе пересечения Абая с улицами Алтынсарина и Сибирь.

Сверху

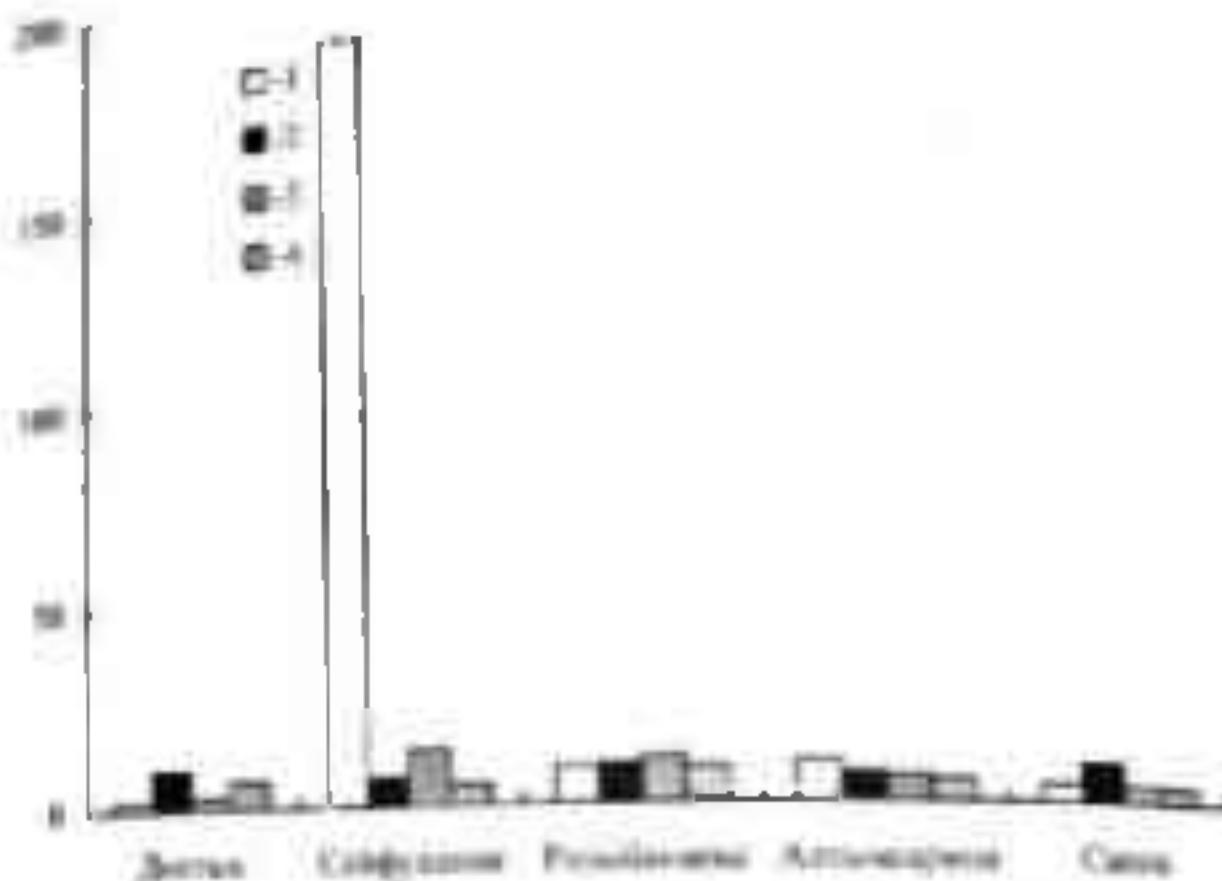


Рис. 4. Распределение свинца и цинка в рыхломе при Абая

1 - свинец (глубина 5 - 10 см), 2 - свинец (глубина 20 - 30 см), 3 - цинк (глубина 5 - 10 см)*100, 4 - цинк (глубина 20 - 30 см)*100

На пересечении проспекта Абая с проспектом Достык содержание свинца на глубинах 5-10 см неизначительно и составляет 0,3 ПДК, на глубинах 20-30 см наблюдается увеличение до 1,5 ПДК. Аналогичная картина наблюдается на пересечении с улицей Сибирь. На углу проспектов Абая и Сибирь концентрация свинца на глубинах 5-10 см, на глубинах 20-30 см - 1,5 ПДК. Далее, в районе улицы Розыбакиева концентрация свинца на обеих глубинах практически равна 1 ПДК. На пересечении с проспектом Алтынсарина содержание свинца на глубинах 5-10 см - 1,5 ПДК, на глубинах 20-30 - 1 ПДК.

Содержание цинка на всем протяжении проспекта Абая не превышает 1 ПДК. Однако уровень кислотно-расторимой формы

наблюдается в зависимости от района. На окраинах города, на пересечении с проспектом Достык и улицей Савиц кадмий меньше, чем в центре города. Так, на пересечении с проспектом Сейфуллина на глубине 5-10 см наблюдается его увеличение в 4 раза по сравнению с районом проспекта Достык. Близко по значению уровень этого тяжелого металла на пересечении с улицей Розыбакисса. Содержание кислотно-растворимой формы кадмия на улице Савиц сопоставимо с его величинами на проспекте Достык.

Данные, представленные на рис. 5 позволяют сделать вывод, что на всем протяжении проспекта Райымбека на глубине 5-10 см наблюдается превышение ПДК для кислотно-растворимой формы свинца в 30 раз, на глубине 20-30 см концентрация свинца находится в районе одной ПДК. По мадмию на глубине 5-10 см превышение ПДК наблюдается в районе проспекта Сейфуллина и в районе улицы Розыбакисса. На пересечении с улицей Пушкина Отетек батыра и Савиц содержание кислотно-растворимой формы кадмия на обеих глубинах практически разны и составляют 0,5 ГДК.

С мкг/г

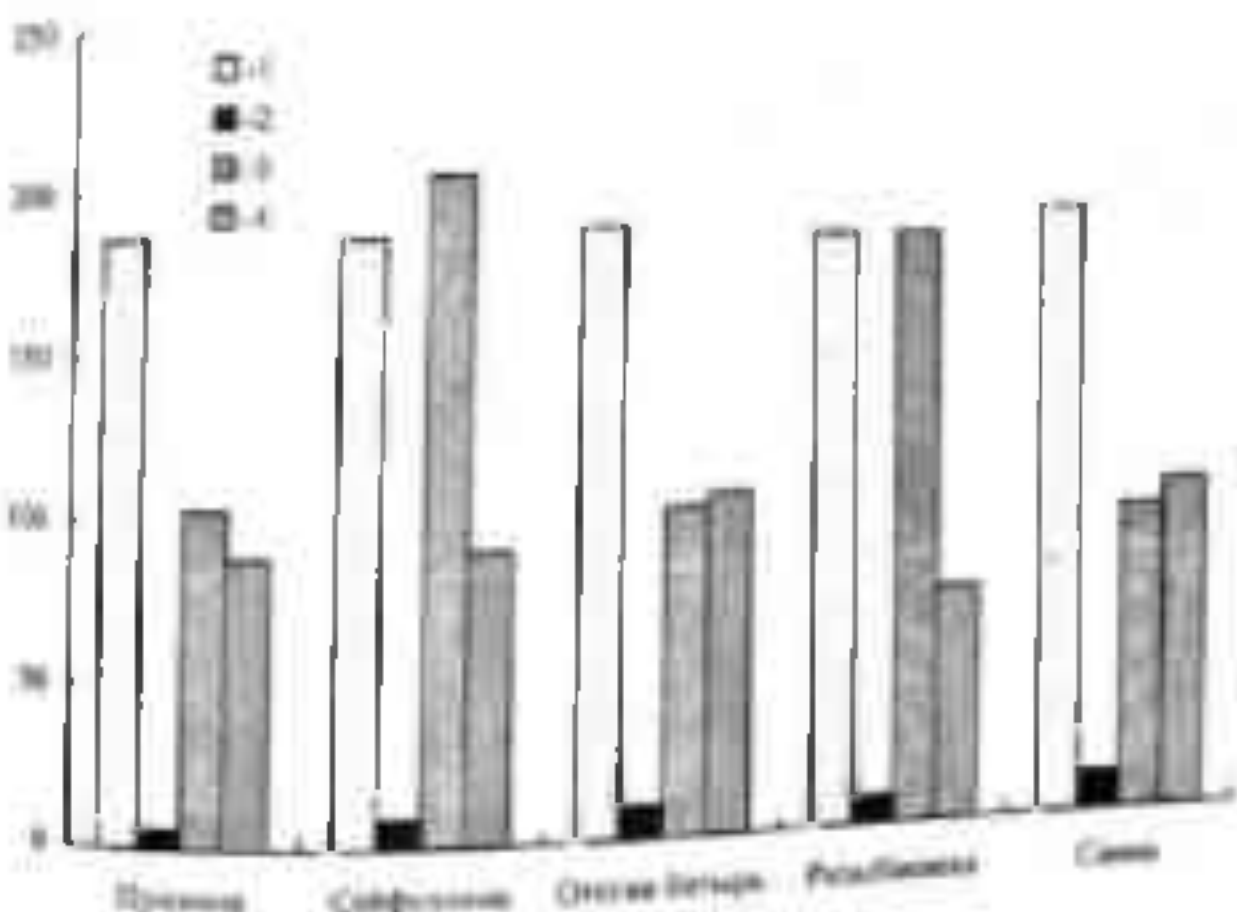


Рис. 5. Содержание тяжелых металлов в различных природных почвах:
1 - пахотный слой (глубина 0-10 см); 2 - почвенный горизонт 10-20 см; *1000;
3 - горизонт 20-30 см; 4 - глубокий горизонт 20-30 см

Для более полной оценки загрязнения почвогрунтов города Алматы результаты анализов почвы были размещены на карте схеме города (см. рис. 6). Зоны по степени загрязнения были обозначены буквами:

А - содержание подвижной формы свинца более 30 ПДК

Б - содержание подвижной формы кадмия около 1 ПДК

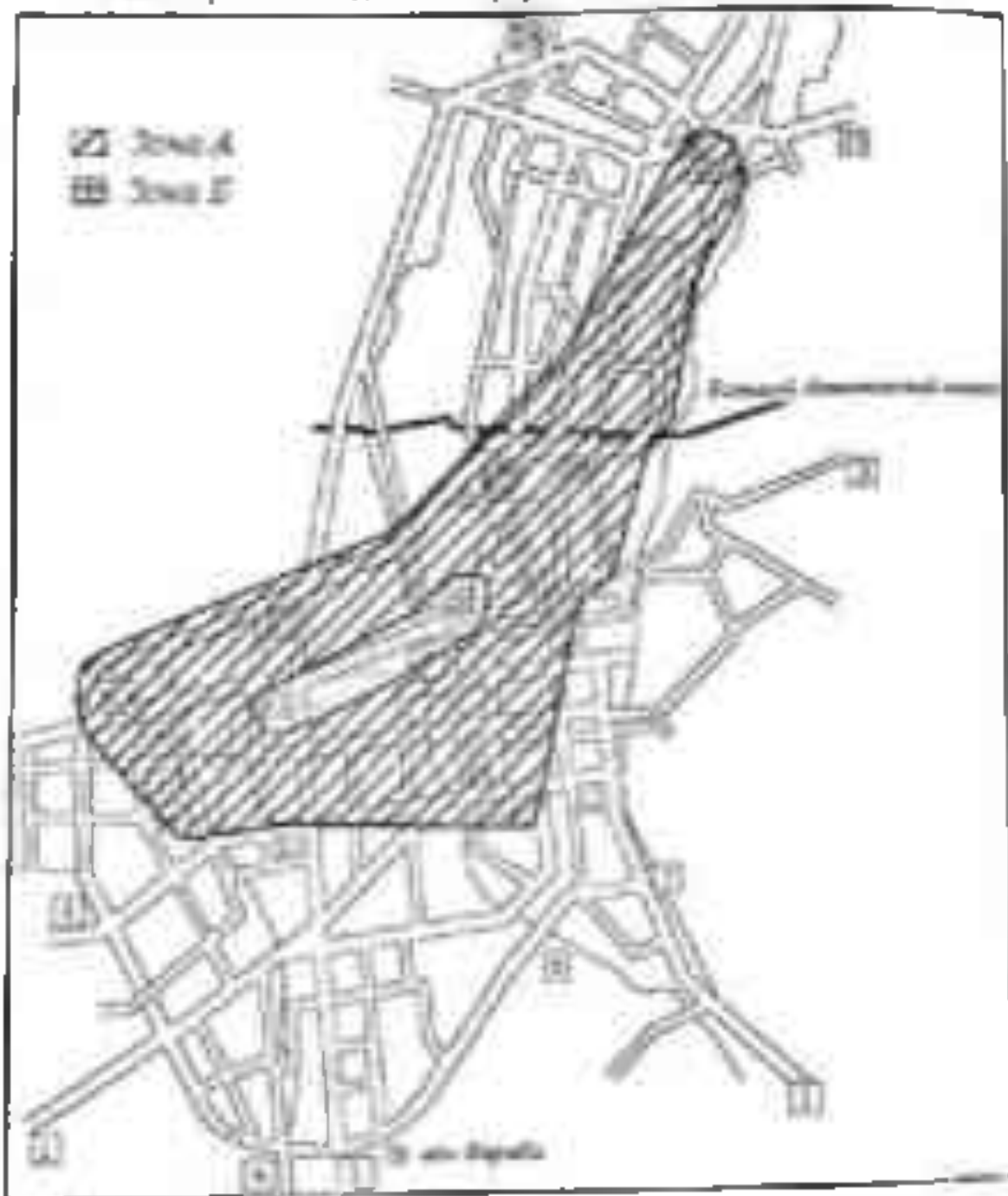


Рис. 6. Загрязнение почвогрунтов. А - зоны свинцом (зона А) и кадмием (зона Б).

Территории, загрязненные свинцом значительно Оңай ограничиваются улицами Рыскулова, Сейфуллина, микрорайоном Алтын

наиболее загрязнены кислотно-растворимой формой вода и почвы в районе пересечения проспектов Абая - Сейфуллина, Райымбека - Пушкина, района проспекта Райымбека и улицы Розыбакиева, микрорайон Алтай. Иными словами, окраинные районы города являются чистыми по сравнению с центральными.

СПИСОК ЛИТЕРАТУРЫ

1. Под редакцией ДЖ. О. М. Бахриев. Химия окружающей среды. - М.: "Химия", 1982. - С. 387 - 402.
2. В.А. Хабаров. Экологическая оценка окружающей среды городской территории. - М.: "Химия", 1996. - С. 28 - 31.
3. Electrical Technology - Tokyo: Japanese Standard Association, 1991. - С. 669 - 734.
4. Chemical pollution: A global overview. - Geneva: UNEP, 1992. - С. 17 - 19.

Центр мониторинга загрязнения природной среды.

АЛМАТЫ КАЛА ЖЕР ТОПРАГЫНДА КОРГАСЫН ЖАВЕ КАДМІЙДІҢ ЖЫЛЖЫМАЛЫ ТУРЛЕРІ ТАРАЛУЫ

Ж.М. Жаптарова

Биол. гылымында кандидат Г.Д. Садыкова

Бағыттаудың Алматы қаласының жер топрагында кадмий және көрнектік жылжымалы түрлері таралуы туралы мәдениеттер берілген. Алматы қаласының жер топрагы ауыр металдармен застоканы көрсетілген.

УДК 507.23/74.054

ЗОНИРОВАНИЕ ТЕРРИТОРИИ Г. АЛМАТЫ ПО НАКОПЛЕНИЮ МЕТАЛЛОВ В РАСТЕНИЯХ

Н. К. Шуленбасова

С. В. Чекалин

О. Е. Жебелева

А. Г. Сирмуртана

Жана биол. наук

Доктор хим. наук

Доктор хим. наук

На основе данных фитохемомикрокартинного метода осуществлено карттирование накоплений металлов на территории г. Алматы с использованием в качестве тест-объекта сосны обыкновенной. На территории города выделяются четыре зоны повышенного накопления металлов. Это - северная и западная зоны проышенного загрязнения, восточная зона аэродинамической тени предгорий и южная зона аэродинамической тени впадущих подпоков Малого Алматинского ущелья. Такой способ обобщения результатов исследования оказывается весьма информативным в плане локализации закономерностей формирования повышенного загрязнения металами территории города.

Город Алматы расположен у подножья северного склона Заилийского Алатау на высоте 600-1600 м над уровнем моря в долинах рек Большой и Малой Алматинки. Основное влияние на микроклиматические особенности территории оказывают гряды гор Заилийского Алатау, расположенные у восточной и южной границ города. В середине 80-х годов по состоянию окружающей среды Алматы попал в десятку самых загрязненных городов бывшего СССР. Загрязнение атмосферы привело к серьезным нарушениям здоровьес алматинцев, особенно проживающих в районах острой загрязнения. На этом фоне был проведен анализ зависимости показателей здоровья от уровня загрязнения металлами экологических сред места их проживания [2].

Изменение экологической обстановки Алматы связано с резким увеличением числа автомобилей. Пропорционально росту числа автотранспорта возросло выываемое им загрязнение атмосферы города. Данные показали, определявшим изменение экологической ситуации в А-

наго является свертывание производственной деятельности. В 1996 году в Алматы работало 560 промышленных предприятий, включая шахту тяжелого машиностроения, электромеханический, радиоэлектротехнический и др.

Сокращение объемов производства, полное прекращение работы заводов обусловили снижение выбросов вредных веществ в атмосферу города. Эти причины определили количественные и качественные преобразования экологической ситуации на территории города.

Числовые характеристики загрязнения атмосферы Алматы основываются на расчетных показателях контролирующих служб и являются заниженными. Прямой мониторинг загрязнения города показывает, что фактические выбросы в атмосферу по многим компонентам в 2 и более раз больше расчетных [7].

Негативность ситуации усугубляется ее практической бесполезностью. В 1986 г. загрязнение городской среды контролировалось 15 стационарными постами Казгидромета. Тогда это количество оценивалось как недостаточное для дифференцированного контроля состояния воздуха среди городских территорий. В 1996 году в Алматы действуют лишь 5 постов наблюдений, причем лишь один из них контролирует концентрацию свинца в воздухе. Заводы закрыли свои ведомственные посты по изучению за загрязнением атмосферы промзоны.

Атмосфера города Алматы насыщена твердыми загрязняющими веществами, вылетевшими из заводов. Суточное поглощение взвешенных веществ на земную поверхность из атмосферы составляет 10 - 20 кг/га. Оно включает в себя 10 - 30 % сульфаты и карбонаты водорастворимых солей меди, никеля, молибдена. Многие металлы находятся в атмосфере в водорастворимой форме (свинец, бериллий, ванадий, цирконий, ртуть). В сульфатной форме (сульфаты и карбонаты водорастворимых солей меди, никеля, молибдена). Результаты анализа почвенного покрова показывают, что до 45% пыли, 25% сажи и 50% металлов вынесены из города воздушными потоками.

Растительность, как компонент городской экосистемы, сильно подвержена воздействию антропогенных факторов. Наиболее чувствительными являются хвойные породы, они и стали объектом исследовательской работы. Проведенный лесотехнический анализ участков данной работы показывает наличие двух принципиально различных участков с повышенным содержанием металлов в почве: сосны обыкновенной и лиственницы. Для меди и никеля характерны высокие концентрации в почве, что свидетельствует о загрязнении почвы в результате деятельности города. Для меди и никеля характерны высокие концентрации в почве, что свидетельствует о загрязнении почвы в результате деятельности города.

дляния повышенного загрязнения. У всех остальных металлов повышенное загрязнение распространено по городским территориям несколькими изолированными участками [6].

Теоретический и практический интерес представляет ответ на вопрос о том, являются ли участки повышенного накопления металлов строго специфичными или общими химического элемента или подчиняются общей закономерности территориального распределения. Этот вопрос в первую очередь относится к металлам с изолированными участками повышенного накопления в хвое сосны, так как именно для них потенциально возможны наиболее сложные комбинации совместности очагов загрязнения.

Была проанализирована картина взаиморасположения участков с максимальным накоплением растениями приоритетных для Алматы металлов-загрязнителей (см. рис. 1). Оказалось, что хотя по площади и своему расположению эти участки металлоспецифичны, общая картина их расположения на территории Алматы подчиняется общим закономерностям. Выделяются 4 зоны повышенного накопления растениями приоритетных металлов-загрязнителей. Это северная и западная зона промышленного загрязнения, восточная зона вулканической тени предгорий, южная зона вулканической тени впадущих потоков Малого Алматинского ущелья.

Обобщив микроклиматическое районирование территории города можно заключить, что для всей территории города в дневные часы наиболее характерны ветры северного и северо-восточного направления. Являясь элементом горно-долинной циркуляции эти ветры переносят воздушные массы с северных границ города к южным и далее в горные долины [3]. В ночное время ветровые режимы различны в зависимости от локализации территорий. На южных территориях преобладают южные и юго-западные ветры. На более северных территориях ночью преобладают западные и юго-западные ветры. Однако их интенсивность различна. В понижениях рельефа они значительно слабее. Такова общая схематическая картина ветрового режима города. Следует также отметить, что для Алматы очень характерны штилевые ситуации, вероятность которых нарастает с уменьшением абсолютной высоты местности [1].

Нами была проверена подчиненность описанным закономерностям территориального распределения, принадлежность к выявленным зонам загрязнения очагов повышенного и пониженного накопления металлов.

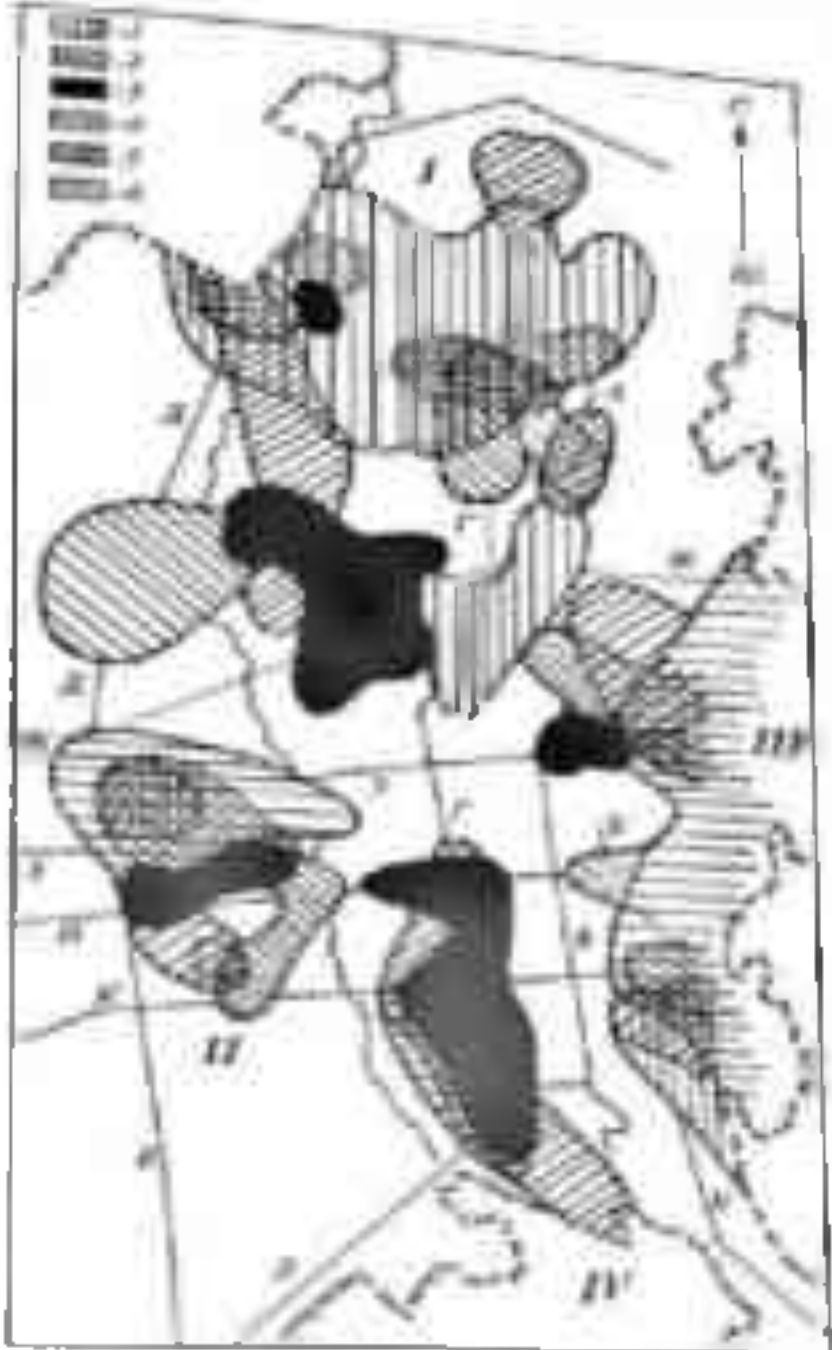


Рис. 1 Участки с максимальным накоплением в ходе сосновой пыльниковой приоритетных для Альянса местьялов-загрязнителей и эмиттеров из территории города по загрязнению металлами.

- I - стронций; 2 - ванадий; 3 - кобальт; 4 - хром; 5 - молибден;
- 6 - алюминий. Зоны загрязнения: I - северная зона промышленного загрязнения; II - западная зона промышленного загрязнения; III - восточная зона аэродинамической тени предприятия; IV - южная зона аэродинамической тени воздушных потоков Малого Алматинского турбинного завода. А - пр Суханбаев, Б - пр Достык, В - ул. Фурманова, Г - пр. Сейфуллина, Д - Северное кольцо, Е - ул. Розыбакиева, Ж - пр. Рыскулова, З - пр. Раимбека, И - ул. Толе-би, К - пр Абая, Л - пр аль-Фариди.

Картина повышенного загрязнения городских территорий фоновыми металлами-загрязнителями полностью соответствует установленному для приоритетных металлов-загрязнителей (рис. 2)

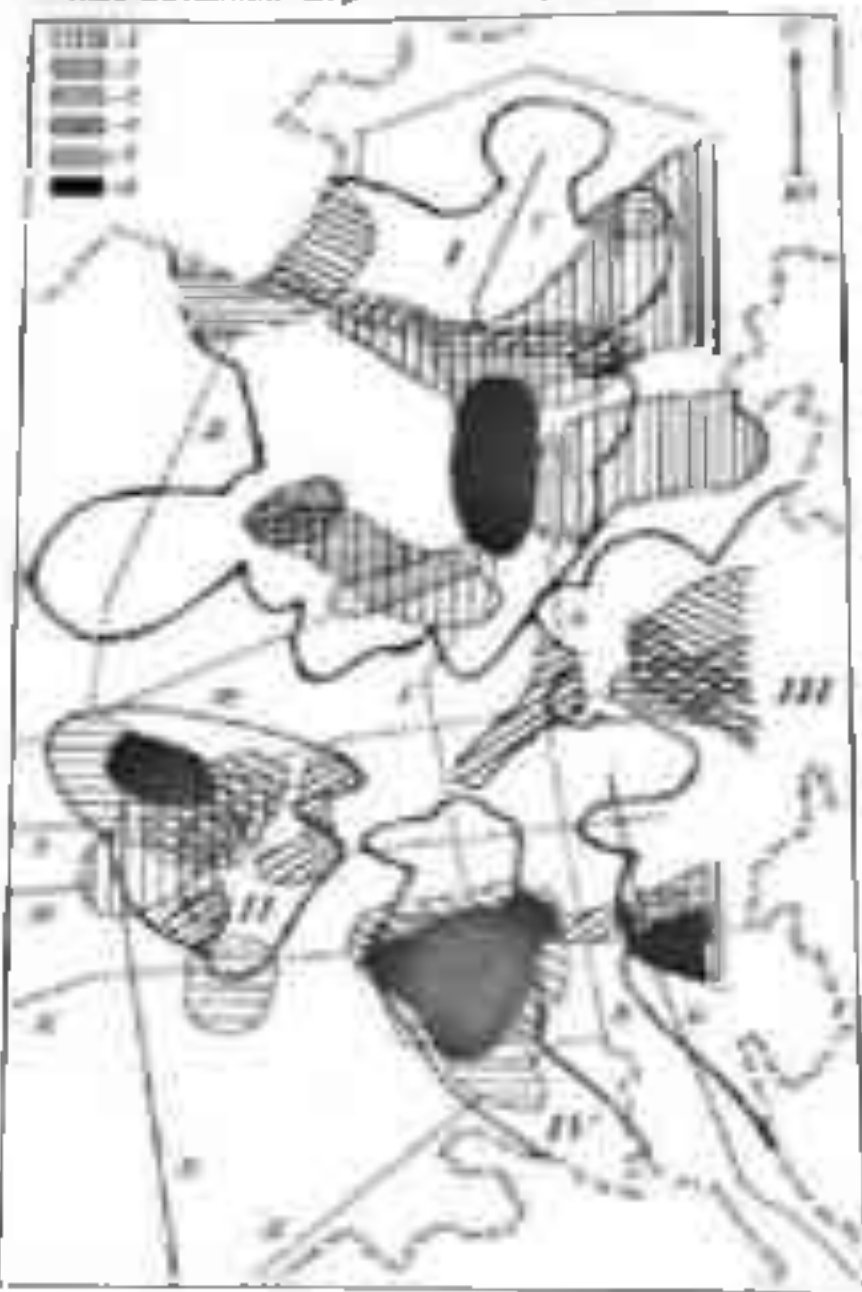


Рис. 2 Участки с повышенными концентрациями в ходе съёмки обитаемой фоновой для Актау металлол-загрязнителей и их сопоставимы с зонами загрязнения I - IV, установленными по приоритетным металлам-загрязнителям.
1 - никель, 2 - цинк, 3 - свинец, 4 - титан, 5 - бериллий, 6 - барий

Все выявленные участки повышенного загрязнения фоновых металлов-загрязнителей территориально связаны с описанными выше зонами загрязнения территории города. Полностью подтверждаются выявленные структуры очагов загрязнения для промышленных зон и восточной зоны междуречийской тени предгорий. На фоновых металлах-загрязнителях четко прослеживаются аэродинамические тени проспектов Рыныбека и Абая, в уч-

сток повышенного загрязнения ул. Толе-би не выявляется.

Согласуется с осуществленным зонированием территории и картиной повышенного накопления металлов загрязнений (рис. 3).

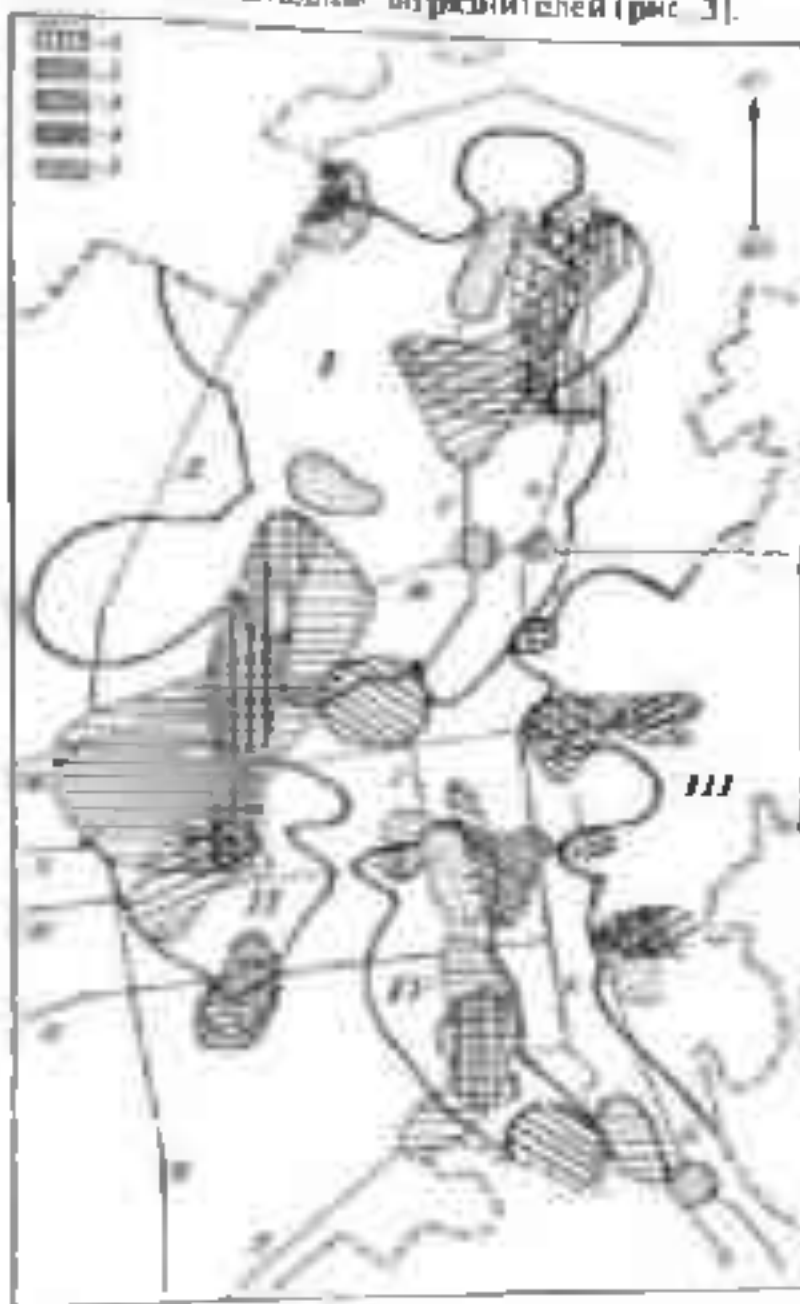


Рис. 3 Участки с максимальными концентрациями в почве отложений лимонных Альманы чистящих материалов и их максимальные с концентрациями загрязнения (I - IV) установленные по приоритетным металлическим загрязнениям
1 - цинк, 2 - никель, 3 - серебро, 4 - кобальт, 5 - магний

Очаги повышенного накопления этих металлов в основном вписываются в конфигурации установленных зон. При этом содержания металлов в хюс наблюдаются связи между зонами схожей причинностью загрязнения. Северные и Западные зоны промышленного производства имеют близкие источники загрязнения никеля и цинка от асфальтового завода и завода "Пирит". Восточные зоны

аэродинамической тени проселки и южная зона воронинской тени воздушных потоков Малого Алматинского ущелья взаимоувязываются ардалами и загрязнения серебра и марганца вдоль улицы Толе-Би. Такие связи зон не противоречат предложенной логике их формирования, а лишь дополняют представления, сформированные при анализе участков повышенного загрязнения приоритетными и фоновыми металлами-загрязнителями. На территории, загрязнение которой металлами непосредственно связано со стационарными промышленными источниками выбросов, участки повышенного загрязнения могут формироваться между двумя источниками выбросов, если здесь имеются воздушные потоки двойственного направления от одного источника на другой, или наоборот. Причиной такой циркуляции воздуха является горно-долинные ветры. На границе ослабления горно-долинной циркуляции (улица Толе-Би) воздушные потоки по магистрали, следующей с востока на запад, могут приобретать доминирующее значение в формировании зон повышенного загрязнения. Здесь происходит расширение в западном направлении участков торможения воздушных потоков и соответствующих им территорий с выпадением пылевых и твердых мелкодисперсных частиц.

Осуществленное зонирование территории города Алматы по повышенному накоплению металлов в растениях его анализ позволяют сформировать несколько теоретически и практически важных положений:

- повышенное загрязнение участков территорий Алматы металлами определяется либо наличием здесь промышленных предприятий как стационарных источников выбросов, либо наличием аэродинамических теней, в которых происходит торможение воздушных потоков, осаждение мелкодисперсных твердых частиц.

- Повышенным загрязнением металлами характеризуются территории, прилегающие как к ныне действующим предприятиям-источникам выбросов (городские свалки, ТЭЦ-1, асфальтный завод и др.), так и к ранее действовавшим, а в настоящее время остановленным производствам (АЗПМ, завод "Поршень" и др.). В случае продолжения деятельности предприятий в настоящее время повышенное накопление металлов в растениях обуславливается их поступлением из почвы, и из воздушной среды. На территориях, прилегающих к ранее действовавшим, а ныне остановленным производствам, повышенное накопление металлов в растениях определяется их поступлением из почвы, ранее загрязненных выбросами предприятий.

- аэродинамическое формирование участков вышнего загрязнения металлическими и твердыми веществами в результате действия естественных и антропогенных факторов. В качестве естественных факторов выступают движущие воздушные потоки определенные природой и предгорной циркуляцией воздуха. Антропогенными факторами являются планировка и строительство, организация инфраструктуры для воздушных потоков которые играют принципиальную роль в формировании зон повышенного загрязнения в зонах аэродинамических теней.

Горы - линии опорного рельефа (4), традиционно признаваемая фактором стабилизации конвективной ситуации на территории Алматы. Неоднозначна в своих экологических следствиях пространственные коридоры, по которым происходят основные переносы воздушных масс горно-долинной циркуляции (ул. Бурнакова, души реки Весновка) действительна является менее очевидная в результате такого проявления. Вместе с тем территории, расположенные между такими "коридорами", особенно на "перекрестках" потоков горно-долинной циркуляции воздуха, характеризуются избыточным загрязнением из-за формирования здесь аэродинамических теней.

Зоны аэродинамических теней, не содержащие существенных стационарных источников выбросов, скапливают металлы-загрязнители выбрасываемые в атмосферу на самых различных участках города и перемещаемые воздушными токами. Если зоны промышленного загрязнения отражают и характеризуют интенсивность локальной технологической нагрузки на окружающую среду, то зоны аэродинамических теней воздушных потоков характеризуют обобщенный уровень технологической нагрузки на городские территории, включая диффузионное автотранспортное загрязнение.

СПИСОК ЛИТЕРАТУРЫ

1. Абыметжанов Ж.А., Гельмгольц Н.Ф. Особенности климатических условий г. Алма-Аты и их роль в загрязнении воздушного бассейна города // Труды КазНИГМИ - 1970 - Вып 36 - С. 127 - 135.
2. Выявление приоритетных экологических проблем города Алматы Материалы для обсуждения - Алматы: Центр НПДОС, 1997. - 40с.
3. Гельмгольц Н.Ф. Горно-долинная циркуляция северных склонов Тянь-Шаня - Л.: Гидрометеоиздат, 1963 - 330 с.
4. Линник Н.Н. Микроклиматическое районирование Астаны по режимам г. Алма-Аты в целях дифференцированного расчета полей загрязнения от промышленных предприятий // Состояние внешней среды города

- Алма - Аты и здоровье человека // Сб научных тр. - Алма - Аты: Наука, 1988. - С. 8 - 19.
5. Титова Т.П., Дынгалибекова Р.У. Природе и источники загрязнения почв Алма-Аты тяжелыми металлами // Состояние экологической среды города Алма-Аты и здоровье человека // Сб научн. тр. - Алма-Аты: Наука, 1988. - С.14 - 19.
 6. Чекалин С.В., Шулепенбекова Н.К. Биогидрохимия состояния окружающей среды территории Алматы с использованием древесных растений в качестве тест-объекта // Международная конференция молодых ученых "Семинарские чтения 2001 года: экологические проблемы 21 века". Тезисы докл. - Минск: Республика Беларусь, 2001. 21-22 мая.
 7. Экономическая статистика. Статистический сборник / Под ред. А.А. Смысловича - Алматы, Агентство РК по статистике. 2001. - 104 с

Казахский государственный институт научно-технической информации МОН РК

Институт биотехники и фитоинтродукции МОН РК

Казахский национальный университет им. Аль-Фараби

АЛМАТЫ ҚАЛАСЫНЫң АЙМАҒЫН ӘСТМЕДІКТІГІ ЖИНАЛҒАН МЕТАЛДАР-ДЫ ॥ МӨЛШЕРІ БОЙЫНША ҚОНАЛАРҒА БОЛУ

Н.К. Шулепенбекова

Биол. ғылымдар тәнінде С.В. Чекалин

Хим. ғылымдар тәкілдері О.Е. Лебедева

Хим. ғылымдар тәкілдері А.Г. Сарыуринна

Физиогенетикалық мәденияттер, науқалыңдардың Алматы қаласының аймағын приоритеттік фтилдік зоне манортың металдармен жиғанды терапиесу обьектісі ретінде көзделуда көркемдік пайдала көрсетілді. Көз алғысында тиерлік металдармен қаттану ауыны анықталды. Олар - салыуттикалық базалык андегіс қостану аумасы, шыбынға орнадынаның түзүшілік көзінде жетекшілік асери және аңтұстік спортивнаңыздарының Күні Алматы сайынды ауыны көзделу жасауда. Оныңай тәртіптеу ыншылғалардың жарашынындағы жағдай қалып атташының мензелдерінің артық мөлшерімен қостану зордымықтарын тоңық түсіндіруде көл ақпарат береді.

УДК 504.06(574)

**ЭКОЛОГИЧЕСКИЕ ОГРАНИЧЕНИЯ ВОЗДЕЙСТВИЯ НА
ОКРУЖАЮЩУЮ СРЕДУ ПРИ ОСВОЕНИИ НЕФТЕГАЗОВЫХ
МЕСТОРОЖДЕНИЙ НА ШЕЛЬФЕ КАСПИЙСКОГО МОРЯ**

Доктор техн. наук М.С. Дзумбеков

Канд. экон. наук А.М. Шукпутов

Канд. физ.-мат. наук Е.Л. Гриша

В статье применяются экологические меры, сдерживающие и ограничивающие аналитические ограничения механизмы снижения антропогенного воздействия на окружающую среду Каспийского бассейна.

Анализ и системное осмысление многочисленных работ, посвященных проблемам загрязнения Каспийского моря продуктами технологенеза как в настоящем так и в будущем, приводят к следующим выводам:

1. Ограничения на освоение углеводородных ресурсов Каспийского моря следует вводить в контексте с аналогичными ограничениями в пределах всей Прикаспийской нефтегазоносной провинции, отдельных ее областей и месторождений.
2. Следует различать ограничения стратегического и оперативно-тиатического плана, с учетом долгосрочных целей и текущей экономической конъюнктуры мирового и внутреннего рынка нефтепродуктов.
3. Ввиду конфликтности и рискованности введения экологических ограничений на освоение углеводородных ресурсов следует предварительно проанализировать ситуацию с использованием современных достижений прикладной математики и информационных технологий.
4. Поскольку Казахстан не располагает опытом разработки морских месторождений и расчетно-аналитическим аппаратом оценки последствий принятия крупномасштабных экологических решений, следует обратиться за помощью в мировые научные центры, имеющие значительные наработки в этом направлении.

Как известно, основную опасность экологической катастрофы в северной части Каспийского моря в настоящее время представляют разлив нефти при добыче и транспортировке, утилизация на факел попутного газа

прибрежных месторождений нефти и сброс на рельеф или пластовых вод. С нефтяной отраслью связан ряд геохимических проблем в пяти нефтегазодобывающих областях (Атырауской, Мангистауской, Актюбинской, Кызылординской и Западно-Казахстанской). Основными загрязняющими веществами при добывке нефти являются оксид углерода, диоксины и фенолы, а также сера, фосфор, никель, азот и различные минеральные соли. Они оказывают подавляющее влияние на рост и развитие многих микроорганизмов, баланс и животного мира. Большинство нефтегазодобывающих предприятий - Пурасская, Тентиская (кроме Тенгиза), Марынинская, Экспорт-Макейская находятся на поздней стадии разработки и добывают нефть с применением отставших технологий, устаревшего оборудования, приводят к частым авариям и утечкам нефти. В целом по Западному Казахстану масса разлитой на земле нефти (технологические, аварийные зембары и т.п.) составляет около 5 млн. т. Площадь, занятая нефтяными загрязнениями, занимает 194 тыс. га. Очистка замусоренных территорий является одним из основных мероприятий в регионе. Явлюду опасности атмосферного переноса продолжит горение и стакко погодных явлений на море, в также поверхностного и подземного стока влияние этого звука фильтров на качество воды в Каспийском море распространяется достаточно далеко.

Кардинальным решением утилизации попутного газа и пластовых вод могла быть выкачка их в газет или переработка. Первая альтернатива представляется более предпочтительной ввиду высокой стоимости второй. Впрочем, для её реализации нужно еще найти подходящие структуры, способные принять без ущерба для нефтедобычи пластов необходимые количества попутного газа и сточных вод.

Необходимость рассмотрения отдельно стратегических и оперативно-технических ограничений утилизации на факел попутного газа и сброс на рельеф сточных вод месторождений диктуется экономическим интересом государства, стоящим впереди природопользования объектов, включая виновно-ответственного производителя.

Бюджетно-финансовым ограничениям следуют отрасли промышленности, так называемых, промышленно-допустимых сбросов (ПДС) и промышленно-допустимых выбросов (ПДВ) для предприятий - недропользователей с учетом влияния их сбросов (выбросов) на процессы формирования качества воды в северной части Каспийского моря. Преимуществом ведения ПДС и ПДВ является их относительная дешевизна. Затраты то-

сударств в этом случае сводятся к затратам на мониторинг вод Каспийского моря и контракт за изъятие неизданных изоточных квот предпринимателями-экспортерами. Недостаток – реальная административных методов, что приворечит проводимым рыночным реформам. В будущем, по мере стабилизации экологической ситуации, следует перейти от начицени ПДС и ПДВ к торговле квотами сбросов и выбросов. Однако этот механизм необходимо еще подготовить в юридическом-правовом аспекте.

Стратегическим ограничением следует отнести ужесточение требований к технико-экономическому обоснованию разработки месторождений. Здесь помимо вопросов разведки, извлечения и пополнения ресурсов должны быть тщательно проработаны вопросы утилизации и переработки токсичных газов и вод, а также вопросы оценки риска чрезвычайных ситуаций (ЧС) при тех или иных технологических решениях разработки месторождения. Это особенно касается морских месторождений, где последствия даже небольших аварий могут привести к крупной экологической катастрофе. Следует отметить, что современная наука еще не достаточно готова к оценке риска ЧС. Это впервые заметили украинские учёные, детально изучившие катастрофу на Чернобыльской атомной электростанции. Суть проблемы заключается в следующем. При разработке различных методик риска ЧС, и оценки эффективности экономических механизмов обеспечения безопасности и ликвидации негативных последствий катастроф, обычно используется теория вероятности. Случайный характер возникновения катастроф, обусловленных непредвиденным взаимодействием большого числа случайных факторов [1], казалось бы, оправдывает использование этого математического аппарата. ЧС при этом рассматривается как отказы в большой системе и для их анализа используется аппарат теории надежности. Однако, катастрофа на Чернобыльской атомной электростанции поставила под сомнение адекватность его применения для анализа случайных явлений уникального типа. К таким уникальным явлениям следует отнести и разработку нефтяных месторождений на шельфе Каспийского моря. В связи с этим необходимо разработать другой аппарат, основные черты которого будут изложены ниже, при обсуждении третьего пункта выводов [1].

Что касается социальной напряженности, в связи с планируемой крупномасштабной добычей углеводородов в Приволжском регионе, выясним следующее. Уровень социальной напряженности здесь во многом связан с бесконтрольным сбросом на рельеф (в так называемые якори)

пластовых вод, содержащих радиоактивные элементы. При систематическом избрете в этих местах накапливается также ядовитое радиоактивное вещества, количество которого по своим масштабам сравнимо с обычной катастрофой. Чтобы остановить спровоцированную экологическую катастрофу разработку газовых месторождений, содержащих радиоактивные элементы, приостановить дальнейшие историки.

Наконец, последний пункт о том, что стратегические цели следует связывать с возможностями научно-технического прогресса и области разведки, добычи и переработки углеподорожного сырья. Здесь перспективы обнадеживающие. Чтобы убедиться в этом, достаточно привести прогноз воздействия ИПП на энергии барр (см. табл 112).

Минуты на добывчу барреля нефти

Таблица

Название	В среднесрочной перспективе			В долгосрочной перспективе
	Средне текущие	В среднесрочной перспективе	В долгосрочной перспективе	
Месторождения на суше	Я	6	6	6
Месторождения на море				
Обычные	12	10	8	8
Маркированные	18	15	12	12
Глубоководные	10	20	15	15
Методы повышения отдачи пласта				
Термические	15	11	10	10
Запасы СО ₂	20	13	13	13
Полимеры	17	12	12	12
Поверхностно-активные вещества	30			15

Как видно из таблицы, затраты на производство (в том числе затраты на обеспечение экологической безопасности добычи нефти) снижаются виными темпами. То, что является нерентабельным сейчас, будет рентабельным через 5-10 лет. Следовательно, торопиться в этих вопросах экономически не оправдано.

Необходимо иметь математического моделирования конфликтных ситуаций, могущих возникнуть в связи с введением экологических ограничений.

ний на разработку шельфовых месторождений ученого Фране Кольчака
внедрение изучения шельфа в практике. Выявление проблем и
решение стоящих задач определяет дальнейшее развитие отрасли, концепция по-
явилась обоснованность изучения взаимодействия госу-
дарств и решении этих вопросов, то как границы государств, экосистем и
природных никлов не совпадают и поэтому многие экологические пробле-
мы приобретают трансграничный и глобально международный характер.
Другим обстоятельством является необходимость разработки специальных
методик оценки ЧС для уникальных явлений. Здесь предполагается
использовать для этих целей аппарат «правдоподобных рассуждений» -
общение опыта, аналогий и индукции. Как видно, такие модели тре-
буют очень сложного информационного обеспечения и средства их визуали-
зации. Поэтому использование самых современных информационных тех-
нологий сбора, хранения, транспортировки и анализа информации является
необходимым условием успеха.

Аналит литературных источников и сайтов, выставленных в И-
нтернет-сети (www.lukoil.ru Экологический отчет за 1998-99 г.) показы-
вает, что наиболее передовыми в научно-экологических вопросах осве-
ння шельфовых месторождений является Россия, а в вопросах оценки рис-
ка ЧС – Украина. В частности большие достижения в вопросах переработ-
ки и утилизации попутного газа имеет компания «Лукойл», а в вопросах
моделирования ЧС – Институт кибернетики НАН Украины [3].

Необходимо законодательство предусмотреть создание государст-
венного ликвидационного фонда устранения последствий деятельности
перерабатывающих и других предприятий, занятых добывкой полезных
ископаемых. В данных фондах в период активной деятельности добываю-
щий предприятия должны накапливаться средства для ликвидации эко-
логических последствий их деятельности. Причем обязательным условием
должен быть государственный контроль за деятельностью и расходованием
средств таких фондов. Следует отметить, что в республике в настоящем
время только формируется система распределения отчислений при
возникновении чрезвычайных ситуаций при прокладки нефтепроводов
на море. Основные обязанности в этой области возложены на проек-
ционные подразделения спе-
циализированными подразделениями.

Нужно предусмотреть механизмы включения в Соглашения о разделе продукции пунктов, гарантирующих возмещение ущербов окружающей среде и немедленное реагирование на возникающие чрезвычайные ситуации, обуславливающие новых хозяев ликвидировать их последствия.

Одной из важнейшей проблем современности в Каспийском регионе является проблема серы, которая скопилась в огромном количестве. Острота проблемы заключается в том, что сера очень взрывоопасный отход, который может вызвать катастрофу в этом регионе в любую секунду.

Экологическая экспертиза, экологический мониторинг и контроль сейсморазведочных работ, бурение первой разведочной скважины на Восточном Кашагане поставили дальнейшие приоритеты в регулировании геологоразведочных работ. Это - внедрение модели платформы с нулевым сбросом; совершенствование национальных механизмов реагирования на аварийные ситуации; исследования по использованию наиболее токсичных буровых растворов; проведение исследований по переработке отработанных буровых растворов и буровых шламов и дальнейшей утилизации сухих остатков; разработка предельно допустимых концентраций загрязняющих компонент для Каспийского моря.

Одной из основных мер по охране экосистемы Северного Каспия может стать проведение Министерством природных ресурсов с выделения зон с различным режимом хозяйственной деятельности (в том числе с запретным режимом). Такое зонирование позволит оградить наиболее экологически уязвимые и продуктивные участки от антропогенного воздействия.

СПИСОК ЛИТЕРАТУРЫ

1. Михайлович В.С., Сергиенко И.В. Исследование методов решения оптимизационных задач и их приложения // Кибернетика. - 1981. - № 4. - С. 89 - 114
2. Мировой капиталистический рынок промышленного сырья, топлива и химических товаров. Всесоюзный научно - исследовательский конъюнктурный институт. - Москва. - 1990. - 212 с.
3. Сергиенко И.В. Предисловие к сборнику трудов XXIII Международного семинара «Моделирование в Республике Словакии. «Modelling of Development». - 1998. - 11 с.

Министерство природных ресурсов и охраны окружающей среды РК
Институт математики МОН РК

**КАССИЙ ТЕҢІП ШЕЛДІЛДЕРГІ МУШЛІЙ-ГАЛ КЕЯ ОРЫНДАРЫН
ИГЕРУ КЕЗІНДЕКІ КОРШАҒАН ОРТАҒА НҚПАЛГА
ЭКОЛОГИЯЛЫҚ ШЕКТЕУ**

Техн. гылымда докторы М С Думбеков
Экон. гылымда канд. А М Шуклутов
Физ. шар. гылымда канд. Е Т Оразиев

Мағалдағы Қоғамдың иегізіндегі көршілген ортағының антропогендік ықпалының азтімуданың механизмдері, экологиялық шарттары, стратегиялық және зерттеулық тәжірибелер көлтірілген.

УДК 622.276.346.001.13
Основы экологического мониторинга некоторых отраслей промышленности

Канд. экон. наук

С.С. Омаров

Канд. техн. наук

А.Н. Ниссангалиев

Доктор техн. наук

Э.М. Тусекимова

К.Б. Кошанова

Т.К. Ахмеджанов

А.Ш. Бейсембекова

Издано для оценки экологической мониторинга предприятий нефтегазовой, нефтехимической, химической, нефтеперерабатывающей и машиностроительной промышленности

Преобразование нефтеперерабатывающей промышленности

К этой категории видов хозяйственной деятельности относятся производство широкого ассортимента нефтепродуктов и химических веществ топлива, смазочных материалов, битума и химического сырья из сырой нефти. При переработке нефти входят в нее следующие стадии производственного процесса: (а) разделение сырой нефти на фракции в соответствии с температурными пределами выделения и характером конечных продуктов, (б) преобразование химических составлений путем их расщепления, перегруппировки либо рекомбинации с юаними молекул, (в) соединение целевых удачливых макроиницаторов — например, серы, (г) добавка к топливам и иным. Для того, чтобы готовые продукты удовлетворяли техническим требованиям

Основы мониторинга предприятий нефтеперерабатывающей промышленности

Планы мониторинга составляются с помощью специфических документов «Планы мониторинга предприятий...» за И участка, на которых они находятся. Как правило, в планах мониторинга должны быть предусмотрены:

- Непрерывный контроль прочности газовых заслонок.

- Периодическое взятие проб в лымянках трубах на содержание в отходящих газах твердых частиц (титанов серы, окислы азота (турбулентные концентрации и вибрации установок с флюидизированным катализатором), сероводорода (турбулентные концентрации и регенерации серы));
 - Мониторинг концентрации загрязнителей в приемном способе атмосферы на различных расстояниях от территории завода;
 - Непрерывный контроль содержания нефти в сточных водах;
 - Мониторинг погодных условий в течение всего года (на местной метеостанции);
 - Периодическое взятие проб сточных вод (составной пробы за 24 часа) на БПК, ХПК, общее содержание органического углерода, общее содержание взвешенных веществ, содержание нефти, жиров, минеральных масел, фенолоидных соединений, аммиачного азота, сульфидов, общего хрома, измерение величины pH, температуры, расхода;
 - Непрерывный мониторинг отдельных параметров с целью及时ного обнаружения сбоев и неполадок в технологических процессах, предотвращение сброса сточных вод, содержащих слишком много органического углерода, устройство мониторинговых скважин и периодическое взятие проб подземных вод с целью обнаружения их загрязнения в результате разливов и утечек нефти и нефтепродуктов.

Добыча нефти и природного газа в открытом море

В эту категорию видов хозяйственной деятельности входит разведка, освоение и эксплуатация морских месторождений нефти и природного газа. К важнейшим этапам работ относятся:

- морские геофизические разведки, проводимые на обширных акваториях для выявления месторождений нефти и природного газа;
- бурение разведочных скважин с судов или плавучих платформ;
- бурение наклонно-направленных эксплуатационных скважин со стационарной платформы (эксплуатационного основания);
- строительство объектов и сооружений, предназначенных для транспортировки и переработки продукции скважин.

Морской нефтяной или газовый промысел включает в себя такие виды оборудования и сооружений, как:

- платформы и основания различных типов с многочисленными эксплуатационными сооружениями и скважинами для обратной промывки пластовых вод:

- резервуары;
- газопольдеры;
- сепараторы;
- вспомогательные устройства.

Извлеченные из недра нефть и природный газ, как правило, доставляются по трубопроводам на нефтеперерабатывающие или газоперерабатывающие заводы.

Основы мониторинга предприятий по добывче нефти и природного газа в открытом море

Мероприятия по части мониторинга включают в себя: непрерывный контроль за выбросами загрязняющих веществ в атмосферу и сбросом твердых отходов и сточных вод с эксплуатационных оснований и из установок по первичной обработке продукции скважин; визуальный осмотр акватории промысла на предмет обнаружения нефтяной пленки, а также мусора и различных обломков, лежащих на поверхности моря независимо от участия производственных работ или выброшенных волнами на берег. Специальные требования в отношении мониторинга могут предъявляться с целью обнаружения негативных воздействий на определенные виды природных ресурсов и принятия мер по предупреждению или уменьшению экологического ущерба. Мониторинг, проводимый на нефтяных и газовых сборных пунктах, включает в себя:

■ непрерывное изятие проб воздуха на территории пункта и по периметру его ограждения (при помощи автоматических пробоотборников);

■ ежедневные осмотры участков, на которых расположены резервуары, нефтегазоборные трубопроводы и головные сооружения магистральных трубопроводов;

■ ежедневные проверки качества воды ниже по течению во всех подотоках, находящихся в районе сборного пункта (визуальные проверки состояния воды и изятие проб).

■ ежедневный отбор проб подземных вод на территории сборных пунктов и на участках, которые расположены на более низких гидротехнических отметках (или земляные работы, способные обрушить мониторинговые скважины).

Предприятия химической и нефтехимической промышленности

На предприятиях этой отрасли промышленности осуществляются чрезвычайно разнообразные технологические процессы и производственные операции. На сегодняшний день отрасль характеризуется наиболее высокой степенью диверсификации товаров в продукции. Все виды продукции предприятий химической и нефтехимической промышленности можно разделить на четыре категории:

- (а) неорганические химические вещества;
- б) органические химические вещества;
- (а) нефтехимические продукты;
- (б) хими́ческие продукты тонкого органического синтеза, фармацевтические препараты, синтетические красители и вяжущие вещества.

К группе неорганических химических веществ принадлежат хлор, щелочи, карбид кальция, неорганические кислоты, соли, фосфор и его соединения, пептизы, водород, неорганические пигменты (например, диоксид титана), а также многие соли металлов, получаемые на основе вышеуказанных кислот. Такие неорганические химические вещества как аммиак, щелочная кислота, мочевина, фосфорная кислота и т.д., рассматриваются в разделе, посвященном производству минеральных удобрений.

Нефтехимические продукты представляют собой отдельную категорию органических химических веществ. Сырьем для получения большинства этих продуктов служат нефть, природный газ и уголь; многие продукты производятся в больших количествах (товары специального ассортимента — около 1000 т/год, товары широкого потребления — до 500000 т/год).

Многие нефтехимические продукты хранятся в жидком или газообразном состоянии (например, этилен, метанол, этанол, уксусная кислота, ацетон, винная кислота, ванилин, бензол, изопропиламин, соединения хлора и фтора с алифатическими и ароматическими веществами, динитро- и тринитротоулол, формальдегид и спирты). К твердым продуктам относятся синтетические смолы, пластмассы и поливинилхлориды. В эту группу можно включить и другие продукты, например, целлюлозу и химические продукты на основе сахаров, хотя они не являются нефтехимическими.

Химические продукты тонкого органического синтеза и фармацевтические препараты образуют отдельную группу, прежде всего из-за специфики их производства. Почти всегда они изготавливаются в небольших количествах на базе нефтехимических продуктов, природных соединений либо неорганических химических веществ. К этой группе относятся все синтетические органические химические вещества.

зированные соединения, придающие аромат, синтетические краски, промежуточные и конечные продукты фармацевтического производства, на химических предприятиях химической промышленности со-
ставляют ловотное использование сточных вод, которые об-
еспечивают, что загрязнителей при попадании в сточные воды, после того, как она будет очищена
или физических методов до
допустимой Желательно, чтобы в состав оборудования, предназначенного
для хранения и транспортировки, например, резервуары с двойными
камп. оборудование. ТЭН, системы обнаружения утечек из резервуаров.

Основы мониторинга предприятий химической и нефтехимической промышленности

Ввиду обширного разнообразия используемых и производимых химических веществ, а также применяемых технологических процессов не представляется возможным привести полный перечень всех химических веществ, которые должны подвергаться мониторингу. Необходимо постоянно регистрировать все результаты мониторинга окружающей среды, периодически проверять их и принимать меры по ликвидации ущерба. Хотя планы мониторинга разрабатываются с учетом конкретных особенностей производственных процессов, предприятия и участка, на которых они расположены, необходимы следующие меры в области мониторинга, которые носят универсальный характер:

- непрерывный мониторинг дымовых газов, образующихся в котловагретателях и печах, на содержание моноксида углерода, содержание забыточного воздуха, пропрачность.
- периодический либо, если это крайне важно, непрерывный мониторинг выбросов газов и твердых частиц на содержание химических веществ, используемых или производимых на предприятии.
- периодический либо, если это крайне важно, непрерывный мониторинг всех сточных вод, в том числе охлаждающей воды, на содержание вышеупомянутых химических веществ.
- мониторинг отдельных технологических параметров для проверки исправности очистного оборудования (например, мониторинг температуры дымовых газов для проверки работы скрубберов).

• мониторинг качества воздуха в производственных помещениях в содержание всех химических веществ, используемых на производстве (когда удобно определить содержание сразу нескольких веществ, например, всех органических либо их определенных групп – допустим, содержащих хлор)

• мониторинг качества воздуха в окрестностях предприятия на содержание загрязнителей, выделяемых предприятием, а также определение величины pH при отборе проб ливневых вод, стекающих с территории предприятия и с участков, на которых расположены уранолиши.

• мониторинг качества воды по течению реки на содержание загрязняющих веществ и растворенного газа;

• периодический мониторинг качества подземных вод для проверки наличия загрязнителей, проникающих скважин с предприятиями или участками, на которых расположены уранолиши.

• мониторинг качества воздуха приборами измерения, установленными на руднике (использование изотопных методов измерения),

• мониторинг зашумленности всех производственных помещений,

• контроль за соблюдением правил безопасности труда и работы с загрязнением, своевременное проведение инспекций, корректировка планов обеспечения безопасности и действий в чрезвычайных обстоятельствах.

• проверка воды в водоприемниках на величину pH и содержаниезвешенных твердых частиц.

Предприятия черной металлургии

На предприятиях черной металлургии осуществляется целый ряд сложных технологических операций, в процессе которых железную руду превращают с талью с использованием кокса и известняка. Процесс превращения железной руды в продукцию черной металлургии включает в себя следующие основные стадии:

1. производство кокса из угля и использование побочных продуктов;
2. обогащение руды – например, обжиг, скатывание;
3. производство чугуна;
4. производство стали;
5. разливку металла по кокильщикам, прокатку, чистовую обработку.

Эти стадии производственного процесса, могут выполняться либо на- ном и тем же предприятии, либо в совершенно разных местах. Во многих рядах ведущих стран из стальной выплавляют из металлохода в дуговых электропечах, поэтому операции (1) - (3) необходимо осуществлять на новых предгрифских черной металлургии. Альтернативный вариант производства стали – прямое восстановление железа из руды в присутствии природного газа и водорода; продукт реакции – губчатое железо преобразуют в сталь в дуговой электропечи, впоследствии направляют в один или два прокатных стака для получения прокатных профилей. Это так называемые чистые воды.

Основы мониторинга производственной черной металлургии

Планы мониторинга составляются с учетом специфических особенностей предприятия черной металлургии, а также участка, на котором оно находится. В планах должны быть предусмотрены:

- мониторинг выбросов твердых частиц, диоксида серы, моноксида азота, аммиака, сероводорода, мышьяка и цианида,
- непрерывный контроль параметров технологического процесса для проверки исправности очистного оборудования,
- непрерывный контроль граничности выхлопных газов и полноты спаривания (в котельных, на электростанции),
- мониторинг качества воздуха в производственных помещениях, в зависимости от типа предприятия и вида производственного процесса, на содержание твердых частиц диоксида серы и оксидов азота,
- мониторинг качества воздуха в окрестностях, с подветренной стороны по отношению к предприятию, на содержание загрязняющих веществ и твердых частиц,
- мониторинг качества воды Ниже по течению реки на содержание растворенного кислорода, величину pH, БПК₅, содержание загрязняющих веществ, жиров и минеральных масел,
- мониторинг сточных вод, поступающих из производственных корпусов, также из отстойников, на содержание взвешенных веществ, величину pH, содержание загрязнителей жиров и минеральных масел БПК₅,
- мониторинг ливневых сточных вод, на содержание жиров, минеральных масел, взвешенных веществ,
- критерии оценки методов применяемых для сбора и удаления твердых отходов на качество поверхностных и подземных вод,
- мониторинг шумности производственных помещений на всех предприятиях отрасли.

- мониторинг уровней шума на ~~территории~~ территории предприятия.
- проверка соблюдения правил ~~безопасности и~~ мероприятий по борьбе с загрязнением

Предприятия цветной металлургии

Здесь рассматриваются основы мониторинга предприятий цветной металлургии (производство алюминия, ферросплавов, меди, никеля, цинка). Существует множество цветных металлов. Однако ввиду того, что они либо производятся в небольшом количестве при помощи кратковременных специализированных процессов, либо являются побочными продуктами других производственных операций

Основы мониторинга предприятий цветной металлургии

Планы мониторинга составляются с учетом специфических особенностей конкретного предприятия цветной металлургии, в т.ч. участка, на котором он находится в целом. Однак. в планах мониторинга разработанные для отрасли должны быть предусмотрены:

- мониторинг прозрачности дымовых газов,
- мониторинг выбросов в атмосферу твердых частиц, дисперсии серы, фтористых соединений,
- мониторинг выбросов водорода, сероводорода, хлора, амиака, оксидов азота (если это требуется),
- непрерывный контроль параметров технологического процесса (на пример, температуры дымовых газов) для проверки исправности очистного оборудования,
- мониторинг качества воздуха в производственных помещениях, в зависимости от типа предприятия и характера производственного процесса,
- мониторинг качества атмосферного воздуха в окрестностях предприятия на содержание загрязняющих веществ,
- мониторинг качества воды ниже по течению реки на содержание растворенного кислорода, величину pH, содержание взвешенных веществ, цианида, свободного хлора и токсичных металлов,
- мониторинг сточных вод пред-~~приятия~~ на величину pH (непрерывный) на содержание взвешенных и растворенных веществ, в т.ч. ионов тяжелых металлов, фтористого водорода, бентонита, на содержание цианида, сернистого и азотистого аммония, серной кислоты, едкого нитрия, токсичных металлов, величину БПК5, содержание жирорастворимых минеральных масел.

- мониторинг ливневых сточных вод, сброс которых с территории предпринятия разрешен, на содержание вышеуказанных загрязняющих веществ,
- мониторинг зашумленности производственных помещений (на всех предприятиях отрасли),
- мониторинг штабелей твердых отходов, прудов-стокоприемников и обваловых участков хранения шламов на стоки ливневых вод, просачивание загрязненной воды в почву и образование фильтрата,
- проверка соблюдения правил безопасности и выполнения мероприятий по борьбе с загрязнением.

Предприятия горнодобывающей промышленности

Проекты в этой отрасли экологии относятся к добыче, транспортировке, переработке и обогащению минерального сырья и нерудных строительных материалов. В рамках проектов предусматриваются следующие мероприятия:

- добыча открытым и подземным способами энергетического и рудного минерального сырья, нерудного индустриального сырья, нерудных строительных материалов и минеральных удобрений,
- подземное выщелачивание и извлечение другими методами плавающихся и растворимых минералов (особенно серы и меди), дражная и гидравлическая разработка россыпей полезных ископаемых в реках и прибрежных водах, кучное выщелачивание минералов непосредственно у руслника (преимущественно Au и Cu).

Для добычи минерального сырья и транспортировки материалов в пределах территории горного отвода, а также на обогатительные фабрики и обратно, требуется парк большегрузных автомобилей и землеройного оборудования (скреперов, одновальевых и роторных плоскогубцев, ландышиков, бульдозеров); необходимы также конвейеры, трубопроводы, железнодорожные пути. Переработка твердых полезных ископаемых осуществляется на фабриках для обогащения и промывки углей, руд и нерудных строительных материалов, в концентраторах, аппаратах выщелачивания, в также в зависимости от стоимостных показателей процесса, на рафинировочных плавильных печах, расположенных на территории рабочих производств горных работ или за ее пределами. Для добычи и/или обогащения твердых полезных ископаемых сооружается индустриальный комплекс с тысячами работников, с собственной инфраструктурой, в составе которой – предприятия энергоснабжения,

твое снабжения и канализации, склады, посадочная площадка для самолетов и вертолетов, железная дорога (в некоторых — и порт), все вспомогательные предприятия коммунального обслуживания и социальной сферы.

Виды потенциального воздействия на окружающую среду

Любые горные работы сопровождаются нарушением поверхности и нижележащих пластов горных пород, выявления вспомогательные горизонты. Воздействие на окружающую среду в период проведения поисково-разведочных работ и подготовки месторождения к эксплуатации, как правило, длится недолго, и основными его видами являются:

- нарушение и повреждение земной поверхности в результате проходки подземных дорог, бурения скважин и проходки разведочных шурфов, подготовки территории горного отвода;
- образование взвешенной пыли в результате движения автотранспорта, производства буровых и землеройных работ, расчистки территории горного отвода от растительности.

Основы мониторинга предприятий горнодобывающей промышленности

При проведении горных работ открытым способом могут быть установлены стандарты и нормативы на следующие параметры (с проведением мониторинга):

- качество воздуха (содержание взвешенных твердых частиц газообразные выбросы дизельных двигателей при работе оборудования);
- понижение уровня подземных вод;
- вибрации грунта (при производстве взрывных работ);
- угол откоса и устойчивость бортов карьеров;
- объем поверхностного стока и качество воды (особенно мутность);
- дренаж в карьерах;
- удаление зараженного бытового осадка;
- определение и отдельное размещение минералогических материалов, встречаемых при разработке месторождения и не обладающих морской ценностью;
- обработка и удаление твердых отходов;
- уровень радиоактивности на участках производств работ и в границах горного отвода.
- Требования по части рекультивации и мониторинг этих мероприятий включают в себя:

- выявление и ликвидация вредных факторов (устранение избыточного засорения подстилки, уход за местами обитания грызунов).
 - контроль параметров гидролога земель (восполнение ямок, язвистых дыр).
 - изучение растительности (растительность тополя, изучение состава растений на прилегающей к земле) .
 - контроль качества грунтовых вод.
 - выявление риска на земельную гидробиологию

При прокладке горных работ подземным способом можно ограничиться кругом большинства первоначальных параметров, если в дальнейшем, например, гравиметрические горные породы обособлены в зонах трещин и склонов разного типа, вследствие чего неизвестности представляются в виде единичных величин со своим определенным смыслом.

При разработке рассказчиками стандарты и инструкции по исполнению обзоров должны в полной мере отражать требования бухгалтерского баланса, отличаться в выборах вложений в текущую стоимость имущества и иметь в своем составе обзоры с оценкой качества обесцененных активов, а также обзоры первоначальной и текущей рыночной стоимости и оценки для погашения и удаления поглощенной прибыли.

При подсчетах числа машинистов требовалось учесть, что машины парома были следующими: бывшие члены гарнизона и ветераны. Но из этого же требования вытекало следующее: необходимо было учесть, какими машинистами были эти члены. Для этого требовалась таблица, по которой можно было бы определить, какие машины были у каждого из них. Поэтому решили в ряде случаев предполагать, что машины, оставленные машинистами, и оставляемые машинистами, отличаются для машинистов, оставленных для других, кроме машинистов, которых оставил в своем распоряжении машинист, или ученый инженер, или председатель совета рабочих депутатов, или председатель комитета по промышленности, или председатель парома.

себя зрителя обнаженными, чтобы не вынуждать ее к неподобающим расположениям, привести ее в заблуждение о том, что она может быть счастлива в этом положении. Вместо этого я предлагаю показать ее в ее естественном состоянии, в то время как она занимается своим обычным делом. Это будет более естественным для зрителя и поднимет его интерес к ее ежедневной жизни. Я бы также рекомендовал использовать более яркие и контрастные цвета для создания более ярких и запоминающихся изображений. Фотографии должны быть ясными и четкими, чтобы зрителю было легко разобраться в них. Помимо этого, я бы предложил использовать более плавные переходы между кадрами, чтобы избежать резких перепадов. (Рекомендации: яркие портреты после приватных и южных фотографий (сюжетные рисунки съёмки с пейзажами))

При изучении влияния городских отвалов на окружающую среду необходимо проводить мониторинг выбросов загрязняющих веществ с городских отвалов, а также мониторинг почв в районах расположения природных отвалов.

Аналогичным образом проходит мониторинг городных отвалов предприятий угледобывающей промышленности.

При обогащении ряд требований по части мониторинга должны быть следующими:

качество воздуха на вынаде и дымовых трубах территории обогатительной фабрики и по окрестам ее; определение количества и качества образующихся отходов, определение характера твердых отходов и соблюдение правил их обработки и удаления.

СПИСОК ЛИТЕРАТУРЫ

- Руководство и программа эффективного мониторинга загрязнения окружающей среды /SAIC . д-р Дэш Сойеда и д-р Юлий Лискиц 1996 31 с
 - Зашитя атмосферы от промышленных загрязнений / Справочник в двух частях под ред. С. Кальверта и Г.М. Инглунда, ч. 2, перевод с англ. Под ред. д.т.н А.Г. Сугутини и д.т.н Е.Н. Твердюкова М: Металлургия, 1998

Министерство природных ресурсов и охраны окружающей среды РК
Каспий Мунай газ

Академия наук Республики Казахстан
Алматинский институт энергетики и связи

КЕЙБІР ОИДІРІС САЛАЛАРЫНЫҢ ЭКОЛОГИЯЛЫК МОЦИГОРИНІҢ НЕГІЗДЕРІ

Техн. фылымд. канд.	С.С. Омаров
Техн. фылымд. канд.	А.Н. Нысангалиев
	З.М. Түлемисова
	К.Б. Конькова
Техн. фылымд. докторы	Т.К. Акмельзанов
	А.Ш. Бейсембекова

*Мұнай әндіруші, мұнай жасаған, пының жасалған мұнайдың
жасаған тау-кен жасаған, мұнайдың жасаған тау-кен
жасаған мониторингіндең негіздері берілген.*

УДК 504.4.054.550.552.7

ЭКОЛОГИЧЕСКИЕ ПРОБЛЕМЫ ПРИРОДНО-ЭКОЛОГИЧЕСКОЙ ОБЛАСТИ МАНГИСТАУСКОЙ ОБЛАСТИ

Х. О. Баубеков

М. Е. Бектибасов

Доктор геол.-геогр. наук

В статье приведены данные о загрязнении почвы и гидроаэрофитом Мангистауской области. Основными источниками загрязнения почвы являются нефтегазовые месторождения. Отмечается также разнообразие геоморфологических форм рельефа. Установлено, что из исключительного загрязнения в Актау является лестничная атмосферу проникающей нефтью.

Мангистауская область расположена на юго-западе Республики Казахстан в пустынной зоне и включает полуостров Мангышлак, плац Устюрт, полуостров Бузачи, соры Мертвый Култук и Кайдак. С запада, с северо-запада и юго-запада она омывается водами Каспийского моря. На территории региона выделются четыре крупных геоморфологических района: горный Мангышлак, равнинный Мангышлак, низменная равнина Бузачи, плац Устюрт. Территория Мангистауской области по характеру биоклиматических условий относится к пустынной ландшафтной зоне с двумя почвенными подзонами - северной солянково-солинковой степенной пустыни с бурьими почвами и центральной эфемерово-солинковой пустыни с серо-бурыми почвами. Наблюдаются большие распространение солончаков, на юге - галыр, а в депрессиях - солончаки, соры. Обширные пространства заняты песками. Для всей территории характерна слабая развитая комплексность (80 % почвенно-растительного покрова). Геоморфологическое строение территории области обуславливает специфичность материнских почвообразующих пород и направленного врикционного почвообразовательного процесса. Для плаца Устюрт характерно залегание плотных сарматских известняково-ракушечниковых в прибрежной полосе. На крайнем юге - с глубины 0,2 - 0,5 м, в остальной территории - с 0,5 - 1,0 м.

Несмотря на удовлетворительного решения вопросов экологической безопасности при разработке месторождений нефти и газа в районах, прилегающих к Каспийскому морю, нерационального использования земель-

нога фонда, недостаточной его охраны от ветровой и водной эрозии, регион оказался существенно трансформированным и в настоящий момент не обеспечивает нормального функционирования экологических систем [1]. Антропогенное воздействие усугубляется природными факторами. Практически вся территория области относится по природно-климатическим условиям к крайне неблагоприятной зоне: повышенная солнечная радиация, дефляция, значительная головная амплитуда температур, малое количество осадков.

Территория Мангистауской области занимает заметное место по запасам минерально-сырьевых ресурсов РК. Здесь сосредоточено около 24% извлекаемых запасов нефти, около 8% природного газа, 0,7% - конденсата, 100% балансовых запасов редкоземельных элементов, 3,2% - урановых руд, 0,3% - фосфорита, 90,5% - пильного камня и значительные запасы других полезных нечелюстических ископаемых, в т.ч. подземных вод. На территории области разведаны большие запасы нефти, газа и конденсата. На пяти крупных месторождениях Озень, Жетыбай, Каламкас, Каражинбас и Северные Бузачи сосредоточено около 70% всех разведенных запасов нефти области. В области разведана 69 месторождений углеводородного сырья с извлекаемыми запасами промышленных категорий: нефти - 235 млн. т; газа - 164 млрд. м³, конденсата - 4,9 млн. т [2].

Основными источниками загрязнения Мангистауской области являются нефтегазовые месторождения: Каламкас, Озень, Каражандыбас, Жетыбай, Арабан, Дунга, Жетыбай, Каражинбас, в т.ч. промышленные предприятия и автотранспорт. Источники загрязнения подразделяются на организованные и неорганизованные. Организованные источники загрязнения - факелы, дымовые трубы печей и др. К неорганизованным источникам загрязнения относятся насосы, сифоны, различные не плотности в соединениях арматуры, буферные емкости, генераторы, выбросы [4]. По данным АО "Каражанбасмунай" на 01.01.97 г. площадь замусоренности около месторождения составила 17,8 га, количество выбаров с нефтью равно 71, количество нефти в них - 780 т.

Месторождения "Озень" и "Каражандыбас" расположены на полуострове Маныштаук в южной пустынной части, известной под названием Южно-Маныштауского прогиба. Добычу, сбор и подготовку нефти с месторождений осуществляет нефтедобывающее управление (НДУ) "Озенмунайгаз". Общая площадь месторождений - 28302 га. Добычу нефти и газа ведут 8 цехов. По-

данным АО "Олегимунайгаз" на 01.01.97 г. имелись 333 геометрических земельных участков с нефтью в объеме 143,063 т.

Мангышлакский атомно-энергетический комбинат на быстрых нейтронах функционировал с 1973 г., действие реактора было остановлено в апреле 1998 г. и сейчас он находится под действием программы ухода и осмотра в ожидании окончательного вывода из эксплуатации. Выбросы радионуклидов в атмосферу и сбросы в Каспийское море держатся стабильно на уровнях, значительно меньше установленных предельно допустимых выбросов и предельно допустимых сбросов. Твердые радиоактивные отходы (ТРО) и жидкие радиоактивные отходы складируются в специальных, построенных по проекту могильниках. Проектная мощность бункера для высокопакетивных ТРО 400 м^3 (1800 Кц), фактическая загруженность — на 85 %, проектная мощность траншей для низко- и среднепакетивных ТРО 11240 м^3 (2000 Кц), загруженность порядка 83 %. Проектная ёмкость могильника под "горячей камерой", предназначеннной для захоронения высокопакетивных отходов реакторного производства и отработавших свой срок импульсных источников ионизирующих излучений составляет 180 м^3 , загруженность 8 %.

Продолжают оставаться загрязненными радиоактивными источниками территории Северного Устюрга (места ядерных взрывов) — районы колодца Киндинты, Мулдаван, Актокты. Ядерные взрывы здесь были произведены в 1969–1970 гг. с целью создания водозаряженных. При интенсивной добыче нефти стимулируются процессы распределения и миграции естественных и техногенных радионуклидов в объектах окружающей среды на нефтепромыслах и прилегающих территориях, что характерно и для Мангистауской области [3].

Более 23% выбросов вредных веществ в Мангистаусской области производится автотранспортом. Наибольшее количество вредных химических веществ (ВХВ) выбрасывается автотранспортом г. Актау, Жапарлы, Форт-Шевченко и других населенных пунктов. Наблюдения за загрязнением атмосферного воздуха проводятся системой Катиодрометра только на территории г. Актау. Согласно данным Мангистаусского центра по гидрометеорологии и мониторингу окружающей среды, загрязнение города обусловлено выбросами предприятий по производству серной кислоты, минеральных удобрений, пластика, атомной энергетики и автотранспорта. Для г. Актау характерна высокая запыленность воздуха, обусловленная климатическими условиями региона. В 1995 г. средние концентрации пыли со-

стивион 4 ГДК, значение вита - 1,1 ГДК, аммиака - 1 ГДК, серы, оксида углерода, и серной кислоты не превышают допустимые. В последние годы эти показатели уменьшились в 10 раз. В отдельные годы при истыкании новых осадков и гидроизоляции грунтов концентрации пыли уменьшились до 3-5 ГДК в различные концентрации сида этого отмечалась в утренние часы при низкой температуре грунта.

Огарок, являющийся производством переработки (таблетки) известья на сернокислотном заводе (СКЗ) представляет собой горючую буро-цветную и имеет в своем составе:

Составление мышьяка - 0,1 %

Свинца - 0,1 - 0,18 %

Меди - 0,1 - 1,2 %

Цинка - 0,7 - 0,8 %

Железа - 47 - 55 %

В пересчете на Fe_2O_3 - 75-86 %

Серы - 0,5 - 1,5 %

Кремнезема - 18 - 24 %

1 класс опасности

1 класс опасности

2 класс опасности

3 класс опасности

1 класс опасности

3 класс опасности

3 класс опасности

3 класс опасности

1 класс опасности

1 класс опасности

Огаркохранилище № 1 на данный момент находится в ведении МП "НТУ" и 76 га земли в районе этого огаркохранилища рекультивированы и засыпаны слоем грунта. Огаркохранилище № 2, занимавшее общую площадь 1600 тыс. м², находится на данный момент в бесхозном состоянии. Никаких мероприятий по предотвращению выделения не производится. Часть огаркохранилища № 2 (58%) находится ранее под слоем воды, что уменьшало выделение огарка. Огаркохранилище было отформовано зембой, которая раньше периодически подсыпалась. Однако, на момент проверки вся вода в огаркохранилище испарилась, дно полностью высущено и лигнитный огарок беспрепятственно уносится даже при слабом ветре. Дамба не подсыпается. Сброс воды, осуществлявшийся ранее в значительной степени при гидравлическом способе удаления огарка, сейчас же не осуществляется огарка не производится. То незначительное количество воды, которое все же поступает на СКЗ, не касается даже огаркохранилищу № 1, в то время как на огаркохранилище № 2 вода не поступает уже в течение полутора-двух лет. Все это привело к тому, что огарок, частично находившийся под слоем ямы, на данный момент полностью открыт, а так как он представляет собой гидрофибрующую мелколистерную пыль, то легко уносится при сильном ветре и сильно загрязняет атмосферный воздух (в значительном количестве).

лении от самого ограждения илища, что видно по темно-буровому слою огарка на земле и растительности во всем западном от источника. Причем ветром он может разноситься на очень большие расстояния и производить вредное влияние во многие дистанции как самого города Актау, так и ближайших населенных пунктов, особенно с. Мангышлак, п. Бакыт, Водников и др. При длительном воздействии, жалоба (основные химическое известны содержащиеся в огарке) откладывается в легких и вызывает синерез-патогенность пневмоколониза. У работающих выявляется астма, вегетативный синдром с сосудистой листиной, нарушением функции печени, снижением желудочной секреции, макушитов, зритропения с высоким содержанием железа в эритроцитах. Необходимо в кратчайшие сроки начать лабораторные замеры уровня пыления ограждения илища на границе санитарно-защитной зоны и ускорить мероприятия по рекультивации ограждения илища.

Недалеко от г. Актау расположена бессточная впадина Кошкарат, которая с 1965 г. служит для размещения хвостовых отходов Химико-Фарно-металлургического комбината (ХГМЗ), Сернокислотного Завода (СКЗ), пепнищенных хвостовочно-бытовых стоков г. Актау (верхних микрорайонов) и является источником загрязнения природной среды. До 1994 г. в южной впадине производилось захоронение ТРО ХГМЗ. Общая площадь размещения отходов составляет 64,8 км², твердой фазы - 24,8 км², твердых отложений хвостовых отходов - 10,8 км². Самой серьезной проблемой является наличие угрозы пыления пляжей на территории Кошкарат, куда в течение 30 лет сбрасывались "хвосты" ХГМЗ и СКЗ, содержащие токсичные и радиоактивные компоненты. За 30 лет засыпавших там скопилось (на 1.01.97г) 45 млн. т. токсичных 52 млн т радиоактивных и 6,8 млн т нетоксичных отходов. В настоящее время, в связи со спадом производства уменьшился сброс воды в хвостохранилище, что привело к снижению уровня воды и обнажению "пляжей". На "пляжи" имеется доступ для животных, людей и даже техники, что приводит к разрушению пляжей корочки и возникновению реальной угрозы пыления пляжей и загрязнения атмосферы токсичными и радиоактивными отходами. Несмотря на чистоту воды, подаваемой в хвостохранилище для поддержания ее уровня, это недостаточно. Визуальное наблюдение создает впечатление, что размеры оголяющихся пляжей больше, чем 10 км², поэтому необходимо усилить подачу воды, и ускорить строительство рыбацкого хвостохранилища. Одновременно надо ускорить разработку проек-

том рекультивации хвостохранилища, так как до сих пор нет научно-обоснованного решения проблемы ее потери в атмосферу газами отходов

Кроме неочищенных хозяйственными – бытовых стоков с водами микрорайонов г. Актау в хвостохранилище ХПМЗ дополнительна обрабатываются аналогичные сточные воды ~~участка~~ ГМ 172/6 (исправительная система), где содержатся болезни туберкулезом. Руководству учреждения ГМ 172/6 специалистами Мангистауского управления ~~природы~~ окружного ~~природы~~ управления очистных установок для ~~уборки~~ очистки сточных вод, но из-за отсутствия финансовых средств очистные сооружения не были построены.

Были «тобыты» пробы грунта на пляже хвостохранилища. На поверхности пляжа залегла земля Корочка, состоящая в ~~составе~~ ~~из~~ ~~этих~~ ~~точных~~ и неоспоримых данных о загрязнении атмосферы отходами с хвостохранилища Кошкарат. Пока нет. Но угроза возникновения такой ситуации в случае непринятия кардинальных и решительных мер может возникнуть в любое время. Озеро Кошкарат на хвостохранилище расположено в 5 км севернее г. Актау и в 10 км от Каспийского моря. Существует вероятность того, что с лигнитными стоками радиоактивные отходы из Кошкарата могут попадать в море. Необходимо решить вопрос о возобновлении подачи нормативно-чистой морской воды в хвостохранилище для поддержания уровня жидкой фазы и начать комплексное научное исследование влияния хвостохранилища на экологическую обстановку г. Актау и области [5]. Прекращен мониторинг за загрязнением подземных вод в районе хвостохранилища ХПМЗ, который необходимо возобновить.

СПИСОК ЛИТЕРАТУРЫ

1. Бельгебаев М.Е., Файзов К.И. Современный антропогенез и проблемы экологии почв Казахстана // Гидрометеорология и экология. – 1996 - №1 – С. 154-165.
2. Комплексная геологическая программа Мангистауской области. Алматы -Актау - 1998 – 106 с.
3. Полаков В.А., Ежова М.П., Ткаченко А.Е. Комплексный подход к изучению радиоэкологической обстановки на территории нефтепромыслов // Геоэкологические исследования и охрана недр. Инф. Сбор. - М.: Изд. "ГеоИнформирс". Вып.1. – 2001. – С. 26 – 36.

- Фантик К.Ш., Аевибек И.К. О нефтехимическом загрязнении почв и их экологических последствиях // Гидрометеорология и экология. - 1996. - №4. - С. 183 - 193.
- Экологическая политика Казахстана в Прикаспийском регионе // Изв. Узмугт. библ. РК Алматы, 1996. З. кв. - С. 73 - 83

Казахский государственный национальный университет им. Аль-Фараби

МАЛГЫСТАУ ОБЛАСЫНЫҢ КЕЙКІР ЭКОЛОГИЯЛЫҚ ПРОБЛЕМАЛАРЫ

Х.О. Баубеков

Географыялық докторы М. Е. Бетыбеков

Маңарада Малгыстау обласының өлшемдерімен жаңғақтастырылған мәдени ағылшының әкімшіліктері көйтірілген Негізгі жағтау міндеттері болып табылады. Соғысстік Үстірт төрріктершіліктерінің радиопеленгі ласстануы түралы айтылады. Логтаудың бірделегір көзі Ақтау қаласындагы Кошқарата калдашқа сақлау орны болып табылады. Оз-жекын төрріктердеги атмосфера ластаудылығы

УДК 627.235

БОРЬБА С ЗАТОПЛЕНИЕМ ПРИБРЕЖНОЙ ТЕРРИТОРИИ ОТ НАГОННОЙ ВОЛНЫ

Канд. техн. наук

С.М. Кофаков

Т.Т. Утегалиев

В статье изложены некоторые особенности климата и физической структуры побережья северо-восточной части Каспийского моря. Описаны конструкции дамблолама с U-образными элементами и три береговых водогоды отливов и нагонов из местных материалов.

При освоении и разработке богатейших месторождений нефти, позиционные работы по добыче и транспортировке которой начинаются в 2005 году, необходима учета физико-географические и климатические особенности северо-восточной части Каспийского моря Казахстанского побережья. Северный Каспий занимает 24,1% площади моря, что составляет всего 0,9% его объема. Глубина моря здесь не превышает 4-10 м. Рельеф дна - слабоволнистая, аккумулятивная равнина, с серией банок и островов. Донные осадки в основном алевролиты, пески, ил, крупные баники, состоящие из скоплений бычьих и целых ракушек. Наносы рек Волга и Урал образуют множество стмелей и банок, которые при общем мелководье этого района являются опасными для плавания морских судов. Между дельтой реки Урал и Бузачинским полуостровом имеется неглубокая (8 м) обширная впадина, называемая Уральской барениной [1].

Берега Северного Каспия низкие и пологие, извилистые, аккумулятивные, легко затапливаемые. Они имеют очень малые ($0,001 - 0,0001$) уклоны и простираются на значительные расстояния. Азубь суши. При господствовании сильного ветра со стороны моря образуются нагонные, в со стороны суши стоячие волны. Здесь, в среднем, в месяц отмечается 3-4 нагона и 4-5 стоячих, поэтому 80-85% времени года, линия уреза воды неустойчива и постоянно мигрирует [3]. При средних ветровых условиях размах этой миграции составляет 1-5 км, в экстремальных – при стоянке величина осушки может достигать 8-12 км, величина затопления суши – до 25-50 км [4]. В результате повышения уровня моря происходит затопление длительности, глубины нагонов и

и интенсивности течений, меняется гидрохимический режим участков рек и мелководий, растет загрязнение тяжелыми металлами, нефтепродуктами, пестицидами, другими вредными и опасными веществами и их соединениями, поступающими в море в различных стоках, в т.ч. вымывавшимися из грунта затопляемых территорий. Развиваются берега с расположенными на них строениями, теряются затапливаемые и подтопляемые сельскохозяйственные угодья, что приводит к ухудшению природных и социально-экономических условий прилегающих территорий, ухудшению медико-экологической обстановки, другим чрезвычайным положениям.

Повышение уровня воды при наводнениях для районов побережья, высотные отметки которого незначительно превышают отметку среднего уровня моря, представляет иногда катастрофическое бедствие. Особенно это относится к северо-восточной мелководной, заливообразной части Каспийского моря с очень пологими берегами, где отмечаются наибольшие в этом море величины наводнений. За последние 10 лет на казахстанском побережье отмечаются самые катастрофические наводнения (1987, 1989, 1990, 1991, 1993, 1996) [5]. Убытки от затопления побережья наводнениями исчисляются десятками миллионов долларов.

В комплексе мероприятий по защите морских платформ, нефтяных вышек, вилатрий портов, пирожней и береговых участков от воздействия ветровых волн применение волноломов и волногасителей является необходимым условием надежной работы всей системы защитных сооружений. Ныне существующие типы волноломов и береговых волногасителей [2] очень материалы, конструктивно сложны, громоздки и их применение для протяженных участков мелководья просто экономически невыгодно.

Для таких условий нами разработан волнолом с V - образными элементами, волногасители из типовых элементов из местных строительных материалов. Волнолом (рис. 1) выполняется из звеньев, которое представляет собой трос (3) прикрепленный с двух концов на якори-тумбы (2). Трос наизнанку основные типовые V - образные элементы (1) в притык друг к другу.

Особенностью V-образного ~~законца~~ является выполнение его таким образом, что к основанию, отрезку трубы длиной равной двум диаметрам звена ~~законца~~ привариваются два воздухонепроницаемых рожка, раздвинутых под углом α , при $\alpha = 30^\circ$ (рис. 1б).

Тогда, в зоне одна половина ~~законца~~ располагается вправо от вертикали, а

другая влево. Длина рожка $L = (H + 0.5h)/\alpha h$, где H - стартовая волна, h - высота расчетной волны. Кинематическая схема работы волнолома представлена на рис. 1б. При безветренной погоде волны направляются ветровой волны, волны вправо, проходя через леворасположенные рожки, расходятся за счет действия малых струй, которые, в свою очередь, действуют на пути праворасположенных рожков, находящихся на них и выталкивают вонь волнистые волны. При этом волны вторично расходятся вправо струйки, т.е. происходит интенсивное перенаправление волн из потока, на что затрачивается значительная часть избыточной энергии волны.

а V-образный элемент План 1

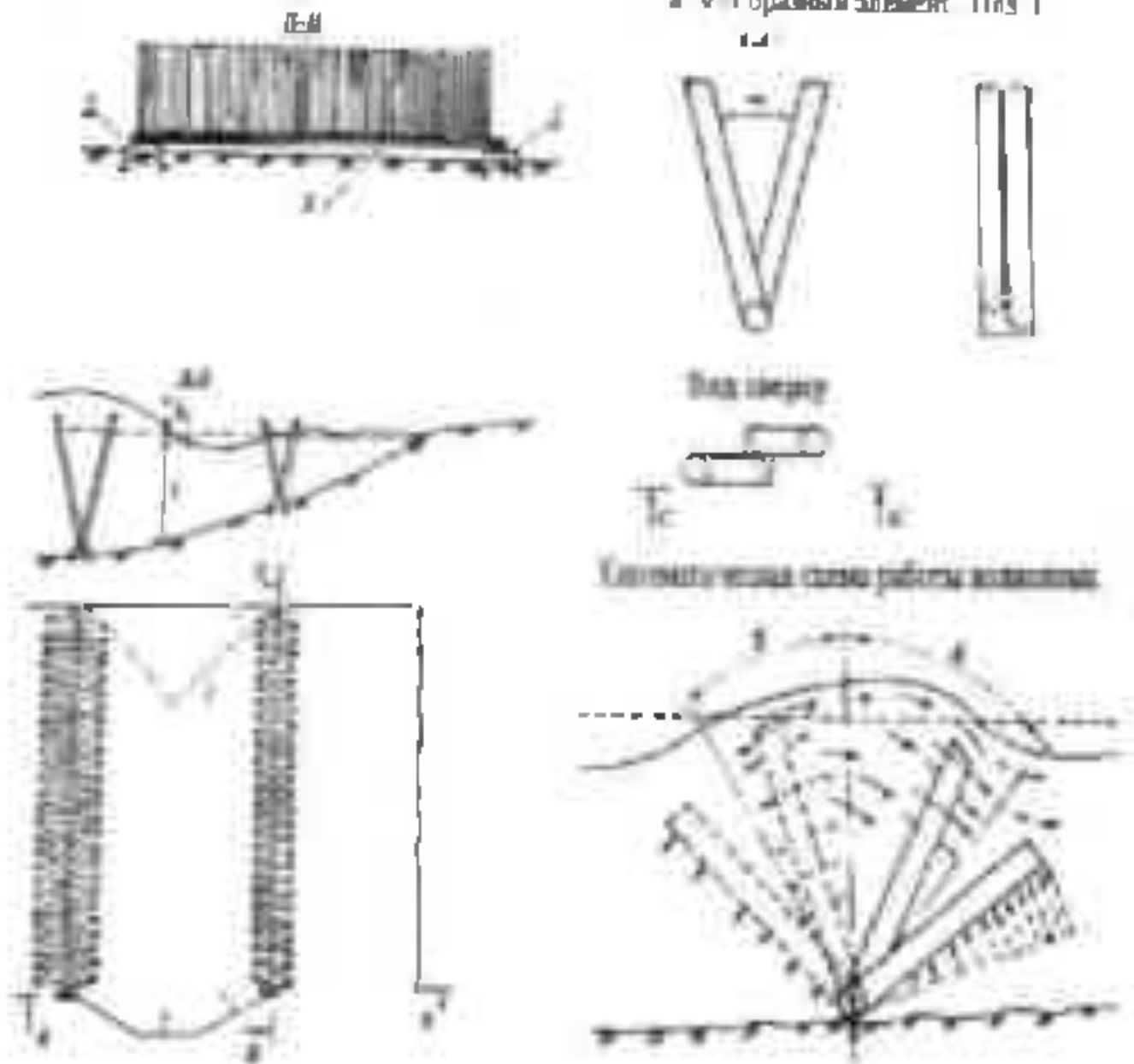


Рис. 1. Волнолам с V-образными элементами

Поворот вправо происходит до тех пор, пока активное давление волны не выравнивается с пассивным гидростатическим давлением.

стороне системы элементов. В этот момент наступает приливное низ волны и оси волнолома, когда сила отпора станет больше силы центробежного уединения. С этого момента до подхода следующей волны весь волнолом поворачивается в противоположную сторону. Таким образом волнолом работает с двойным эффектом: а) расщепление влияния потока на множество мелких струй, их интенсивное перемешивание и б) качение волнолома вокруг центра основания вправо и влево, т.е. эффект обратного маятника качения.

Береговой волногаситель из типовых элементов (рис.2), представляющих собой систему множества упругих стальных вертикальных прутьев в пластмассовой оболочке, лежатых в железобетонное основание, которые собираются в ряды и устанавливаются вдоль берега. Излияние избыточной энергии волны и ее успокоение происходит за счет разделения единого потока волны на множество мелких струй и интенсивного перемешивания его.

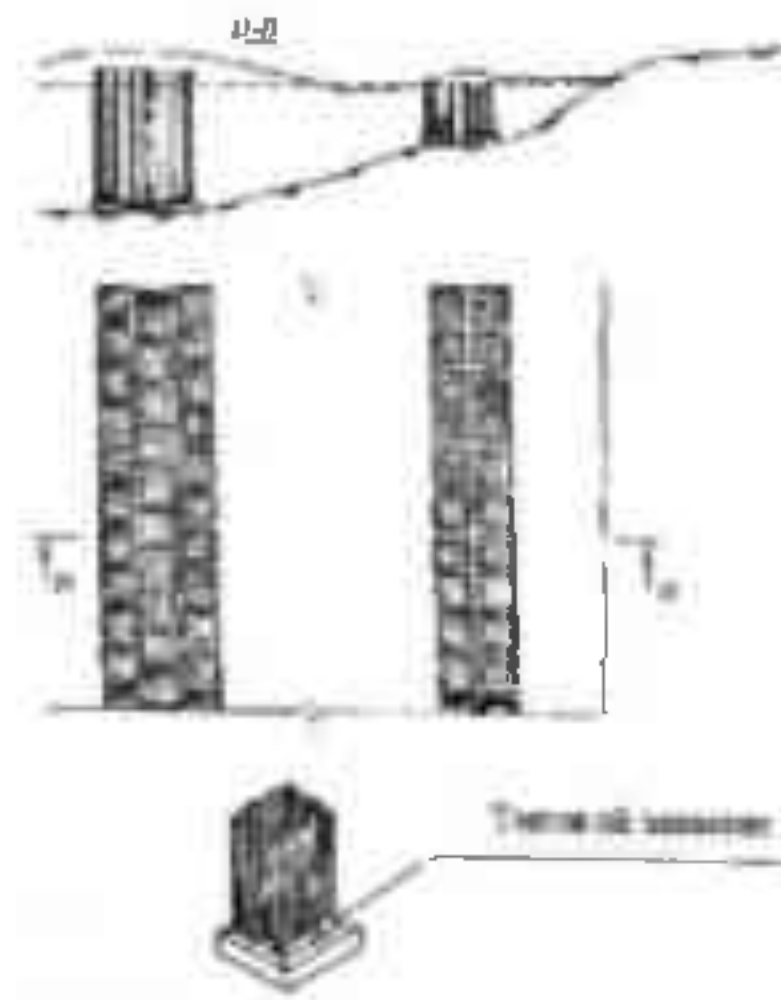


Рис. 2. Волногаситель из типовых элементов

Волногаситель, показанный на рис.3, собирается из бывших в ~~использовании~~ стеклянных автомобилей, скрепленных между собой скобами.

стягиваемый болтами на пластины в вертикальную раму, которая упирается на сваи, забитые в дно на определенном расстоянии друг от друга. Он работает точно также как и вышеописанный береговой волногаситель.

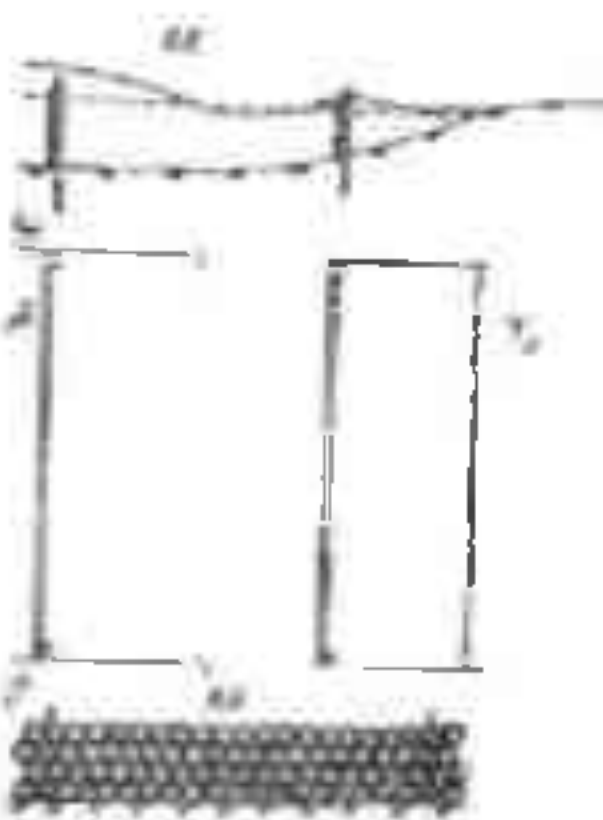


Рис. 3. Волногаситель из местных материалов

Все конструкции волноломов и волногасителей предназначены для мелководных участков моря и, из-за простоты их устройства, возможностях изготовления на месте установки из местных материалов, может найти широкое применение в инженерной практике, при освоении новых месторождений нефти на северо-восточном побережье Каспия.

СПИСОК ЛИТЕРАТУРЫ

1. Амангалиев К.Н. Каспийское море. Алматы: «Казах. университет», 1990 - с. 13.
2. Джунаковский Н.М. и др. Порты и портовые сооружения, часть II, М.: Стройиздат, 1969 - С. 134 – 144, 375 - 383
3. Иакина Н.И. Ветровые нагроны морской воды: их моделирование и влияние на окружающую среду Северо-Восточного Каспия // Автореф. дис.... канд. геогр. наук. Алматы, 1998 - 25 с.
4. Иакина Н.И. Природоохранная стратегия в зоне воздействия нагроинных вод Каспия. // Материалы международной научно-

- практической конференции "Проблемы гидрометеорологии и экологии" – Алматы, КазгосИНТИ. – 2001. - С. 286 - 289.
5. Киреев М.А. Решение гидрометеорологических проблем в рамках Каспийской экологической программы. // Материалы международной научно-практической конференции "Проблемы гидрометеорологии и экологии" – Алматы, КазгосИНТИ. – 2001. - С. 114-115.

Тарзский государственный университет им. М.Х.Дулати

ЖАҒАЛАУ АУМАҒЫНЫҢ КӨТЕРІГЕН ТОЛҚЫНЫМЕН СҮБАССУЫМЕН КҮРЕСҮ

Техн. наука канд. С.М. Койбаков
Т.Т. Утегалиев

Мақалада Каспий теңізіндегі солтүстік шығыс белгілі жағалоның көмілты мени физикалық куралынаның кейір ерекшеліктері бейнеленіл. Ү-турді элементтері бар тоғызын сандырымыш және тылтес элементтер мен жағалоның куралыг материалдарынан жасалған жағалау бойындағы пішіндердің әсерлілігін көрсетілген.

УВАЖАЕМЫЕ КОЛЛЕГИ!

Редакционная коллегия журнала "ГИДРОМЕТЕОРОЛОГИЯ И ЭКОЛОГИЯ" (регистрационное свидетельство № 1538) приглашает Вас к сотрудничеству. Журнал ~~выходит~~ 4 раза в год. Мы рады сообщить Вам, что по решению ВАК РК статьи, опубликованные в нашем журнале, принимаются при защите докторских и кандидатских диссертаций. Статьи должны соответствовать гидрометеорологическому и экологическому профилю.

ТЕХНИЧЕСКИЕ ТРЕБОВАНИЯ К РУКОПИСИ, СЛАВАЕМОЙ В РЕДАКЦИЮ ЖУРНАЛА "ГИДРОМЕТЕОРОЛОГИЯ И ЭКОЛОГИЯ"

В комплект рукописи, присыпаемой автором, должны входить: основной текст статьи, не превышающий 12,5 страниц текста, включая таблицы, рисунки и список литературы (формат указан ниже), аннотация на русском и казахском языках, не более 10 строк, дающая ясное представление о содержании статьи; на английском языке дается название статьи, Ф.И.О. авторов; список литературы в алфавитном порядке авторов на русском далее на иностранном языке (составляется согласно ГОСТу 7.1-84). Число рисунков не более трех на одну статью. Перед заголовком статьи следует указать расширенный индекс по Универсальной десятичной классификации (УДК). Помимо машинописного варианта статьи обязательно предоставляется ее дубликат, записанный на диске.

Оформление рукописи:

Весь текст рукописи, включая таблицы, отпечатывается на ПК на одной стороне стандартного листа плотной бумаги белого цвета, интервал - 1,2. Параметры поля страницы: верхнее 20 мм, нижнее 75 мм, левое 75 мм, правое 10 мм. Красная строка 12,5 мм, режим набора Microsoft Word, шрифт Times New Roman (стиль нормальный), размер шрифта 11. Заголовок статьи из прописных букв, шрифт полужирный.

Реферат помещается перед основным текстом статьи, после заголовка и списка авторов (представленного в столбик с указанием ученой степени), набирается курсивом, отступы по 5 мм слева и справа.

См. примеры

УДК 551.461.25 (465.75)

О ВЛИЯНИИ АНТРОПОГЕННЫХ ИЗМЕНЕНИЙ КЛИМАТА
НА УРОВЕНЬ КАСПИЙСКОГО МОРЯ

Канд. геогр. наук В.В. Голубцов
 Канд. техн. наук В.И. Ли
 Канд. геогр. наук В.Л. Попова

Рисунки готовятся с соблюдением ГОСТа в режиме Paint (Paintbrush), графики, диаграммы, гистограммы - в режиме Microsoft Excel, и вставляются в текст. Подпись рисунка помещается под ним и набирается курсивом (см. пример). Целые цифры от дробной части числа отделяются не точкой, а запятой. Расшифровка обозначений в строку после подписи. На поле рисунка надписи не допускаются, кроме индексов или цифр обозначений. Размер цифр и букв на рисунке такой же, как и в тексте, индексов - не меньше 1,5 мм.

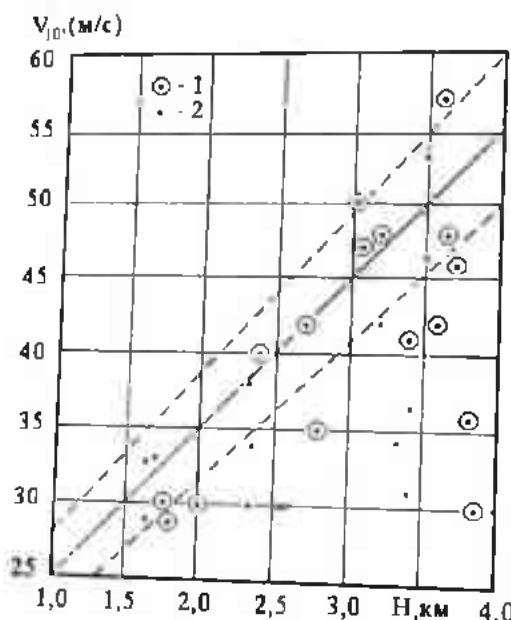


Рис.2. График высотной зависимости максимальных скоростей ветра, вероятных 1 раз в 10 лет для передовых хребтов Тянь-Шаня с высотами гребневой линии 3-4 км:

1 – основной экспедиционный пункт, радиорелейная станция, автоматическая радиометеорологическая станция; 2 – пункты микросъемки

Таблицы оформляются без дополнительной разграфки поля таблицы, разграфляется только "шапка" и внешний контур таблицы. Номер таблицы и смысловое название - над таблицей, примечание - под

ней (с соблюдением ГОСТа) (см. пример).

Таблица 1

Матрица коэффициентов парной корреляции

	x	I_{ci}	λ	φ	AII
x	1	- 0,62	0,50	- 0,48	- 0,48
I_{ct}		1	- 0,27	0,24	0,32
ΔH					1

Примечание. Все показатели нормированы.

Единицы физических величин приводятся в Международной системе СИ (ГОСТ 8.417-81), либо дается перевод приведенных единиц в систему СИ.

Названия организаций, учреждений, географические названия и т.п. даются в последней редакции. К историческим названиям в скобках приводятся современные.

Математические, химические обозначения и формулы

набирать в режиме Microsoft Equation. В формулах в качестве символов следует применять обозначения, установленные ГОСТом. Номера формул указываются у правого края страницы в круглых скобках. Ссылки в тексте на порядковый номер формулы также дают в круглых скобках. Рекомендуется перевод формул на односторонний набор, если это не затруднит их восприятие читателем (см. пример).

$$\Delta z = W / \omega(z) + W_k / \omega(z) + P - W_{\kappa_{62}} / \omega(z) - E. \quad (1)$$

В тексте обязательно приводится расшифровка всех параметров и аббревиатур. Все сокращения выполняются в соответствии с ГОСТом и словарем сокращений.

РУКОПИСИ, ОФОРМЛЕННЫЕ НЕ В СООТВЕТСТВИИ С ТЕХНИЧЕСКИМИ ТРЕБОВАНИЯМИ К ПУБЛИКАЦИИ НЕ ПРИНИМАЮТСЯ И АВТОРАМ НЕ ВОЗВРАЩАЮТСЯ.

На отдельном листе в редакцию высыпаются сведения об авторе (авторах) с указанием фамилии, имени, отчества (полностью), домашнего и служебного адресов и телефонов, точного названия учреждения, в котором была выполнена работа, ученой степени и ученого звания автора.

Редакция сохраняет за собой право отклонять рукописи и делать необходимые редакционные исправления, дополнения и сокращения в принятых рукописях. Статья может быть возвращена автору на доработку. В отдельных случаях по просьбе редакции предоставляются рецензии на статью.